



ใบรับรองวิทยานิพนธ์

บัณฑิตวิทยาลัย สถาบันเทคโนโลยีพระจอมเกล้าพระนครเหนือ

เรื่อง การวิเคราะห์ความผิดพร่องในระบบไฟฟ้ากำลังแบบไม่สมมาตร โดยใช้โปรแกรม
ภาษาฟอร์มัลเรน 77
โดย นายเจตพล อังกิตานนท์

ได้รับอนุมัติให้นับเป็นส่วนหนึ่งของการศึกษาตามหลักสูตร
วิศวกรรมศาสตรมหาบัณฑิต สาขาวิชาวิศวกรรมไฟฟ้า

คณบดีบัณฑิตวิทยาลัย

(อาจารย์ ดร.มงคล วงศิริย์วงศ์)

21 พฤษภาคม 2550

คณะกรรมการสอบวิทยานิพนธ์

ประธานกรรมการ

(อาจารย์ ดร.ชิรธรรม บุณยะกุล)

กรรมการ

(อาจารย์ ดร. chanaphat Suttharam)

กรรมการ

(อาจารย์ ดร.เชิดชัย ประภานวรัตน์)

การวิเคราะห์ความพิเศษร่องในระบบไฟฟ้ากำลังเบนไม่สมมาตรโดยใช้
โปรแกรมภาษาฟอร์เรน77

นาขเจตพล อังกิตานนท์

วิทยานิพนธ์นี้เป็นส่วนหนึ่งของการศึกษาตามหลักสูตร
วิศวกรรมศาสตรมหาบัณฑิต
สาขาวิชาวิศวกรรมไฟฟ้า ภาควิชาวิศวกรรมไฟฟ้า
บัณฑิตวิทยาลัย สถาบันเทคโนโลยีพระจอมเกล้าพระนครเหนือ
ปีการศึกษา 2549
ผู้ดูแลที่ขอสงวนสิทธิ์ของสถาบันเทคโนโลยีพระจอมเกล้าพระนครเหนือ

ชื่อ : นายเจตพล อังกิตานนท์
ชื่อวิทยานิพนธ์ : การวิเคราะห์ความผิดพร่องในระบบไฟฟ้ากำลังแบบไม่สมมาตร
โดยใช้โปรแกรมภาษาฟอร์แทรน 77
สาขาวิชา : วิศวกรรมไฟฟ้า
สถานบันทึกโน้โลห์ประจำมูลค่าฯ พระนครเหนือ
ที่ปรึกษาวิทยานิพนธ์ : อาจารย์ ดร.ธีรธรรม บุณยะกุล
ปีการศึกษา : 2549

บทคัดย่อ

การเกิดความผิดพร่องในระบบไฟฟ้ากำลัง ส่งผลทำให้ระบบไฟฟ้า อุปกรณ์ในระบบ และสร้างความเสียหายแก่ผู้ใช้ไฟฟ้าในบริเวณที่เกิดความผิดพร่องนั้น ซึ่งประเภทของการเกิดความผิดพร่อง โดยส่วนใหญ่ความผิดพร่องชนิดข้น (Shunt Fault) จะมีค่ากระแสแลดูดังจรมากกว่าความผิดพร่องชนิดอนุกรม (Series Fault) และเกิดขึ้นบ่อยครั้งในระบบไฟฟ้ากำลัง ดังนั้นงานวิจัยนี้ จึงสนใจการวิเคราะห์ความผิดพร่องด้วยโปรแกรมภาษาฟอร์แทรน 77 โปรแกรมนี้เป็นโปรแกรมที่ เปิดเผยแพร่ (Open Source) โดยไม่มีค่าใช้จ่ายในการหาค่ากระแสแลดูดังและแรงดันไฟฟ้าที่บัส ในขณะเกิดความผิดพร่องที่บัสใดบสหนึ่ง ใช้วิธีการสร้างส่วนประกอบล้ำดันบวก ล้ำดันลบ และล้ำดันศูนย์ จากข้อมูลของพารามิเตอร์ให้เป็นอินพุตແคนซ์เมตริกซ์ (Z-Bus Matrix) ของระบบ โดยผู้ใช้งาน (User) เลือกบัสที่เกิดความผิดพร่อง เลือกชนิดของความผิดพร่อง และเลือกคุณลักษณะของค่าขนาดกระแสแลดูดังแบบไม่สมมาตรในช่วงทรายเชิงต์ ช่วงสภาวะอยู่ตัว และการเปลี่ยนแปลงแรงดันไฟฟ้าที่บัสต่างๆ ในระบบ เพื่อสามารถทราบถึงขนาดของกระแสแลดูดังในแต่ละบัสที่จะให้เกิดความเสียหายกับระบบไฟฟ้าที่จะทดสอบ และสามารถออกแบบการป้องกันระบบไฟฟ้าจากความผิดพร่องจากโปรแกรมนี้ได้ โดยทำการทดสอบกับระบบทดสอบของมาตรฐาน IEEE 14 บัส IEEE 30 บัส IEEE 57 บัส และ IEEE118 บัส เปรียบเทียบกับโปรแกรมสำเร็จรูป Power World และ PSCAD ที่เป็นโปรแกรมเชิงพาณิชย์ (Commercial)

(วิทยานิพนธ์มีจำนวนทั้งสิ้น 127 หน้า)

คำสำคัญ : กระแสแลดูดังแบบไม่สมมาตร, ทรายเชิงต์, สภาวะอยู่ตัว

อาจารย์ที่ปรึกษาวิทยานิพนธ์

Name : Mr. Jadtapol Angkitanon
Thesis Title : Analysis of Asymmetrical Fault in Power System Using FORTRAN 77
Major Field : Electrical Engineering
King Mongkut's Institute of Technology North Bangkok
Thesis Advisor : Dr. Teratam Bunyagul
Academic Year : 2006

Abstract

The fault in the electrical power system effects to the electrical system, the electrical equipment, and the user in the area of that fault. There are many different types of faults happening in the electrical systems, which depend on the cause of the fault or the types of the fault. Most of them are the Shunt Fault that would have more short circuit current than Series Faults and they happen more frequently in the electrical power system.

Therefore, this research will present the analyzing the electrical faults by using an open source "FORTRAN 77" to calculate the short circuit current and voltage bus while the fault is happening on a bus by using positive, negative and zero sequence. The parameters using to analyze the electrical faults are collected from the distribution bus parameters, data bus parameters and generator transformer parameters, then convert them to Z-Bus Matrix of the system. The user can select the faulty bus, type of the fault, the calculation result of short circuit current at transient or steady-state to be displayed, and also the voltage change on each bus in the system. The user can identify the short circuit current on each bus which effecting to the electrical system, and can design the proper electrical protection system by using this program. This program has been tested with the universal standard IEEE14, IEEE30 BUS, IEEE57 BUS and IEEE118 BUS, and compared the result with the Commercial Software (Power World and PSCAD).

(Total 127 pages)

Keywords : Asymmetrical Fault Current, Transient, Steady-State

 Advisor

กิตติกรรมประกาศ

วิทยานิพนธ์เล่มนี้จะสำเร็จสมบูรณ์ออกมาเป็นรูปเล่น ไม่ได้ หากขาดอาจารย์ที่ปรึกษา
วิทยานิพนธ์นี้อย่าง อาจารย์ ดร. ชีรธรรม บุณยะกุล อาจารย์ที่มีส่วนช่วยในการแนะนำแนวทางการ
วิจัย การค้นคว้าศึกษา ประกอบกับความตั้งใจที่ต้องการเห็นศิษย์ทุกคนประสบความสำเร็จ และให้
กำลังใจแก่ศิษย์ทุกครั้งไป

บุคคลในครอบครัวของข้าพเจ้าทุกคนที่มีพระคุณอย่างสูงในชีวิตของข้าพเจ้า ท่านได้ดูแล
ข้าพเจ้ามากตลอดและให้กำลังใจในทุกคราวไป

ในคราวที่ต้องออกงานใช้ชีวิตอยู่ในกรุงเทพฯ ข้าพเจ้าอยากร่านขอบพระคุณพระกรุปัลด
อนันต์ อภิญญา โภุ (หลวงปู่อนันต์) และหลวงพ่์มหា឴ิเชียร แห่งวัดตะพาน(คินแวง) ซึ่งพระท่านได้
ให้ที่พักอาศัยอาหารและทุกอย่าง ทำให้ข้าพเจ้าสามารถใช้ชีวิตอยู่ในกรุงเทพฯ และปฏิบัติดุณสาม
พุทธศาสนาได้อย่างดี

ข้าพเจ้าขอขอบคุณ คณาจารย์ทุกท่านที่ท่านได้ให้ความรู้ ประสิทธิ์ประสานวิชาการ ในทุกด
ด้าน ให้ข้าพเจ้าได้เล่าเรียน ฝึกฝนมาในทางตรงและทางอ้อมนั้น ทำให้ข้าพเจ้าเป็นคนที่ได้นำความรู้
ค่างามพัฒนาตนเอง เปรียบเสมือนผู้ชี้ทางที่ถูก ที่ควรให้ข้าพเจ้าเดินก้าวต่อไป

ข้าพเจ้าขอขอบคุณบริษัท ชีเม็นส์ ประเทศไทย จำกัด โดยเฉพาะผู้จัดการแผนกของข้าพเจ้า
และที่ น้องที่ร่วมงานด้วยกันทุกคน ที่ช่วยให้งานประจำที่ข้าพเจ้าทำอยู่ด้วยมีประสิทธิภาพ และ
คุณภาพ ตลอดจนความมั่น้ำใจของทุกคน

เหล่าเพื่อนพ้อง รุ่นพี่ รุ่นน้อง ที่ได้ศึกษาในสถาบันเทคโนโลยีพระจอมเกล้าพระนครเหนือ
เป็นส่วนสำคัญที่ขาดไม่ได้ เพราะพวกท่านได้ให้คำปรึกษาในส่วนการศึกษาและการดำเนินงานวิจัย
นี้ ให้กำลังใจ ร่วมทุกช่วงสุขคลอเคล้าที่ได้ศึกษาที่สถาบันแห่งนี้

สุดท้าย ข้าพเจ้าขอขอบคุณบัณฑิตวิทยาลัย สถาบันเทคโนโลยีพระจอมเกล้าพระนครเหนือ
เป็นอย่างยิ่งที่ได้ให้ทุนอุดหนุนงานวิจัยของข้าพเจ้านี้จนสำเร็จลุล่วงไปได้ด้วยดี

หากขาดตกบกพร่อง ไม่ได้ก่อถ่วงของคุณท่านใด ข้าพเจ้าต้องขออภัยไว้ ณ ที่นี้ด้วย

เจศพล อังกิตานนท์

สารบัญ

	หน้า
บทคัดย่อภาษาไทย	๑
บทคัดย่อภาษาอังกฤษ	๒
กิตติกรรมประกาศ	๓
สารบัญตาราง	๔
สารบัญภาพ	๘
คำอธิบายสัญลักษณ์และคำย่อ	๙
บทที่ 1 บทนำ	๑
1.1 ความผิดพลาดในระบบไฟฟ้ากำลังที่อะไร	๑
1.2 ประโยชน์ของการศึกษาความผิดพลาดในระบบไฟฟ้ากำลัง	๑
1.3 สาเหตุของการเกิดความผิดพลาดในระบบไฟฟ้ากำลัง	๒
1.4 คุณลักษณะพื้นฐานของกระแสสลัตวงจร	๔
1.5 วิัฒนาการของโปรแกรมการวิเคราะห์ความผิดพลาดของระบบไฟฟ้ากำลัง	๖
1.6 ภาษาฟอร์แทรน 77 (FORTRAN 77)	๗
1.7 จุดประสงค์ของงานวิจัยนี้	๙
1.8 โครงสร้างงานวิจัย	๙
บทที่ 2 ทฤษฎีเกี่ยวกับการวิเคราะห์ความผิดพลาดในระบบไฟฟ้ากำลัง	๑๓
2.1 ส่วนนำเนื้อหา	๑๓
2.2 แหล่งกำเนิดกระแสสลัตวงจร	๑๓
2.3 รีแอกเคนซ์ของเครื่องจักรกลไฟฟ้าชนิดหมุน	๑๔
2.4 กระแสสลัตวงจรสมมาตรและไม่สมมาตร	๑๕
2.5 การเกิดกระแสสลัตวงจรแบบไม่สมมาตรในระบบไฟฟ้ากำลัง	๑๗
2.6 ส่วนประกอบกระแสตรงของกระแสสลัตวงจรไม่สมมาตร	๑๘
2.7 สภาพการทำงานเชิงตัวของเครื่องกำเนิดไฟฟ้าขณะเกิดฟอลต์ ๓ เฟส	๒๑
2.8 แรงดันภายในของเครื่องจักรกลไฟฟ้าที่มีโหลดภายนอกได้เงื่อนไขสภาวะ ทราบเชิงนิพัทธ์	๒๔
2.9 การคำนวณกระแสฟอลต์ด้วยบัสอินพีเดนซ์เมตริกซ์	๒๘
2.10 ส่วนประกอบสมมาตร	๓๑
2.11 ส่วนประกอบสมมาตรของเฟสชอร์ท์ไม่สมมาตร	๓๒

สารบัญ (ต่อ)

	หน้า
2.12 ลำดับของวงจรไฟฟ้าของเครื่องกำนันตไฟฟ้าที่ไม่มีโหลด	34
2.13 การวิเคราะห์ความผิดพร่องของระบบไฟฟ้ากำลัง	36
2.14 ส่วนสรุปเนื้อหา	39
บทที่ 3 อัลกอริทึมการวิเคราะห์ความผิดพร่องในระบบไฟฟ้ากำลัง	41
3.1 พังก์ชั่นอิมพีเดนซ์เมทริกซ์	41
3.2 พังก์ชั่นคำนวณกระแสสัลคองรและแรงดันไฟฟ้าที่บัสในระบบไฟฟ้ากำลังในสถานะอยู่ตัว	44
3.3 พังก์ชั่นคำนวณกระแสสัลคองรที่บัสในระบบไฟฟ้ากำลังในช่วงกรานเซียนต์	46
บทที่ 4 การออกแบบโครงสร้างของโปรแกรมวิเคราะห์ความผิดพร่องในระบบไฟฟ้า	49
4.1 ส่วนนำของเนื้อหา	49
4.2 โปรแกรมรับข้อมูลและแปลงหน่วยจากพารามิเตอร์ของระบบ	49
4.3 โปรแกรมคำนวณแอดมิเดนซ์ (Y-Bus) ของระบบ	50
4.4 โปรแกรมคำนวณโหลดไฟล์ของระบบ	51
4.5 โปรแกรมคำนวณอิมพีเดนซ์ (Z-Bus) ของระบบ	54
4.6 โปรแกรมคำนวณกระแสสัลคองรและแรงดันไฟฟ้าที่บัสในการณ์เกิดความผิดพร่องแบบสมดุล	54
4.7 โปรแกรมคำนวณกระแสสัลคองรและแรงดันไฟฟ้าที่บัสในการณ์เกิดความผิดพร่องสายกับคิน	55
4.8 โปรแกรมคำนวณกระแสสัลคองรและแรงดันไฟฟ้าที่บัสในการณ์เกิดความผิดพร่องสายกับสาย	56
4.9 โปรแกรมคำนวณกระแสสัลคองรและแรงดันไฟฟ้าที่บัสในการณ์เกิดความผิดพร่องสองสายกับคิน	56
4.10 โปรแกรมคำนวณกระแสสัลคองรที่บัสในการณ์เกิดความผิดพร่องในช่วงกรานเซียนต์	57
4.11 ผังการทำงานของการวิเคราะห์ความผิดพร่องในระบบไฟฟ้า	58
4.12 ส่วนสรุปเนื้อหา	60
บทที่ 5 การทดลองและเปรียบเทียบการทำงานของโปรแกรม	61
5.1 ส่วนนำของเนื้อหา	61

สารบัญ (ต่อ)

	หน้า
5.2 ผลวิเคราะห์กระแสลัดวงจรในสภาวะอญี่ตัวของระบบทดลอง IEEE 14 บัส	62
5.3 ผลวิเคราะห์กระแสลัดวงจรในสภาวะอญี่ตัวของระบบทดลอง IEEE 30 บัส	66
5.4 ผลวิเคราะห์กระแสลัดวงจรในสภาวะอญี่ตัวของระบบทดลอง IEEE 57 บัส	70
5.5 ผลวิเคราะห์กระแสลัดวงจรในสภาวะอญี่ตัวของระบบทดลอง IEEE 118 บัส	74
5.6 ผลวิเคราะห์แรงดันไฟฟ้าที่บัสในสภาวะอญี่ตัวของระบบทดลอง IEEE 14 บัส	78
5.7 ผลการคำนวณกระแสลัดวงจรแบบไม่สมมาตรที่บัสในกรณีเกิดความผิดพร่อง	82
5.8 ส่วนสรุปของเนื้อหา	87
บทที่ 6 สรุปผลและข้อเสนอแนะ	89
6.1 สรุปผล	89
6.2 ข้อเสนอแนะ	90
เอกสารอ้างอิง	91
ภาคผนวก ก ข้อมูลระบบทดลอง	93
ข้อมูลระบบทดลอง IEEE 14 บัส	94
ข้อมูลระบบทดลอง IEEE 30 บัส	98
ข้อมูลระบบทดลอง IEEE 57 บัส	104
ข้อมูลระบบทดลอง IEEE 118 บัส	112
ภาคผนวก ข รูปแบบข้อมูลของระบบทดลอง	123
รูปแบบของข้อมูลน้ำระบบน้ำทดลอง	124
รูปแบบของข้อมูลสายส่งและข้อมูลสายส่งของส่วนประกอบลำดับศูนย์บนระบบทดลอง	125
ประวัติผู้เขียน	127

สารบัญตาราง

ตารางที่	หน้า
4-1 ชนิดของบัส	53
5-1 เปรียบเทียบค่าคำนวณแรงดันไฟฟ้า (Phase B) ที่บัสเมื่อเกิดความผิดพร่องแบบ สามเฟสสมดุลกับโปรแกรม Power World ในระบบของ IEEE 14 Bus	78
5-2 เปรียบเทียบค่าคำนวณแรงดันไฟฟ้า (Phase B) ที่บัสเมื่อเกิดความผิดพร่องแบบไม่ สมดุลกรณีสายกับดินกับโปรแกรม Power World ในระบบของ IEEE 14 Bus	79
5-3 เปรียบเทียบค่าคำนวณแรงดันไฟฟ้า (Phase B) ที่บัสเมื่อเกิดความผิดพร่องแบบไม่ สมดุลกรณีสายกับสายกับโปรแกรม Power World ในระบบของ IEEE 14 Bus	80
5-4 เปรียบเทียบค่าคำนวณแรงดันไฟฟ้า (Phase A) ที่บัสเมื่อเกิดความผิดพร่องแบบไม่ สมดุลกรณีสองสายกับดินกับโปรแกรม Power World ในระบบของ IEEE 14 Bus	81
5-5 ตารางค่าสูงสุดของกระแสสัตหัวตามความเวลาตั้งแต่ 0.009 sec. ถึง 0.099 sce.	86
ก-1 ข้อมูลสายส่วนระบบทดสอบไฟฟ้ากำลัง 14 บัส	94
ก-2 ข้อมูลบัสของระบบทดสอบไฟฟ้ากำลัง 14 บัส	95
ก-3 ข้อมูลส่วนประกอบลำดับศูนย์ของสายส่วนระบบทดสอบไฟฟ้ากำลัง 14 บัส	96
ก-4 ข้อมูลสายส่วนระบบทดสอบไฟฟ้ากำลัง 30 บัส	98
ก-5 ข้อมูลบัสของระบบทดสอบไฟฟ้ากำลัง 30 บัส	100
ก-6 ข้อมูลส่วนประกอบลำดับศูนย์ของสายส่วนระบบทดสอบไฟฟ้ากำลัง 30 บัส	101
ก-7 ข้อมูลสายส่วนระบบทดสอบไฟฟ้ากำลัง 57 บัส	104
ก-8 ข้อมูลบัสของระบบทดสอบไฟฟ้ากำลัง 57 บัส	107
ก-9 ข้อมูลส่วนประกอบลำดับศูนย์ของสายส่วนระบบทดสอบไฟฟ้ากำลัง 57 บัส	109
ก-10 ข้อมูลสายส่วนระบบทดสอบไฟฟ้ากำลัง 118 บัส	112
ก-11 ข้อมูลบัสของระบบทดสอบไฟฟ้ากำลัง 118 บัส	118

สารบัญภาพ

ภาพที่	หน้า
1-1 ความผิดพร่องแบบอนุกรมหรือฟอลต์อนุกรม (Series Fault)	2
1-2 ความผิดพร่องแบบขนานหรือฟอลต์ขนาน (Shunt Fault)	3
1-3 วงจรสมมูลที่ประกอบด้วย R และ L อนุกรม	4
1-4 รูปคลื่นสัญญาณใช้นี้ของกระแสไฟฟ้าจากแหล่งกำเนิดไฟฟ้า	6
1-5 รูปคลื่นของกระแสสัลด์คงรูปแบบไม่สมมาตร	6
2-1 แผนผังในระบบไฟฟ้าแสดงกระแสไฟในสภาวะจ่ายโหลดปกติ	14
2-2 แผนผังในระบบไฟฟ้าแสดงกระแสไฟในสภาวะเกิดความผิดพร่อง	14
2-3 การเปลี่ยนแปลงของกระแสสัลด์คงรูปตามเวลาเก็บค่าเรียกแตนซ์ต่างๆ ประคันตามเวลา	15
2-4 รูปคลื่นกระแสสัลบ์ที่สมมาตรรอบแกนศูนย์	16
2-5 รูปคลื่นกระแสสัลบ์ที่ไม่สมมาตรรอบแกนศูนย์ หรือ กระแสสัลด์คงรูปหัวไว้	16
2-6 ไดอะแกรมแสดงของระบบไฟฟ้าเมื่อเกิดความฟอลต์ในระบบ	17
2-7 เวกเตอร์ไดอะแกรมของแรงดันและกระแสจากอัตราส่วนของวงจร (ไม่คิดโหลด)	17
2-8 กระแสสัลด์คงรูปสมมาตรและแรงดันของระบบที่มีเพาเวอร์เฟกเตอร์เท่ากับศูนย์	18
2-9 รูปคลื่นของการลดลงของส่วนประกอนกระแสตรงและกระแสสัลด์คงรูปไม่สมมาตรจะมีรูปคลื่นเป็นสมมาตรเมื่อส่วนประกอนกระแสตรงหมดไป	19
2-10 เวลาคงที่สำหรับการลดลงของกระแสตรง	20
2-11 เครื่องกำเนิดไฟฟ้าซิงโครนัสที่เกิดฟอลต์แบบสมดุล โดยให้อินดักก์เตนซ์มีค่าคงที่	21
2-12 รูปคลื่นของกระแสเกิดการลัดวงจรที่เวลา $t = 0$ สำหรับมุม $(\alpha - \theta) = -90^\circ$ เมื่อ $\theta = \tan^{-1}(\omega L / R)$ และมีแรงดัน $E_{max} \sin(\omega t + \alpha)$	23
2-13 วงจรสมมูลของเครื่องกำเนิดไฟฟ้าที่จ่ายโหลดในสภาวะอยู่ตัว	24
2-14 วงจรสมมูลสำหรับการคำนวณหากระแสฟอลต์ชั้บทราบเชิงตัว	25
2-15 วงจรสมมูลเทวินนินของวงจรภาพที่ 2-14	27
2-16 ตัวอย่างของไดอะแกรมเส้นเดี่ยวของระบบทดลอง	29

สารบัญภาพ (ต่อ)

ภาพที่	หน้า
2-17 วงจรจำลองของระบบในภาพที่ 2-16	29
2-18 วงจรเทวินนิของระบบในภาพที่ 2-16	30
2-19 วงจรของเครื่องกำเนิดไฟฟ้าที่ไม่ได้ต่อโอลด์ และจุดนิวทรอลต่อลงดินโดยผ่าน รีแอกเตอร์แรงดันเหนี่ยวนำในแต่ละเฟส กือ E_a, E_b และ E_c	34
2-20 การไฟลของกระแสแต่ละลำดับในเครื่องกำเนิดไฟฟ้าที่สอดคล้องกับลำดับของ วงจรไฟฟ้า	35
2-21 ลักษณะการเกิดความผิดพร่องแบบสามเฟสสมดุลและลำดับวงจรไฟฟ้า	36
2-22 ลักษณะการเกิดความผิดพร่องแบบสายกับคืนและลำดับวงจรไฟฟ้า	37
2-23 การเกิดความผิดพร่องสายกับสายที่เฟส B และเฟส C และลำดับวงจรไฟฟ้า	38
2-24 ความผิดพร่องแบบสองสายกับคืนที่เฟส B กับ C และลงคืน และลำดับวงจรไฟฟ้า	39
4-1 ขั้นตอนการทำงานของโปรแกรมรับและเปรียบเทียบข้อมูลของระบบ	50
4-2 ขั้นตอนการทำงานของโปรแกรมคำนวณยอดมิเตนเซอร์ของระบบ	50
4-3 ขั้นตอนการทำงานของโปรแกรมคำนวณโอลด์ไฟล์ของระบบ	53
4-4 ขั้นตอนการทำงานของโปรแกรมอินเวอร์สมิตริกเซอร์ของ Y-Bus	54
4-5 ขั้นตอนการทำงานของโปรแกรมคำนวณความผิดพร่องในกรณีสามเฟสสมดุล	55
4-6 ขั้นตอนการทำงานของโปรแกรมคำนวณความผิดพร่องในกรณีสายกับคืน	55
4-7 ขั้นตอนการทำงานของโปรแกรมคำนวณความผิดพร่องในกรณีสายกับสาย	56
4-8 ขั้นตอนการทำงานของโปรแกรมคำนวณความผิดพร่องในกรณีสองสายกับคืน	57
4-9 แสดงขั้นตอนการทำงานของโปรแกรมคำนวณกระแสแลดูดวงแบบไม่สมมาตร	58
4-10 ขั้นตอนการทำงานของโปรแกรมคำนวณกระแสแลดูดวงแบบไม่สมมาตร	59
5-1 ค่าความคลาดเคลื่อนของโปรแกรมในการคำนวณค่ากระแสแลดูดวงในแต่ละบัส กรณีเกิดความผิดพร่องแบบสมมาตรในระบบ IEEE 14 บัส	62
5-2 ค่าความคลาดเคลื่อนของโปรแกรมในการคำนวณค่ากระแสแลดูดวงในแต่ละบัส กรณีเกิดความผิดพร่องแบบสายกับคืนในระบบ IEEE 14 บัส	63
5-3 ค่าความคลาดเคลื่อนของโปรแกรมในการคำนวณค่ากระแสแลดูดวงในแต่ละบัส กรณีเกิดความผิดพร่องแบบสายกับสายในระบบ IEEE 14 บัส	64

สารบัญภาค (ต่อ)

สารบัญภาค (ต่อ)

ภาพที่	หน้า
5-18 เปรียบเทียบรูปคลื่นสัญญาณของกระแสลัดวงจรในกรณีสายกับสาย	84
5-19 เปรียบเทียบรูปคลื่นสัญญาณของกระแสลัดวงจรในกรณีสองสายกับดิน	85
ก-1 ระบบทดสอบ IEEE 14 บัส	97
ก-2 ระบบทดสอบ IEEE 30 บัส	103
ก-3 ระบบทดสอบ IEEE 57 บัส	111
ก-4 ระบบทดสอบ IEEE 118 บัส	122

คำอธิบายสัญลักษณ์และคำย่อ

I_i	หมายถึง กระแสไฟฟ้าที่บัส i
I_{ij}	หมายถึง กระแสไฟฟ้าจากบัส i ไปบัส j
P_i	หมายถึง กำลังไฟฟ้าแยกที่ฟื้นฟูบัส i
P_{ij}	หมายถึง กำลังไฟฟ้าแยกที่ฟื้นฟูจากบัส i ไปบัส j
$P_{ij,\max}$	หมายถึง กำลังไฟฟ้าแยกที่ฟื้นฟูสูงสุดที่ไฟฟ้าจากบัส i ไปบัส j
P_{Gi}	หมายถึง กำลังไฟฟ้าแยกที่ฟื้นฟูของเครื่องกำเนิดไฟฟ้าที่บัส i
P_{Di}	หมายถึง กำลังไฟฟ้าแยกที่ฟื้นฟูของโหลดที่บัส i
$P_{i,sch}$	หมายถึง กำลังไฟฟ้าแยกที่ฟื้นฟูตามแผนงานที่บัส i
$P_{i,cal}$	หมายถึง กำลังไฟฟ้าแยกที่ฟื้นฟูจากการคำนวณที่บัส i
Q_i	หมายถึง กำลังไฟฟ้ารีแยกที่ฟื้นฟูของเครื่องกำเนิดไฟฟ้าที่บัส i
Q_{ij}	หมายถึง กำลังไฟฟ้ารีแยกที่ฟื้นฟูจากบัส i ไปบัส j
Q_{Gi}	หมายถึง กำลังไฟฟ้ารีแยกที่ฟื้นฟูของเครื่องกำเนิดไฟฟ้าที่บัส i
Q_{Di}	หมายถึง กำลังไฟฟ้ารีแยกที่ฟื้นฟูของโหลดที่บัส i
$Q_{i,sch}$	หมายถึง กำลังไฟฟ้ารีแยกที่ฟื้นฟูตามแผนงานที่บัส i
$Q_{i,cal}$	หมายถึง กำลังไฟฟ้ารีแยกที่ฟื้นฟูจากการคำนวณที่บัส i
$Q_{Gi,\min}$	หมายถึง กำลังไฟฟ้ารีแยกที่ฟื้นฟูต่ำสุดของเครื่องกำเนิดไฟฟ้าที่บัส i
$Q_{Gi,\max}$	หมายถึง กำลังไฟฟ้ารีแยกที่ฟื้นฟูสูงสุดของเครื่องกำเนิดไฟฟ้าที่บัส i
S_G	หมายถึง กำลังไฟฟ้าเชิงซ้อนของเครื่องกำเนิดไฟฟ้าที่บัส i
S_{ij}	หมายถึง กำลังไฟฟ้าเชิงซ้อนที่ไฟฟ้าจากบัส i ไปบัส j
V_i	หมายถึง ขนาดแรงดันไฟฟ้าที่บัส i

บทที่ 1

บทนำ

1.1 ความผิดพร่องในระบบไฟฟ้ากำลังคืออะไร

โดยทั่วไประบบไฟฟ้ากำลังที่ใช้ในปัจจุบันนี้จะเป็นระบบไฟฟ้ากระแสสลับแบบ 3 เฟส สมดุล ซึ่งสิ่งที่ไม่平常ดณาให้เกิดขึ้นในระบบไฟฟ้ากำลังแต่ไม่สามารถหลีกเลี่ยงได้ก็คือ กรณีเกิดสายตัวนำเปลือยสัมผัสกัน หรือจนวนที่ส่วนใดส่วนหนึ่งของระบบเกิดเสื่อมสภาพ สิ่งเหล่านี้เป็นสาเหตุที่ให้เกิด “ความผิดพร่อง” หรือ “ฟอลต์” (Fault) ในระบบไฟฟ้ากำลังและขังมีสาเหตุของการเกิดฟอลต์ขึ้นกับระบบยังมีอีกหลายสาเหตุ เช่นไฟผ่าลงสายตัวนำ แรงลมพัดให้ตัวนำเปลือยสัมผัสกัน ต้นไม้พาดลงสายตัวนำ รถชนต้นเสาไฟฟ้า เป็นต้น ความผิดพร่องที่เกิดขึ้นในระบบไฟฟ้าแรงสูงมีด้วยกันหลายแบบและแบ่งออกเป็น 2 ส่วนใหญ่ คือความผิดพร่องแบบสมดุล (Symmetrical Fault) และความผิดพร่องแบบไม่สมดุล (Unsymmetrical Fault) ความผิดพร่องแบบสมดุลคือ การสัมภาระแบบสามเฟสสมดุล ส่วนความผิดพร่องแบบไม่สมดุล คือ การสัมภาระระหว่างสายกับดิน การสัมภาระระหว่างสายกับสาย การสัมภาระแบบสองสายกับดิน

1.2 ประโยชน์ของการศึกษาความผิดพร่องในระบบไฟฟ้ากำลัง [1, 2, 3, 4, 5, 6]

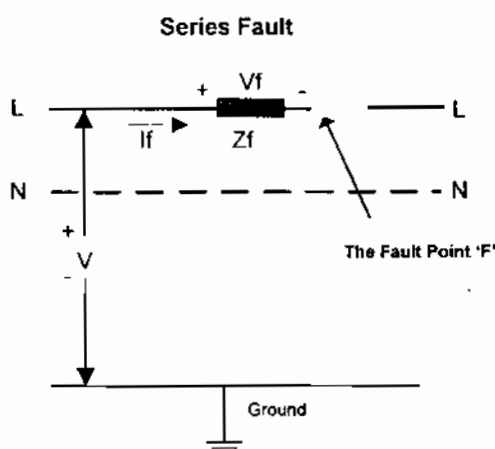
ความผิดพร่องในระบบไฟฟ้าแรงสูงหรือในระบบจำหน่ายไฟฟ้า เป็นสิ่งที่ไม่สามารถจะหลีกเลี่ยงไม่เกิดขึ้นในระบบไม่ได้ โดยสามารถเกิดทั้งจากธรรมชาติเอง หรือความผิดพลาดของมนุษย์ รวมไปถึงความตั้งใจของมนุษย์ โดยทุกครั้งที่เกิดความบกพร่องภายในระบบจะมีกระแสไฟฟ้าไหลมากเกินกว่าปกติ และในระบบไม่มีอุปกรณ์ป้องกันทำให้เกิดความเสียหายขึ้น หรือระบบไม่สามารถตัดจุดที่เกิดความบกพร่องออกจากระบบได้ทันทีก็จะสร้างความเสียหายให้กับระบบเนื่องจากกระแสจะจำนวนสูงที่ไหลผ่าน ดังนั้นการรู้ถึงความเสียหายที่จะเกิดขึ้นก่อนข้อมูลจะเข้มการเพื่อหาวิธีการแก้ไข หรือหาอุปกรณ์ป้องกันภายในระบบไฟฟ้าแรงสูงหรือแรงดันขึ้นต้องมีอุปกรณ์ คือ ฟิวส์หรือเบรกเกอร์ เป็นต้น

การศึกษาความผิดพร่องในระบบจะประกอบด้วยการคำนวณขนาดของกระแสลัดวงจรที่เกิดขึ้นว่ามีความรุนแรงมากน้อยเพียงใด เพื่อหาน้ำหนาของอุปกรณ์ป้องกันที่เหมาะสม โดยอุปกรณ์ป้องกันที่เหมาะสมต้องมีความสามารถในการตัดกระแสลัดวงจรออกจากระบบ และสามารถป้องกันอุปกรณ์ไฟฟ้าไม่ให้เกิดความเสียหายโดยสามารถที่จะกลับมาใช้งานได้ค้างเดิม ซึ่งในการ

ตัวกระแสតค้างจะต้องไม่สูงเกินความจำเป็นทำให้เปลืองเงินลงทุน ดังนั้นการนำผลของการวิเคราะห์ความผิดพลาดในระบบไปใช้ในการคูณระบบ หรือเลือกอุปกรณ์ป้องกัน คือสิ่งที่จำเป็นในกระบวนการของวิศวกรผู้ออกแบบหรือดูแลระบบไฟฟ้าที่ดีพึงจะมี เพื่อที่ให้ระบบมีประสิทธิภาพและสอดคล้องกับมาตรฐานที่ต้องการ รวมไปถึงงานอุตสาหกรรม

1.3 สาเหตุของการเกิดความผิดพลาดในระบบไฟฟ้ากำลัง [1, 2, 3, 4]

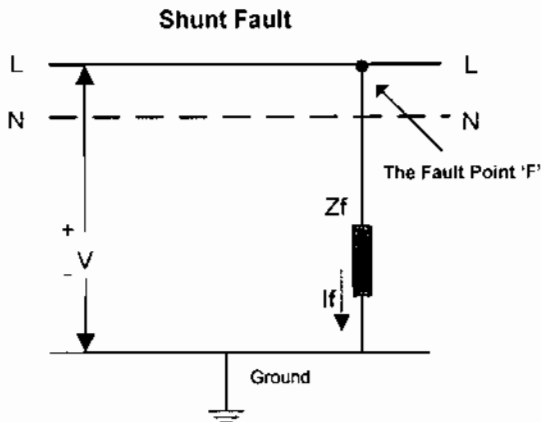
การเกิดความผิดพลาดเป็นปรากฏการณ์ของสภาพผิดปกติในระบบไฟฟ้ากำลังซึ่งแยกออกได้เป็น 2 แบบคือ ความผิดพลาดอนุกรม หรือ ฟอลต์อนุกรม (Series Fault) และความผิดพลาดบน หรือ ฟอลต์บน (Shunt Fault) โดยฟอลต์อนุกรมเป็นสภาพผิดปกติในเฟส (Phase) ของระบบ เช่นสายส่งขาด หรือไม่สามารถจ่ายไฟได้หนึ่งเฟสหรือสองเฟส เป็นต้นดังภาพที่ 1-1 ส่วนฟอลต์บนเป็นสภาพผิดปกติที่เกิดระหว่างเฟสหรือระหว่างกราวด์ (Ground) ซึ่งได้แก่การลัดวงจรแบบต่างๆดังภาพที่ 1-2



ภาพที่ 1-1 ความผิดพลาดแบบอนุกรมหรือฟอลต์อนุกรม (Series Fault)

ฟอลต์บนมีผลทำความเสียหายต่ออุปกรณ์มากกว่าฟอลต์อนุกรม เพราะกระแสกระแสที่เกิดขึ้นในฟอลต์บนมีขนาดสูงมากและทำให้เกิดอุณหภูมิสูงมากในอุปกรณ์ มีผลต่อระบบการทำงานของอุปกรณ์ในระบบทำให้ระบบไฟฟ้าหรือระบบจำหน่ายขาดช่องได้ โดยการศึกษาฟอลต์บนนี้เพื่อหาขนาดของกระแสลัดวงจรและขนาดของอุปกรณ์ และระบบการป้องกัน ส่วนการศึกษาฟอลต์อนุกรมจะวิเคราะห์เสถียรภาพของระบบไฟฟ้ากำลัง โดยส่วนใหญ่การเกิดความผิดพลาดจะเกิดใน

สายส่งเหนือดิน (Overhead) ประมาณ 50-70 เมตรเซนต์ นอกนั้นเป็นฟอลต์ในสายส่งใต้ดิน
ที่ม้อแปลงสถานีไฟฟ้าอยู่



ภาพที่ 1-2 ความผิดพร่องบนบนหรือฟอลต์บน (Shunt Fault)

1.3.1 ความผิดพร่องในสายส่งแรงสูงเหนือดิน (Overhead) โดยส่วนใหญ่เกิดจากฟ้าผ่าหรือการเปิดปีดวงจร ซึ่งทำให้เกิดแรงดันไฟฟ้าเกินอัตรา (Over Voltage) ขึ้นในสายส่งและจำนวนลูกถักวัยทันต่อแรงดันไฟฟ้าเหล่านี้ไม่ได้เกิดแฟลช (Flashover) จากสายผ่านจำนวนลูกถักวัยลงดินไปตามเสาร่างสูดิน ด้วยเหตุนี้ก็มีการแก้ไขโดยการเพิ่มจำนวนลูกถักวัย เพื่อป้องกันการเกิดแฟลช โอเวอร์ที่เกิดจากแรงดันไฟฟ้าเกินมากๆ แต่การเพิ่มลูกถักวัยที่เป็นการลงทุนเกินความจำเป็น เพราะแรงดันไฟฟ้าเกินอัตราสูงจานนี้มีอัตราการเกิดขึ้นน้อย และเมื่อออกแบบระบบจะต้องกำหนดจำนวนลูกถักวัยที่ใช้ให้เหมาะสมกับค่าการลงทุน ยิ่งจำนวนลูกถักวัยมากเกินทำให้เสาร่างที่ต้องรับน้ำหนักสูงเกินไปจึงต้องขอนให้อุปกรณ์ในระบบเสียหายบ้าง ดังนั้นในระบบสายส่งที่เป็นอยู่ในปัจจุบันนั้นจะเกิดความผิดพร่องเกิดขึ้นทุกครั้งที่มีแรงดันไฟฟ้าเกินอัตราสูงๆ เกิดขึ้น

ความผิดพร่องในสายส่งเหนือดินไม่ว่าระบบไฟแรงสูงหรือในระบบชำหน่ายก็เกิดขึ้นมากเนื่องจากจำนวนลูกถักวัยสกปรก เพราะฝุ่นผงเกาะมากหรือมีคราบเกลือเกาะ ส่วนการสาเหตุดังกล่าวทำให้ความทนต่อแรงดันไฟฟ้าเกินอัตราของจำนวนของลูกถักวัยลดลงมาก การเกิดความผิดพร่องในระบบชำหน่ายจะมีสาเหตุจากด้านไม้ไปพAdaลูกสายไฟฟ้า เกิดลักษณะลงดินจำนวนมากลูกถักแต่ละเครนหรือปืนขันไปเก็บข้าว渺สายไฟฟ้า ด้วยสาเหตุดังกล่าวทำให้เกิดแฟลช โอเวอร์ในระบบได้ง่ายขึ้น

1.3.2 การเกิดความบกพร่องในสายส่งใต้ดิน (Underground) ส่วนใหญ่เกิดขึ้นจากการชื้นที่เข้าไปในสายและทำให้คุณสมบัติความเป็นจำนวนของเคเบิลเสื่อมลงจนเกิดการเบรคดาวน์ของจำนวนและลักษณะได้ นอกจากนี้ร่องห่อ (Splicing) ของสายเคเบิลก็เป็นจุดที่มีการเกิดการถัดวงจรได้

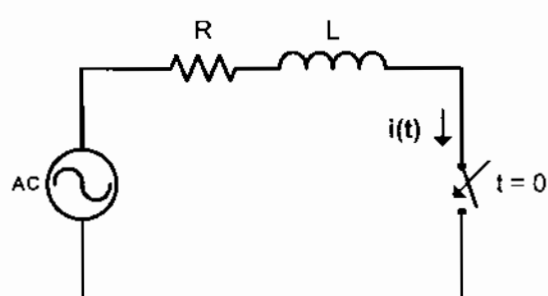
หรืออาจเกิดโคลน่าและเกิดการกระทบของไอ้อนที่เกิดจากการดีไซร์กับฉนวนกันเสรค์ดาวน์

1.3.3 การเกิดความบกพร่องในสถานีไฟฟ้าข่าย ในระบบหรือในโรงงานเกิดความบกพร่องจากสาเหตุที่มาจากการสัตว์ต่างๆที่เข้าไปในสถานีไฟฟ้าข่ายแล้วไปพำนัชระหว่างสายของระบบไฟฟ้าหรือระหว่างสายกันดินทำให้เกิดลักษณะผ่านตัวสัตว์ หรือเกิดจากผู้คนแกะตามลูกถ้วยมากและไม่ได้มีการบำรุงรักษาความสะอาดของลูกถ้วย

1.4 คุณลักษณะพื้นฐานของกระแสลักษณะ [1, 2, 3]

กระแสลักษณะในระบบไฟฟ้ากำลังมีค่าเปลี่ยนแปลงตามเวลาบันทึ้งแต่เริ่มเกิดความผิดพร่องในช่วง時間เชียนต์ (Transients) จนกระทั่งกระแสลักษณะเข้าสู่ค่าคงที่ (Steady State Value) เมื่อวิเคราะห์กระแสลักษณะ โดยจะเปรียบเทียบลักษณะพื้นฐานวิธีการในอุดมคติที่คล้ายกับการปิด - เปิดสวิตซ์ไฟ (Ideal Switch) เมื่อตำแหน่งของการสวิตซ์อยู่ที่ตำแหน่งปิด (Closed Position) ค่าความต้านทานในวงจรจะมีค่าเป็นศูนย์ และในตำแหน่งของการสวิตซ์อยู่ที่ตำแหน่งเปิด (Opened Position) ค่าความต้านทานจะมีค่าเป็นอนันต์ (Infinite) โดยค่าเริ่มต้นของกระแสจะมีค่าเป็นศูนย์เสมอ คุณลักษณะของการเกิดการเปลี่ยนแปลงจะมีผลมาจากค่าพารามิเตอร์ของค่าความต้านทาน (R) ค่าความหนี้บานไฟฟ้า (L) และค่าความจุไฟฟ้า (C) ในระบบไฟฟ้า

โดยลักษณะการสวิตซ์ในระบบที่มีความต้านทานและความหนี้บานน่าต่ออนุกรมกัน ดังภาพที่ 1-3 เป็นตัวอย่างเช่น การปิด - เปิดเบรคเกอร์ในระบบหนึ่งเพสในระบบไฟฟ้าแรงสูง การลักษณะส่ายสั่งในระบบ หรือการเกิดเบรคดาวน์ของสายสั่งได้ดิน ค่าแรงดันไฟฟ้าจะเปรียบเหมือนแหล่งกำเนิดเช่นเครื่องกำเนิดไฟฟ้า ค่าความหนี้บานจะเปรียบกับค่าอินดักแนนซ์ (Inductance: L) ในเครื่องกำเนิดไฟฟ้า ค่าหนี้บานของหม้อแปลงไฟฟ้า บัสบาร์ สายสั่ง ส่วนความต้านทานของแหล่งกำเนิดไฟฟ้าจะเปรียบเป็นค่าความต้านทาน (Resistance: R)



ภาพที่ 1-3 วงจรสมมูลที่ประกอบด้วย R และ L อนุกรม

จากภาพที่ 1-3 จะเป็นวงจรอย่างง่ายในการวิเคราะห์กระแสลัคตุณจริงสั้นๆ เมื่อมองกับการเกิดความผิดพร่องในระบบไฟฟ้ากำลัง โดยแรงดันไฟฟ้าของเครื่องกำเนิดไฟฟ้ามีค่าคงที่ตามสมการที่ 1-1

$$E = V_m \sin \omega t \quad (1-1)$$

กระแสที่ไหลในวงจรจะได้ตามสมการที่ 1-2

$$Ri(t) + L \frac{di(t)}{dt} = V_m \sin \omega t \quad (1-2)$$

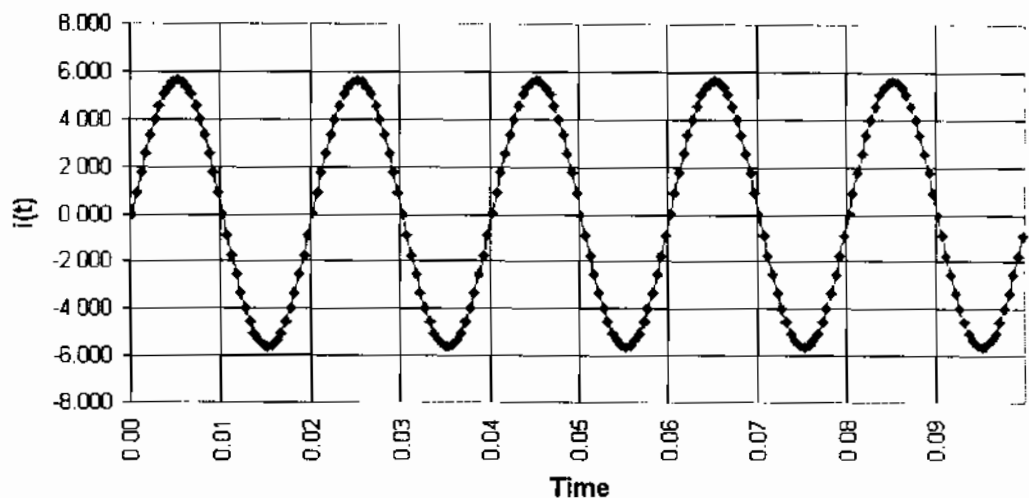
แล้ว

$$i(t) = I_m \sin(\omega t + \alpha - \theta) - I_m e^{-t/\tau} \sin(\alpha - \theta) \quad (1-3)$$

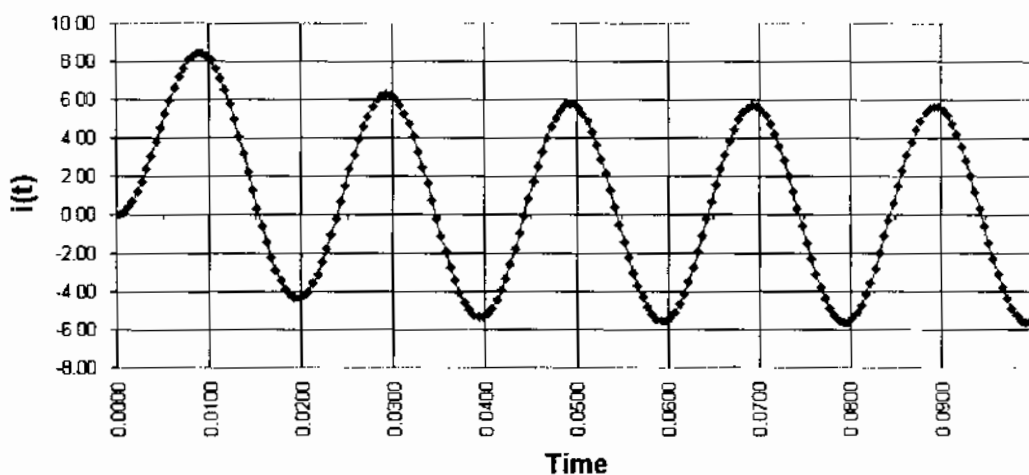
เมื่อ

$$\theta = \tan^{-1} \frac{X_L}{R} \quad (1-4)$$

ซึ่งเมื่อสวิตช์สับลงจะเกิดกระแสไฟฟ้าในวงจรโดยช่วงเวลาที่นานเชียส์จะประกอบด้วยค่ากระแสสองส่วนคือ ส่วนของกระแสตรง (D.C. Component) และส่วนของกระแสลับ (A.C. Component) โดยจะมีผลของค่าความหนืดข้างในและความต้านทานในวงจรที่ทำให้กระแสที่เกิดมีความไม่สมมาตร (Asymmetrical) กับแกนศูนย์หรือแนวแกน X (X-Axis) ซึ่งสัญญาณของแหล่งกำเนิดไฟฟ้าจะเป็นรูปคลื่นไอน์เดคในภาพที่ 1-4 และรูปคลื่นสัญญาณของกระแสลัคตุณจริงในวงจรแสดงในภาพที่ 1-5 โดยกระแสลัคตุณจริงเริ่มแรกมีค่ามากหรือน้อยจะขึ้นอยู่กับกระแสตรงที่เกิดขึ้น และกระแสตรงที่เกิดจะมีค่าตามสมการที่ 1-3 คือถ้า $(\alpha - \theta)$ มีค่าเป็น 0 กระแสตรงก็ไม่เกิดค้างนั้นกระแสลัคตุณจริงก็จะมีเฉพาะกระแสลับอย่างเดียว แต่ $(\alpha - \theta) = \pm \frac{\pi}{2}$ กระแสตรงที่เกิดขึ้นก็มีค่าสูงสุด ในระบบไฟฟ้า 1ϕ ค่าของ $(\alpha - \theta)$ มีโอกาสเป็นศูนย์เต็มในระบบ 3ϕ ส่วนกระแสตรงจะเกิดขึ้นทุกครั้งที่มีการลัดวงจรเกิดขึ้นและกระแสลัคตุณจะเปลี่ยนแปลงไปตามเวลาของรูปคลื่นสัญญาณ



ภาพที่ 1-4 รูปคลื่นสัญญาณ ไอน์ของกระแสไฟจากแหล่งกำเนิดไฟฟ้า



ภาพที่ 1-5 รูปคลื่นของกระแสสัตว์ธรรมเนียมไม่สมมาตร

1.5 วิธีพนักงานของโปรแกรมการวิเคราะห์ความผิดพร่องของระบบไฟฟ้ากำลัง [5]

ในการวิเคราะห์ความผิดพร่องของระบบไฟฟ้ากำลังมีการพัฒนารูปแบบของการคำนวณให้มีความรวดเร็ว ถูกต้อง และใช้งานได้สะดวก โดยในช่วงแรกของการพัฒนาประดิษฐ์เครื่องคำนวณ The Transient Network Analyzer สามารถคำนวณในช่วงสภาวะอยู่ตัว (Steady State) และ ช่วงทรายเชิงค่าโดยสามารถวิเคราะห์ปัญหาในด้านที่เกี่ยวกับความผิดพร่อง เช่น Switching Surges Switching and Transients Caused by Fault เป็นต้น แล้วมีการประยุกต์โปรแกรมโหลดไฟฟ้า (Load Flow) เพื่อนำมาหาระยะสัตว์ธรรมเนียมที่มีการพัฒนานำเข้าไปในโครงข่ายพิเศษหรือ

ดิจิตอลคอมพิวเตอร์ (Digital Computer) ซึ่งมีข้อดีของคัวประมวลผลในการคำนวณด้วยความรวดเร็ว ถูกต้อง เทคนิคการสร้างพารามิเตอร์ของระบบและรูปแบบอัลกอริธึมของการคำนวณเพื่อเพิ่มประสิทธิภาพของประมวลผลให้ดีขึ้น เช่น โปรแกรม EMTP (Electromagnetic Transients Programs) เป็นการพัฒนาในปี 1960 โดยความคิดริเริ่มของ H. W. Dommei ที่สถาบัน Munich Institute of Technology และได้มีการเรียนพัฒนาเพื่อให้มีความสามารถเพิ่มขึ้นและมีผู้ใช้งานเพิ่มมากขึ้น โดยนำไปวิเคราะห์ระบบ และทฤษฎีใหม่หรือโนเดลของอุปกรณ์ป้องกันเพื่อทดสอบก่อนใช้งานจริง

ในส่วนของงานวิจัยนี้จะได้นำเอาผลของโปรแกรมสำเร็จรูปคือ Power World และ PSCAD มาเปรียบเทียบ ซึ่งโปรแกรมสำเร็จรูปจะให้ผลที่มีความเชื่อถือได้ ถูกต้อง และมีการทดสอบกับการใช้งานจริงหรือทดสอบกับระบบไฟฟ้ากำลังจริง

โปรแกรม Power World เป็นโปรแกรมสำเร็จรูปที่หน่วยงานด้านพลังงานไฟฟ้าใช้งานอย่างแพร่หลายเพื่อวิเคราะห์ความเปลี่ยนแปลงของกำลังไฟฟ้า แรงดันไฟฟ้า กระแสไฟฟ้าที่ไหลในระบบ รวมถึงการวิเคราะห์การเกิดความผิดพร่องหรือฟอลต์ (Fault) วิเคราะห์สภาวะ โหลดมีการเปลี่ยนแปลง และการออกแบบระบบไฟฟ้าให้มีความเสถียรภาพ

โปรแกรม PSCAD เป็นโปรแกรมที่ใช้กันอย่างแพร่หลาย โดยเน้นมา กับการวิเคราะห์การเกิดความผิดพร่องของระบบไฟฟ้าทั้งระบบ 1ϕ และระบบ 3ϕ มีการริเริ่มต้นแต่ปี 1988 จนถึงปัจจุบัน ซึ่งรูปแบบของโปรแกรมจะเป็นกราฟฟิกให้ผู้ใช้งานเลือกให้เครื่องมือและฟังก์ชันของโปรแกรมได้ง่าย โดยสามารถวิเคราะห์ได้ในช่วงทرانเซียนต์ และสภาวะอยู่ตัว ผลที่ได้มีความเชื่อถือได้ ถูกต้อง และรวดเร็ว และสามารถสร้างพารามิเตอร์ใหม่เพื่อการทดสอบได้ แต่ยังไม่เน้นกับการวิเคราะห์ระบบไฟฟ้าที่มีขนาดใหญ่ๆ

โปรแกรมสำเร็จรูปส่วนใหญ่มีพื้นฐานในการเขียนโปรแกรมด้วยภาษาฟอร์แทรนและตกแต่งหน้าต่างของโปรแกรมให้มีความสะดวก 以便คำนวณได้ง่าย และมีโมเดลเฉพาะให้เลือกใช้ได้ง่ายและถูกต้องตามมาตรฐาน ทำให้ผู้ใช้ไม่ต้องสร้างโนเดลเอง

1.6 ภาษาฟอร์แทรน 77 (Fortran 77) [7, 8, 9, 10, 11]

ภาษาฟอร์แทรน 77 เป็น Open Source และเป็นภาษาที่ออกแบบเพื่อประยุกต์ใช้งานที่เกี่ยวข้องกับตัวเลข เช่น งานด้านวิทยาศาสตร์และวิศวกรรมศาสตร์ คำว่า "FORTRAN" เป็นคำย่อมาจาก FORmula TRANslation โดยบริษัท IBM เป็นผู้พัฒนาและออกสู่ตลาดเมื่อปี ก.ศ. 1957 ต่อมาในปี ก.ศ. 1966 ภาษาฟอร์แทรนได้ปรับปรุงให้อยู่ในแบบมาตรฐานของ American National Standard Institute (ANSI X 3.9-1966) และพัฒนามาจนกระทั่งปี ก.ศ. 1977 จึงเป็นฟอร์แทรน 77

(FORTRAN 77) แล้วจัดให้อยู่ในแบบมาตรฐานของ American National Standard Institute (ANSI X 3.9-1978) ในปี พ.ศ. 1978 ภาษาฟอร์แทรน 77 ทำสั่งถูกขั้ดระเบียบให้อยู่ในรูปหน่วยโปรแกรม (Program Unit) และมีคำสั่ง END เป็นคำสั่งสุดท้าย หน่วยโปรแกรมอาจเป็นโปรแกรมหลัก (Main Program) หรือโปรแกรมย่อย (Subprogram) ก็ได้ ซึ่งในโปรแกรมหลักอาจจะมีโปรแกรมย่อย หรือไม่มีก็ได้ หากมีอาจจะมีมากกว่าหนึ่งโปรแกรมย่อยก็ได้ คำสั่งในภาษาฟอร์แทรนแบ่งประเภทได้ดังนี้

1.6.1 คำสั่งปฏิบัติการ (Executable Statement) เป็นคำสั่งที่มีผลต่อการดำเนินงานของ โปรแกรม เป็นคำสั่งที่ใช้ในการคำนวณ ควบคุม อ่านและพิมพ์ข้อมูลมีดังต่อไปนี้

1.6.1.1 คำสั่งในการกำหนดตัวแปร (Assignment Statement) ใช้สำหรับกำหนดค่าให้กับ ตัวแปร ซึ่งมีคำสั่งคือ คำสั่งกำหนดค่าเลขคณิต คำสั่งกำหนดค่าตรรก คำสั่งกำหนดค่าอักษรและ คำสั่ง ASSIGN

1.6.1.2 คำสั่งควบคุม (Control Statement) เป็นคำสั่งที่มีผลต่อลำดับของคำสั่งที่จะนำไป ปฏิบัติการในหน่วยโปรแกรมเปลี่ยนไป ซึ่งปกติคำสั่งในโปรแกรมจะปฏิบัติตามลำดับที่เขียน

1.6.1.3 คำสั่งในการนำข้อมูลเข้า/ออก (Input/Output Statement) เป็นคำสั่งในการ เคลื่อนข่ายข้อมูลระหว่างอุปกรณ์ต่างๆ หรือระหว่างหน่วยความจำ และอุปกรณ์รับส่งข้อมูลตาม ลักษณะที่กำหนด

1.6.2 คำสั่งไม่ปฏิบัติการ (Non-Executable Statement) เป็นคำสั่งที่ใช้กำหนดให้แก่ Processor ถึงลักษณะ ข้อกำหนดข้อมูล เครื่องข้อความที่เกี่ยวกับรูปแบบของ Input และ Output และกำหนด ข้อมูลเริ่มต้นให้แก่ Object Program มีดังต่อไปนี้

1.6.2.1 คำสั่งเฉพาะ (Specification Statement) เป็นคำสั่งที่มีหน้าที่ป้อนข่าวสารให้กับ Processor ในด้านการແพรความหมายการใช้ชื่อ สัญลักษณ์ภายในโปรแกรม การกำหนดค่าเริ่มต้น ให้ตัวแปร ตัวแปรชุด และการเก็บข้อมูล

1.6.2.2 คำสั่ง FORMAT เป็นคำสั่งที่ใช้กับคำสั่งในการนำข้อมูลเข้า/ออก โดยคำสั่ง FORMAT เป็นคำสั่งในการกำหนดรูปแบบของข้อมูลที่จะเคลื่อนข้าย พร้อมกับการแสดงผล ข้อมูล และการเรียกใช้ข้อมูล เพื่อให้เป็นไปตามรูปแบบที่กำหนด

1.6.2.3 คำสั่งระบุโปรแกรมย่อย เช่น SUBROUTINE, FUNCTION เป็นหน่วย โปรแกรม ซึ่งโปรแกรมอื่นๆ สามารถเรียกใช้ได้ อาจมีอยู่แล้วในระบบหรือกำหนดขึ้นมาใช้งานเอง

1.6.2.4 คำสั่งในการกำหนด Statement Function เป็นคำสั่งกำหนดฟังก์ชันขึ้นมาใช้งาน เอง นอกเหนือจากฟังก์ชันภายในที่มีให้

ในงานวิจัยนี้ทำการรับข้อมูลภายนอก 2 ส่วน คือ ส่วนข้อมูลบัส และข้อมูลสายส่ง โดยรับข้อมูลจากข้อมูลภายนอกที่เป็น DAT File โดยมีรูปแบบข้อมูลแสดงในภาคผนวกที่ ๖ การเขียนโปรแกรมในงานวิจัยนี้ จะแบ่งส่วนของโปรแกรมเป็น 3 ส่วน คือ โปรแกรมหลัก (Main Program) โปรแกรมย่อยสับรูทีน (Subroutine Subprogram) และ โปรแกรมย่อยฟังก์ชัน (Function Subprogram) ในการกำหนดค่าตัวแปร ส่วนที่เป็นจำนวนจริงกำหนดเป็นแบบ Double Precision เพราะสามารถคำนวณได้มากกว่าแบบ Real ซึ่งแบบ Double Precision คำนวณได้ตั้งแต่ -10^{-38} ถึง 10^{38} เพื่อให้สะดวกในการเขียนและตรวจสอบโปรแกรม

ฟังก์ชันภายในของ Fortran 77 ที่มีให้ เป็นฟังก์ชันสำหรับคำนวณฟังก์ชันอักขระ และฟังก์ชันทางคณิตศาสตร์ที่ใช้กันบ่อยๆ แต่ไม่มาก จึงต้องเขียนฟังก์ชันเพื่อใช้งานเอง ในงานวิจัยนี้ สร้างโปรแกรมย่อยฟังก์ชันใช้งานเอง คือ ฟังก์ชันการคณิตตริก อินเวอร์สเมตตริก การแปลงจำนวน เชิงช้อนจาก Polar เป็น Rectangular และจาก Rectangular เป็น Polar

1.7 จุดประสงค์ของงานวิจัยนี้

ระบบการประมวลผลของโปรแกรมในโครงสร้างเชื้อเพลิงในปัจจุบันนี้มีประสิทธิภาพที่ดีขึ้น ทำให้ถูกมาใช้งานอย่างแพร่หลายในระบบไฟฟ้ากำลัง เพราะประสิทธิภาพการทำงานสูง และคำนวณผลค่างๆ ได้รวดเร็วทำให้มีการนำข้อมูลของชุดประมวลผลไปวิเคราะห์ระบบไฟฟ้ากำลัง

โดยงานวิจัยนี้มีจุดประสงค์เพื่อพัฒนาการเขียนโปรแกรมด้วยภาษาฟอร์แทรน 77 ซึ่งเป็นภาษาโปรแกรมพื้นฐาน เขียนโปรแกรมเพื่อนำมาวิเคราะห์ความผิดพร่องของระบบไฟฟ้ากำลังในแบบสมดุลและแบบไม่สมดุล ผลที่ได้จะมีค่ากระแสแลតองกรที่บัสใดๆ ในช่วงทรายเชิงน็ต และในช่วงสภาวะอยู่ด้วย รวมทั้งแรงดันไฟฟ้าที่บัสในขณะเกิดความผิดพร่องของระบบ โดยผลที่ได้จะต้องแม่นยำ รวดเร็ว และมีความน่าเชื่อถือเมื่อเปรียบเทียบกับโปรแกรมสำเร็จรูป และนำผลที่ได้มาพัฒนาให้อยู่ในรูปแบบของระบบป้องกัน (Protection System) การควบคุมและการออกแบบระบบไฟฟ้ากำลัง และยังสามารถนำส่วนของโปรแกรมไปพัฒนาในส่วนที่เกี่ยวข้องกับการวิเคราะห์การเกิดความผิดพร่องระบบไฟฟ้าหรือในส่วนต่างๆ ต่อไป

1.8 โครงสร้างงานวิจัย

ในวิทยานิพนธ์นี้ ได้แบ่งเนื้อหาออกเป็น 6 บท เพื่อให้เห็นภาพรวมของวิทยานิพนธ์นี้ จึงได้ขึ้นชื่อบนเขตของเนื้อหาในแต่ละบท ดังด่อไปนี้

‘บทที่ ๑’ บทนี้เป็นบทนำของวิทยานิพนธ์ ได้อธิบายถึง ความหมาย และความจำเป็นที่ต้องมีการวิเคราะห์ความผิดพร่องในระบบไฟฟ้ากำลัง คุณลักษณะพื้นฐานของกระแสแลตองกรแนวใหม่

สมมาตร และรวมถึงวิวัฒนาการของโปรแกรมวิเคราะห์ความผิดพร่องในระบบไฟฟ้ากำลังตั้งแต่อดีตจนถึงปัจจุบันที่ใช้กันอย่างแพร่หลาย และข้อดี ข้อเสียของโปรแกรมสำเร็จรูปที่ใช้ในการเปรียบเทียบกับผลงานวิจัย โดยอธิบายถึงคุณสมบัติและคำสั่งพื้นฐานของภาษาฟอร์แทรน 77 เช่น คำสั่งปฏิบัติการ และคำสั่งไม่ปฏิบัติการ วัตถุประสงค์ของงานวิจัย และส่วนประกอบของเนื้อหาทั้งหมดในวิทยานิพนธ์นี้ด้วย

‘บทที่ 2’ บทนี้เป็นทฤษฎีเกี่ยวกับการวิเคราะห์ความผิดพร่องไฟฟ้ากำลัง ได้กล่าวถึงแหล่งกำเนิดกระแสสัตวะจร ซึ่งประกอบไปด้วยเครื่องกำเนิดไฟฟ้า มอเตอร์ชิ่งโกรนัส และมอเตอร์ที่เป็นโหลด ค่ารีแอคเวนช์ของอุปกรณ์ที่มีผลต่อกระแสสัตวะจร คุณลักษณะของกระแสสัตวะจรแบบสมมาตร และไม่สมมาตร การวิเคราะห์กระแสสัตวะจรแบบไม่สมมาตร ศึกษาการเกิดความผิดพร่องในระบบไฟฟ้ากำลังและวิเคราะห์การคำนวณหาค่ากระแสสัตวะจร และแรงดันไฟฟ้าในขณะเกิดความผิดพร่องในระบบ

‘บทที่ 3’ บทนี้เป็นการนำเสนอฟังก์ชันอัลกอริทึมและนิยามของตัวแปรที่ใช้ในฟังก์ชันที่อยู่ในโปรแกรมวิเคราะห์ความผิดพร่องในระบบไฟฟ้ากำลัง ซึ่งจะเป็นฟังก์ชันการสร้างอินพุตเดนซ์ เมตริกซ์ของส่วนประกอบลำดับบวก ลบ และศูนย์ ฟังก์ชันการคำนวณกระแสสัตวะจรและแรงดันไฟฟ้าที่บัสในช่วงสภาวะอยู่ตัว และฟังก์ชันการคำนวณกระแสสัตวะจรแบบไม่สมมาตรในระบบไฟฟ้าที่จะแบ่งผันไปตามเวลาเนื่องจากต้องคำนวณค่าที่อยู่ในช่วงทราบเชิงตัว และสภาวะอยู่ตัวเพื่อวิเคราะห์การเกิดกระแสสัตวะจรในช่วงเวลาใดๆ

‘บทที่ 4’ บทนี้เป็นการออกแบบโครงสร้างของโปรแกรมการวิเคราะห์ความผิดพร่องในระบบไฟฟ้าโดยจะนำเสนอลำดับขั้นตอนการทำงานของโปรแกรมย่อยซึ่งจะโปรแกรมย่อยนั้นจะเรียกข้อมูลชนิดต่างๆ เข้าประมวลผลในโปรแกรมนั้นและได้ผลจากการคำนวณของโปรแกรมย่อยเพื่อเตรียมข้อมูลให้โปรแกรมดัดแปลงได้ใช้งาน โดยจะมีโปรแกรมการคำนวณค่าแอดมิแทชันเมตริก และอินพุตเดนซ์เมตริก โปรแกรมรันโหลดฟอร์ โปรแกรมคำนวณค่ากระแสสัตวะจรในสภาวะอยู่ตัว และแรงดันไฟฟ้าที่บัสในกรณีเกิดความผิดพร่องขึ้นที่บัส โปรแกรมคำนวณค่ากระแสสัตวะจรแบบไม่สมมาตรตามเวลา และแผนผังการทำงานของโปรแกรมวิเคราะห์ความผิดพร่องแบบไม่สมมาตรในระบบไฟฟ้า

‘บทที่ 5’ บทนี้เป็นการนำเสนอผลการทดลองของโปรแกรมมาเปรียบเทียบกับโปรแกรมสำเร็จรูป Power World และ โปรแกรม PSCAD โดยจะเปรียบเทียบค่ากระแสสัตวะจรในสภาวะอยู่ตัว ค่าแรงดันไฟฟ้าที่บัสในขณะเกิดความผิดพร่อง และค่ากระแสสัตวะจรในสภาวะทราบเชิงตัว โดยจะเปรียบเทียบกันในกรณีเกิดความผิดพร่องแบบสามเฟสสมดุล แบบสายกับดิน แบบสายกับสาย และ

เปรียบเทียบกันในกรณีเกิดความผิดพลาดร่องแบบสามเหลี่ยมคู่ แบบสายกับดิน แบบสายกับสาย และแบบสองสายกับดิน แล้วคำนวณหาค่าความผิดพลาดของโปรแกรมที่สร้างขึ้นกับโปรแกรมสำเร็จรูป

บทที่ 6 บทนี้เป็นการสรุปผลการทดลองที่ได้ทดสอบโปรแกรมมาในระบบ IEEE 14 บัส IEEE 30 บัส IEEE 57 บัส และ IEEE 118 บัส และข้อเสนอแนะในการนำโปรแกรมวิเคราะห์ความผิดพลาดร่องแบบไม่สมมาตรในระบบไฟฟ้ากำลังไปพัฒนาต่อในรูปแบบอื่นหรือสามารถเพิ่มประสิทธิภาพของโปรแกรมของผู้ใช้งานเอง เพราะเป็นการเขียนโปรแกรมที่เหมาะสมกับการคำนวณทางวิศวกรรมศาสตร์ ความรวดเร็วในการประมวลผล ความถูกต้องของผลลัพธ์ที่ได้ด้วยภาษาฟอร์เมอร์น 77

บทที่ 2

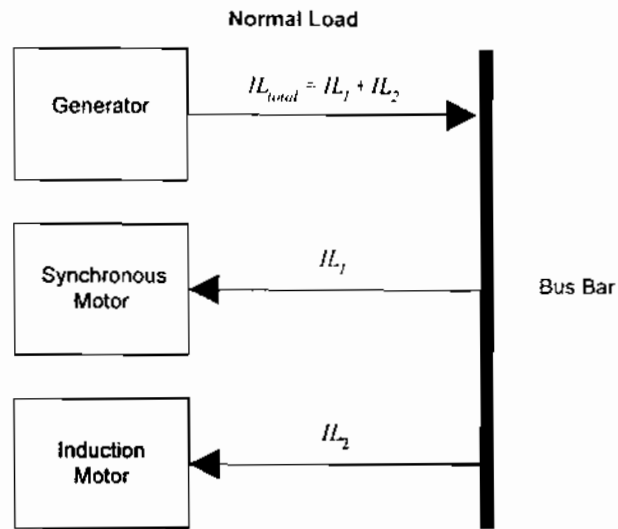
ทฤษฎีเกี่ยวกับการวิเคราะห์ความผิดพร่องในระบบไฟฟ้ากำลัง

2.1 ส่วนนำของเนื้อหา

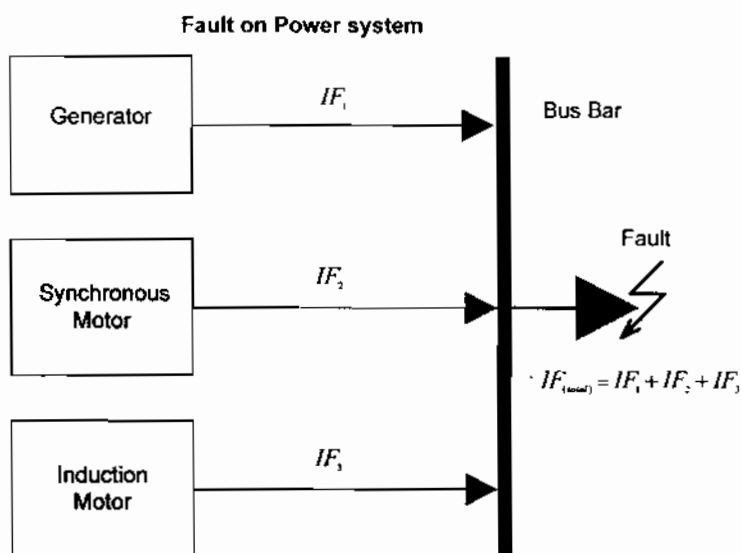
การวิเคราะห์ความผิดพร่องในระบบไฟฟ้ากำลังที่ใช้ในปัจจุบันจะเป็นการวิเคราะห์บนระบบไฟฟ้ากระแสสลับแบบ 3 เฟสสมดุล ความผิดพร่องที่เกิดขึ้นในระบบไฟฟ้าแรงสูงมีค่วยกันหลาดแบบและแบ่งออกเป็น 2 ส่วนใหญ่ คือความผิดพร่องแบบสมดุล (Symmetrical Fault) และความผิดพร่องแบบไม่สมดุล (Unsymmetrical Fault) โดยความผิดพร่องแบบสมดุลคือกรณีการลัดวงจรแบบสามเฟสสมดุล (Three Phase Balanced Fault) ส่วนความผิดพร่องแบบไม่สมดุลมีหลายกรณี คือกรณีการลัดวงจรระหว่างสายกับดิน (Single Line to Ground Fault) กรณีการลัดวงจรระหว่างสายกับสาย (Line to Line Fault) และกรณีการลัดวงจรแบบสองสายกับดิน (Double Line to Ground Fault) โดยแรงดันและกระแสลัดวงจรนี้จะเกิดในระบบไฟฟ้าจะต้องอาศัยแหล่งกำเนิดกระแสลัดวงจรเป็นแหล่งกำเนิดกระแสให้ไฟฟ้าในวงจรซึ่งต้องศึกษาถึงคุณสมบัติของแหล่งกำเนิดไฟฟ้า คุณสมบัติคือคุณสมบัติของความผิดพร่อง การคำนวณกระแสลัดวงจรในส่วนของกระแสตรงและกระแสสลับที่อยู่ในช่วงกรานเซียนต์และช่วงสภาวะอยู่ตัวของแต่ละกรณีความผิดพร่อง และความเปลี่ยนแปลงของแรงดันไฟฟ้าและบุกของแรงดันในแต่ละเฟสในขณะเกิดความผิดพร่อง

2.2 แหล่งกำเนิดกระแสลัดวงจร (Short of Short – Circuit Currents) [1, 2, 3]

การเกิดความผิดพร่องขึ้นในระบบไฟฟ้าสิ่งสำคัญที่สุดก็คือ การทำงานของกระแสลัดวงจรและแรงดันไฟฟ้าที่บังคับต่างๆ ในขณะเกิดความผิดพร่องในระบบนั้นๆ ดังนั้นการทำงานของกระแสลัดวงจรจำเป็นต้องทราบถึงแหล่งกำเนิดและคุณลักษณะรีแอคเคนซ์ของแหล่งกำเนิดในระบบไฟฟ้านั้นคือ โดยทั่วไปแหล่งกำเนิดกระแสลัดวงจรของระบบไฟฟ้ากำลังมีอยู่ 3 แหล่งกำเนิด คือ เครื่องกำเนิดไฟฟ้าจั๊ง โกรนัส (Generator) จะเป็นแหล่งกำเนิดไฟฟ้าให้กับระบบไฟฟ้า มอเตอร์จั๊ง โกรนัส (Synchronous Motor) เป็นโหลดของระบบและแหล่งกำเนิดไฟฟ้าได้ทั้งสองอย่าง และมอเตอร์เหนี่ยวนำ (Induction Motor) จะเป็นโหลดของระบบไฟฟ้าอย่างเดียว จากภาพที่ 2-1 เป็นแผนผังระบบไฟฟ้าอย่างง่ายเพื่อแยกชนิดของแหล่งกำเนิดกระแสลัดวงจรในระบบไฟฟ้า



ภาพที่ 2-1 แผนผังในระบบไฟฟ้าแสดงกระแสไฟล์ในสภาวะจ่ายโหลดปกติ



ภาพที่ 2-2 แผนผังในระบบไฟฟ้าแสดงกระแสไฟล์ในสภาวะเกิดความผิดพ่วง

2.3 รีแอกเคนซ์ของเครื่องจักรกลไฟฟ้านิດหมุน (Rotating-Machine Reactance) [1, 2]

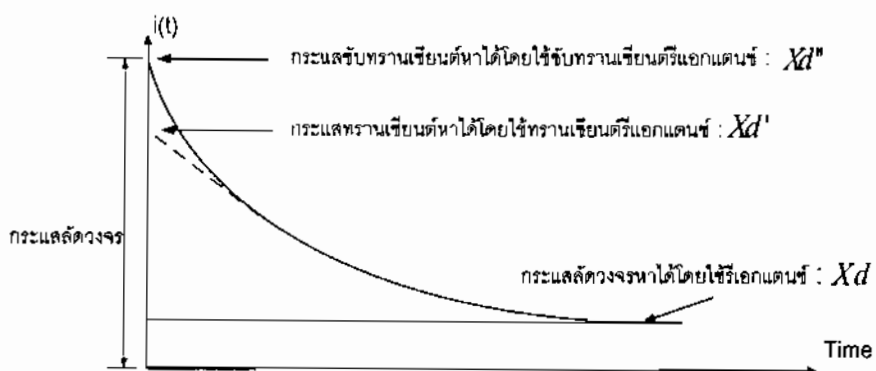
จากแหล่งกำเนิดกระแสสัตว์จะทราบเห็นได้ว่าทั้งเครื่องกำเนิดไฟฟ้าและมอเตอร์เป็นเครื่องจักรกลไฟฟ้านิດหมุน ซึ่งรูปแบบของรีแอกเคนซ์จะไม่เหมือนกับรีแอกเคนซ์ของหม้อแปลงกำลังหรือเกบิลของสายส่งพลังไฟฟ้า แต่จะมีความซับซ้อนและเปลี่ยนแปลงไปตามเวลาโดย

ขั้นตอนของการคำนวณหาค่ากระแสสัตว์จะเพื่อนำไปประยุกต์ใช้งานกับเซอร์กิตเบรกเกอร์และรีเลย์ป้องกันนั้นจะมีรีเลย์ป้องกันนั้นจะมีรีแอกเคนซ์ของเครื่องกำเนิดไฟฟ้ามอเตอร์ 3 ค่าคือ

2.3.1 ชั้นทรานเซียนต์รีแอกเคนซ์ (Subtransient Reactance : Xd'') เป็นค่ารีแอกเคนซ์ของขดลวดสเตเตอเรจปراภูมิขึ้นทันทีที่เกิดคลัตช์จะใช้สำหรับหาค่ากระแสสัตว์ชั้นทรานเซียนต์ (Subtransient Current) ในระหว่างไฟเคิลแรกๆ ของความถี่กระแสสัตว์จะ

2.3.2 ทรานเซียนต์รีแอกเคนซ์ (Transient Reactance : Xd') เป็นค่ารีแอกเคนซ์เริ่มต้น (Initial Reactance) ของขดลวดสเตเตอเรจ ใช้สำหรับหากระแสทรานเซียนต์ (Transient Current) ในช่วงเวลาต่อมากจากชั้นทรานเซียนต์รีแอกเคนซ์ ทรานเซียนต์รีแอกเคนซ์จะมีผลถึง 0.5 วินาที หรือนานกว่านี้ขึ้นอยู่กับการออกแบบเครื่องจักรกลไฟฟ้า

2.3.3 ชิงโกรนัสรีแอกเคนซ์ (Synchronous Reactance : Xd) เป็นรีแอกเคนซ์สำหรับใช้หาระดับไฟฟ้าในสภาวะอยู่ตัว (Steady State) ซึ่งจะมีผลก่อต่อเมื่อเวลาได้ผ่านไปหลายวินาทีหลังจากการเกิดคลัตช์ขึ้น สำหรับค่าชิงโกรนัสรีแอกเคนซ์จะไม่นำมาใช้เพื่อคำนวณหาระดับกระแสเพื่อไปนาบนาดเซอร์กิตเบรกเกอร์หรือพิวเตอร์ แต่จะใช้สำหรับการศึกษาเพื่อดict ค่ารีเลย์ในการทำงาน (Relay Setting)



ภาพที่ 2-3 การเปลี่ยนแปลงของกระแสสัตว์ตามเวลา กับค่ารีแอกเคนซ์ต่างๆ แบ่งเป็น 3 ตอนตามเวลา

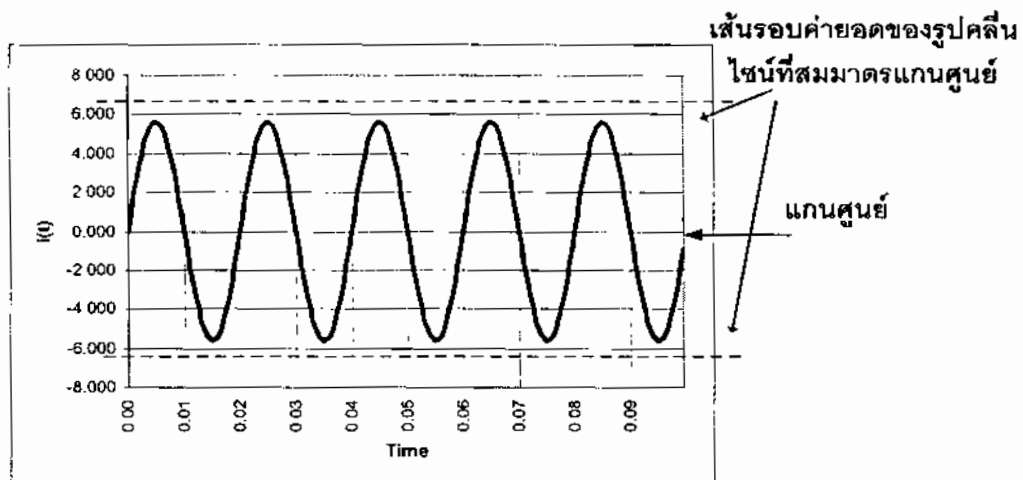
2.4 กระแสสัตว์สมมาตรและไม่สมมาตร (Symmetrical and Asymmetrical Short - Circuit Currents) [1, 2]

เหตุของกระแสสัตว์สมมาตรและไม่สมมาตรจะใช้กับการนักความสมมาตรของรูปคลื่นกระแสสัตว์รอบแกนศูนย์ ดังนี้

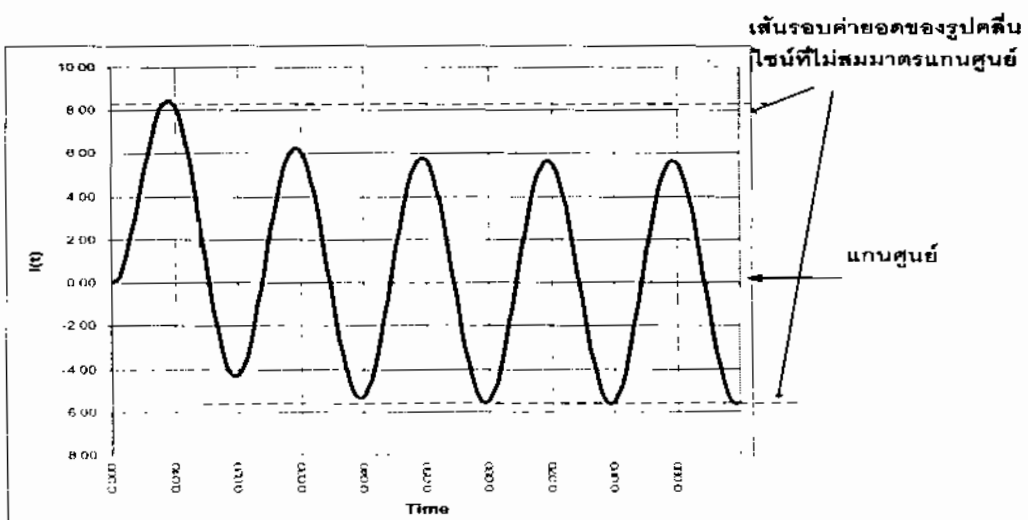
2.4.1 กระแสแบบสมมาตรหมายถึงรูปคลื่นของกระแสที่มีเส้นล้อมรอบ (Envelops) ค่ายอดของกระแส (Peak Current) สามารถแกนศูนย์ ดังภาพที่ 2-4

2.4.2 กระแสแบบไม่สมมาตรหมายถึงรูปคลื่นของกระแสที่มีเส้นล้อมรอบค่ายอดของกระแสไม่สามารถแกนศูนย์ได้ดังภาพที่ 2-5

โดยทั่วไปเมื่อเกิดความผิดพร่องขึ้นในระบบกระแสลัพธ์ในช่วงไขคิลแรกๆ หลังเกิดความผิดพร่องจะมีส่วนไม่สมมาตร ซึ่งจะมีค่าไม่สมมาตรสูงสุดในทันทีที่เกิดความผิดพร่อง แต่ในช่วงไขคิลต่อๆ นาหลังเกิดความผิดพร่องกระแสลัพธ์จะค่อยๆ กลับเข้าสู่สภาพสมมาตรดังภาพที่ 2-5



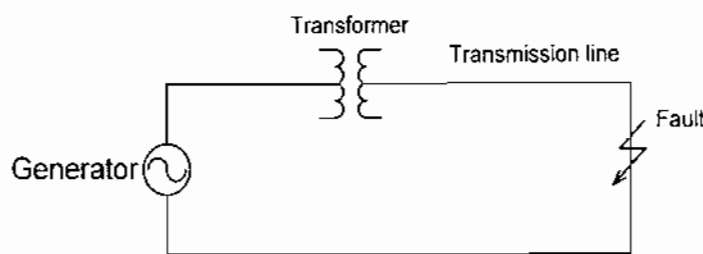
ภาพที่ 2-4 รูปคลื่นกระแสลัพท์ที่สมมาตรรอบแกนศูนย์



ภาพที่ 2-5 รูปคลื่นกระแสลัพท์ที่ไม่สมมาตรรอบแกนศูนย์ หรือ กระแสลัพท์ที่ไม่ไขคิล

2.5 การเกิดกระแสลัดวงจรแบบไม่สมมาตรในระบบไฟฟ้ากำลัง (Asymmetrical Short Circuit Current in Power System) [1, 2, 3, 4]

ในระบบไฟฟ้ากำลังการผลิตไฟฟ้าจะมีสัญญาณแรงดันเป็นรูปคลื่นไอน์ และเมื่อเกิดความผิดพร่องขึ้นในระบบกระแสลัดวงจรก็จะมีรูปคลื่นสัญญาณไอน์ ดังนั้นเราจึงใช้รูปคลื่นของแรงดันและกระแสเป็นไอน์ในการวิเคราะห์กระแสลัดวงจร



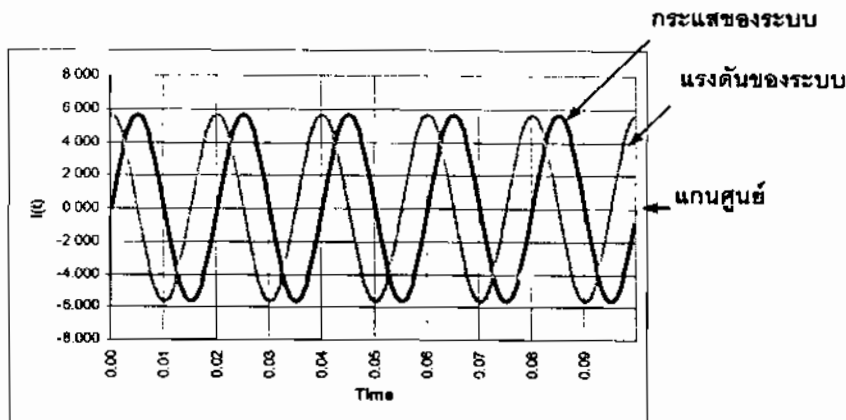
ภาพที่ 2-6 ໂຄະແກຣມแสดงของระบบไฟฟ้าเมื่อเกิดฟอลต์ในระบบ



ภาพที่ 2-7 เวกเตอร์ໄໂຄະແກຣມของแรงดันและกระแสจากอัตราส่วนของวงจร (ไม่คิดໂໂหลດ)

เมื่อพิจารณาของระบบไฟฟ้าดังภาพที่ 2-6 ตัวระบบมีความด้านทานน้อยกว่า $\frac{1}{10}$ เท่าของรีแอคเคนซ์ เราสามารถตัดค่าของความด้านทานออกได้ ดังนั้นมีการเกิดความผิดพร่องขึ้นซึ่งมีผลให้มุมเพาเวอร์แฟกเตอร์ที่หายไปจากอัตราส่วนของความด้านทานและรีแอคเคนซ์เฉพาะของวงจร (ไม่คิดໂໂหลດ) มีค่าไอกลีดีอง 90° ด้วยเหตุนี้กระแสลัดวงจรของวงจรจึงล้าหลังแรงดันภายในเครื่องกำเนิดไฟฟ้าประมาณ 90° (ตามเวกเตอร์ໄໂຄະແກຣມ) ดังภาพที่ 2-7

ถ้าวงจรในระบบไฟฟ้ามีรีแอคเคนซ์เป็นหลักและเมื่อเกิดลัดวงจรที่ค่ายอดของรูปคลื่นแรงดันดังนั้นกระแสลัดวงจรจึงเริ่มต้นที่มุนศูนย์และจะมีรูปคลื่นไอน์ที่สมมาตรรอบแกนศูนย์ ดังภาพที่ 2-8 ซึ่งกระแสลัดวงจนี้คือ กระแสลัดวงจรสมมาตร (Symmetrical Short-Circuit Current)



ภาพที่ 2-8 กระแสลักษณะสมมาตรและแรงดันของระบบที่มีเพาเวอร์แฟกเตอร์เท่ากับศูนย์

ถ้าวงจรของระบบไฟฟ้าเดียวกันเกิดลักษณะขึ้นที่จุดศูนย์ของรูปคลื่นแรงดัน กระแสลักษณะที่เริ่มต้นที่จุดศูนย์เข่นกัน แต่ไม่สามารถเป็นรูปคลื่นไขว้ที่สมมาตรรอบแกนศูนย์ เพราะถ้าเป็นเช่นนั้นกระแสลักษณะจะจะมีเฟสเดียวกันกับแรงดัน ซึ่งความเป็นจริงแล้วรูปคลื่นของกระแสลักษณะจะเหมือนกับแรงดันแต่มีมุมไฟล้าหักงออยู่ 90° ดังนั้นรูปคลื่นของกระแสลักษณะจะสามารถที่จะเกิดขึ้นเพียงรูปแบบเดียวคือ ไม่สมมาตรรอบแกนศูนย์และเป็นรูปคลื่นไขว้ที่ล้าหลังแรงดันเป็นมุม 90°

ในการผิดที่เกิดความผิดพร่องขึ้นที่จุดใดๆ ของรูปคลื่นแรงดันยกเว้นที่ค่าของของรูปคลื่นแรงดัน จะมีผลทำให้รูปคลื่นของกระแสลักษณะมีค่าอฟเซ็ต (Offset) ค่าอฟเซ็ตขึ้นอยู่กับจุดใดบนรูปคลื่นแรงดันที่เกิดความผิดพร่องจนถึงจุดของเซ็ตสูงสุด สำหรับกรณีที่วงจรของระบบประกอบทั้งรีแอคแทนซ์และความต้านทานค่าอฟเซ็ตของกระแสลักษณะจะมีการเปลี่ยนแปลงเมื่อมองกับวงจรที่รีแอคแทนซ์เพียงอย่างเดียวแต่ในทางปฏิบัติส่วนประกอบกระแสตรงจะลดลงตามเวลาอย่างรวดเร็ว

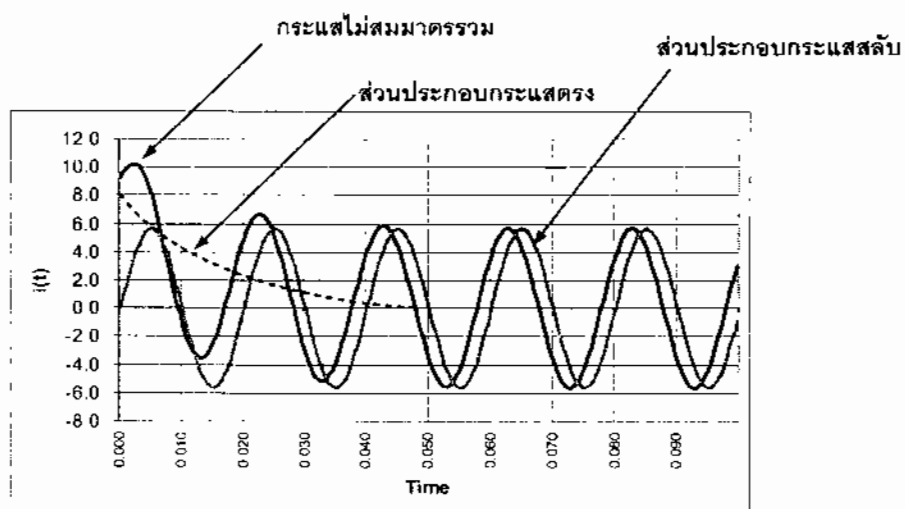
2.6 ส่วนประกอบกระแสตรงของกระแสลักษณะไม่สมมาตร (D.C. Component of Asymmetrical Short – Circuit Currents) [1, 2, 3, 4]

ในความเป็นจริงกระแสลักษณะแบบไม่สมมาตรที่ถูกต้องนั้นจะประกอบด้วย กระแส 2 ส่วน ใหมล ไนเวลเดียวกัน คือส่วนแรกเป็นส่วนประกอบกระแสลับที่เป็นรูปแบบสมมาตรกับแกนศูนย์ และอีกส่วนหนึ่งเป็นส่วนประกอบกระแสตรง โดยผลรวมของกระแสทั้งสองส่วนที่ ณ เวลา

ได้จะเท่ากับขนาดของรูปคลื่นกระแสสัลบ์ไม่สมมาตรรวมที่เวลาเดียวกันจะได้ผลลัพธ์เป็นรูปคลื่นของกระแสไม่สมมาตร

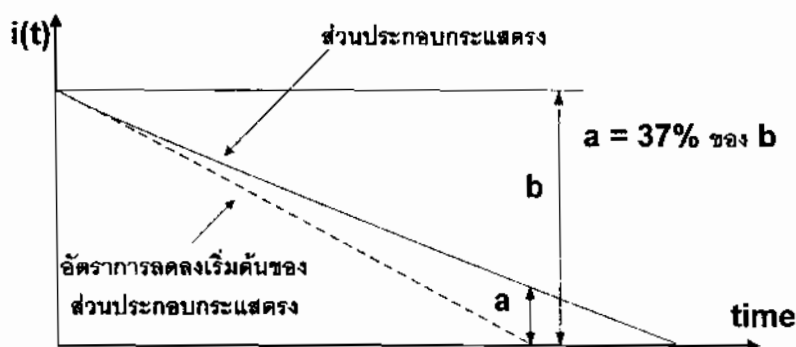
2.6.1 ค่าเริ่มต้นของส่วนประกอบกระแสตรง (Initial Magnitude of D.C. Component) ค่าเริ่มต้นของส่วนประกอบกระแสตรงขึ้นอยู่กับจุดที่เกิดความผิดพร่อง และอาจเปลี่ยนแปลงจากค่าศูนย์ไปจนถึงค่าเริ่มต้นสูงสุดซึ่งเท่ากับค่ายอดของส่วนประกอบกระแสสัลบ์ หรือจุดใดจุดหนึ่งบนรูปคลื่นของส่วนประกอบกระแสสัลบ์ ในความเป็นจริงเมื่อเวลาผ่านไปขนาดของส่วนประกอบกระแสตรงจะลดลงโดยไม่เหลือที่อย่างต่อเนื่อง นอกเสียจากการในระบบมีค่าความด้านท่านเป็นศูนย์

2.6.2 ค่าความลดลงของส่วนประกอบกระแสตรง (Decrement of D.C. Component) ในปกติระบบไฟฟ้ากำลังจะไม่มีเหล่งจ่ายไฟฟ้ากระแสตรงที่จ่ายให้กับการไฟฟ้าของกระแสตรงด้วยเหตุนี้ พลังงานในรูปของส่วนประกอบกระแสตรงของกระแสที่ไฟฟ้าจะเป็นกำลังสูญเสีย $\tau^2 R$ โดยผ่านทางความด้านท่านของวงจร และถ้าวงจร มีความด้านท่านเป็นศูนย์กระแสตรงก็จะไฟฟ้าด้วยค่าคงที่ จนกระแสทั้งตัววงจรนี้ออกจากกระแส อย่างไรก็ตามวงจรในทางปฏิบัติทั้งหมดด้องมีความด้านท่านอยู่ ดังนั้นส่วนประกอบกระแสตรงก็จะลดลงไปตามเวลา และการรวมกันของส่วนประกอบกระแสตรงที่ลดลง และส่วนประกอบกระแสสัลบ์สมมาตรจะทำให้รูปคลื่นกระแสไม่สมมาตรเปลี่ยนเป็นรูปคลื่นสมมาตร เมื่อส่วนประกอบกระแสตรงหมดไป อัตราการลดลงของกระแสตรงนี้เรียกว่า “การลดลงของส่วนประกอบกระแสตรง”



ภาพที่ 2-9 รูปคลื่นของการลดลงของส่วนประกอบกระแสตรงและกระแสลักษณะไม่สมมาตรจะมีรูปคลื่นเป็นสมมาตรเมื่อส่วนประกอบกระแสตรงหมดไป

2.6.3 เวลาคงที่ของกระแสตรง (D.C. Time Constant) จากอัตราส่วนการลดลงของส่วนประกอบกระแสตรงจะมีส่วนของเวลาคงที่ ซึ่งเป็นเวลาที่ต้องการสำหรับการลดลงของส่วนประกอบกระแสตรงประมาณ 37 % ของค่าเริ่มต้น เมื่อกีดความผิดพร่องขึ้น เวลาคงที่นี้คือ อัตราส่วนของอนคักแทนซึ่งมีหน่วยเป็นไฮนรี (Henry: H) ต่อความด้านทานมีหน่วยเป็นโอมของวงจรหรือเครื่องจักรกลไฟฟ้า หรือเป็นเวลาสำหรับส่วนประกอบกระแสตรงลดลงเป็นศูนย์ ถ้า มันยังคงลดลงด้วยอัตราเดียวกันกับอัตราลดลงของค่าเริ่มต้นดังภาพที่ 2-10



ภาพที่ 2-10 เวลาคงที่สำหรับการลดลงของกระแสตรง

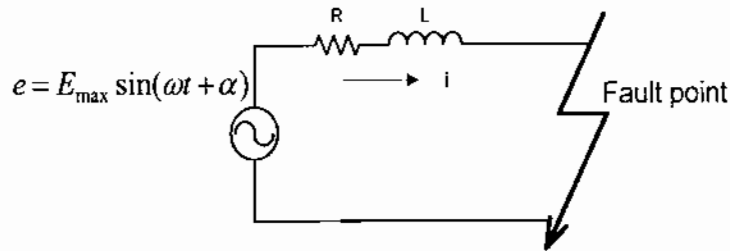
2.6.4 ค่าประสิทธิผลรวมส่วนประกอบกระแสตรง (RMS Value Including D.C. Component) ค่าประสิทธิผลของรูปคลื่นกระแสสลับจะมีความสำคัญต่อการกำหนดพิกัดของเซอร์กิต เมรคเกอร์ ฟิล์ส และมอเตอร์สตาร์เตอร์ในเทอมของการแสปประจำสิทธิผลหรือเควีอสมนูล(Equivalent kVA) ค่าประสิทธิผลสูงสุดของกระแสสลับจะเกิดขึ้นที่เวลาประมาณ 1 ไซเคิลหลังเกิดความผิดพร่อง ดังภาพที่ 2-10 ถ้าไม่มีการลดลงของส่วนประกอบกระแสตรงค่าประสิทธิผลในไซเคิลแรกของการแสปจะมีค่า 1.732 เท่าของค่าประสิทธิผลส่วนประกอบกระแสสลับแต่ว่าในทางปฏิบัติจะมีการลดลงของกระแสตรงในช่วงไซเคิลแรกเสมอ สำหรับค่าประสิทธิผลโดยประมาณของรูปคลื่นօฟเฟซ 1 ไซเคิล ไม่ว่าจะเป็นօฟเฟซบางส่วนหรือօฟเฟซทั้งหมดคือ

$$C = \sqrt{a^2 + b^2} \quad (2-1)$$

เมื่อ C คือ ค่าประสิทธิผลของรูปคลื่นօฟเฟซหรือกระแสไม่สมมาตรมากกว่า 1 ไซเคิล
 a คือ ค่าประสิทธิผลของส่วนประกอบกระแสสลับ

b คือ ค่าของส่วนประกอบกระแสคงที่ในเคิลกรี๊ง

2.7 สถานะกรณานเชิงค์ของเครื่องกำเนิดไฟฟ้าขณะเกิดฟอลต์ 3 เฟส (Generator Transients During a Three- Phase Fault) [4, 5, 6]



ภาพที่ 2-11 เครื่องกำเนิดไฟฟ้าซึ่งโครงสร้างที่เกิดฟอลต์แบบสามคูลโดยให้อินดักแทนซึ่นค่าคงที่

เมื่อ α คือ มุมเลี้ยวเฟสของเครื่องกำเนิดไฟฟ้าของระบบ

จากภาพที่ 2-11 สมมุติให้เกิดฟอลต์แบบสามคูลขึ้นที่เครื่องกำเนิดไฟฟ้าที่เวลา $t = 0$ ดังนั้น สมการของแรงดันชั่วขณะสำหรับเครื่องกำเนิดไฟฟ้าคือ

$$\begin{aligned} Ri + L \frac{di}{dt} &= Em \sin(\omega t + \alpha) \\ &= Em(\sin \omega t \cos \alpha + \sin \alpha \cos \omega t) \end{aligned} \quad (2-2)$$

จากสมการที่ 2-2 เป็นสมการดิไฟฟ์เรนเซียลที่อยู่ในโดเมนเวลา (Time Domain) สามารถทำได้โดยวิธีการแปลงลาปลาช์ให้เป็นสมการพีชคณิตในโดเมนความถี่เชิงซ้อน (Complex Frequency Domain) ดังนี้

$$\begin{aligned} I(s)(R + Ls) &= Em \left[\cos \alpha \left(\frac{\omega}{s^2 + \omega^2} \right) + \sin \alpha \left(\frac{s}{s^2 + \omega^2} \right) \right] \\ I(s) &= Em \left[\frac{s(\sin \alpha) + \omega(\cos \alpha)}{(s^2 + \omega^2)(R + Ls)} \right] \end{aligned}$$

$$I(s) = \frac{Em}{L} \left[\frac{As + B}{s^2 + \omega^2} + \frac{C}{s + \frac{R}{L}} \right] \quad (2-3)$$

จากสมการที่ 2-3 เป็นสมการลากล้าชที่อยู่ในรูปแบบของเศษส่วนย่อย (Partial - Fraction Form) เพื่อความสะดวกเราจะอินเวอร์สสมการนี้กลับให้อยู่ในโคลเมนเวลาได้โดยการใช้ตารางลากล้าชสำหรับค่าคงที่ A, B และ C นี้ค่าดังนี้

$$\text{เมื่อ } A = \frac{L}{Z} \sin(\alpha - \theta), \quad B = \frac{\omega L}{Z} \cos(\alpha - \theta) \text{ และ } C = -\frac{L}{Z} \sin(\alpha - \theta)$$

$$\text{และ } Z = \sqrt{R^2 + (\omega L)^2} \quad \text{และ } \theta = \arctan \frac{\omega L}{R}$$

แทนค่า A, B และ C ลงในสมการที่ (2-3) จะได้

$$\begin{aligned} I(s) &= \frac{Em}{L} \left[\frac{s \frac{L}{Z} \sin(\alpha - \theta)}{s^2 + \omega^2} + \frac{\frac{\omega L}{Z} \cos(\alpha - \theta)}{s^2 + \omega^2} - \frac{\frac{L}{Z} \sin(\alpha - \theta)}{s + \frac{R}{L}} \right] \\ &= \frac{Em}{L} \left[\sin(\alpha - \theta) \left(\frac{s}{s^2 + \omega^2} \right) + \cos(\alpha - \theta) \left(\frac{\omega}{s^2 + \omega^2} \right) - \frac{\sin(\alpha - \theta)}{s + \frac{R}{L}} \right] \end{aligned}$$

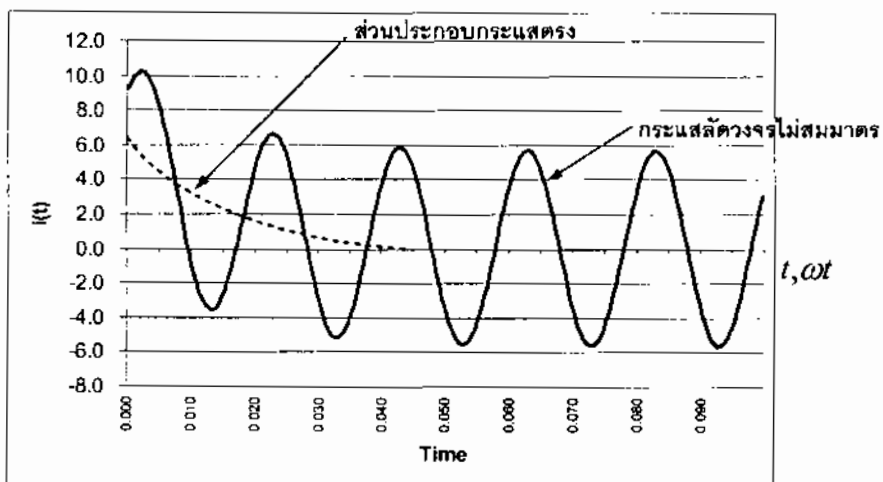
จากการอินเวอร์สสมการแปลงลากล้าชจะได้สมการกระแสในโคลเมนเวลาดังนี้

$$\begin{aligned} i(t) &= \frac{Em}{Z} \left[\sin(\alpha - \theta) \cos \omega t + \cos(\alpha - \theta) \sin \omega t - \sin(\alpha - \theta) e^{-Rt/L} \right] \\ &= \frac{Em}{Z} \left[\sin(\omega t + \alpha - \theta) - \sin(\alpha - \theta) e^{-Rt/L} \right] \end{aligned} \quad (2-4)$$

จะเห็นได้ว่ากระแสทรานเซิร์ฟที่ขึ้นอยู่กับมุม α ของรูปคลื่นแรงดันในขณะที่เกิดลักษณะที่เวลา $t = 0$ โดยเทอมแรกของสมการที่ 2-4 จะแปรไปตามเวลาด้วยฟังก์ชันไขมุซอยด์ ซึ่งเป็นเทอม

ของกระแสคงที่ (Steady State Current) หรือส่วนของกระแสลับสมมติ ส่วนเทอนที่สองเป็น พังก์ชันที่ไม่เป็น周期 (Nonperiodic) และมีค่าคล่องในลักษณะของเอ็กซ์โพเนนเชียล (Exponential) ด้วยเวลาคงที่ของ $\frac{L}{R}$ ซึ่งเป็นเทอนของส่วนประกอบกระแสตรง แล้วจะไม่เกิดส่วนประกอบ

กระแสตรงขึ้น ถ้าการผิดพร่องเกิดขึ้นที่จุดศูนย์ของรูปคลื่นแรงดันคือ $(\alpha - \theta) = 0^\circ$ หรือ $(\alpha - \theta) = 180^\circ$ ดังภาพที่ 2-4 ได้แสดงการเปลี่ยนแปลงของกระแสตามเวลาที่สอดคล้องกับสมการที่ 2-4 เมื่อ $(\alpha - \theta) = 0^\circ$ จึงทำให้กระแสลักษณะที่จุดนี้เป็นกระแสลักษณะที่สมมติ และถ้าการลักษณะเกิดขึ้นที่จุดค่าข้อดของรูปคลื่นแรงดันคือ ที่มุน $\pm 90^\circ$ จะทำให้ส่วนประกอบกระแสตรงมีค่าสูงสุดซึ่งจะมีค่าเท่ากับค่าสูงสุดของส่วนประกอบไซน์อยด์ ดังภาพที่ 2-12 แสดงกระแสเปลี่ยนแปลงตามเวลาเมื่อ $(\alpha - \theta) = -90^\circ$ ส่วนประกอบกระแสตรงอาจมีค่าใดๆ ได้ท่อสูงระหว่างศูนย์ถึงค่าสูงสุดเท่ากับ $\frac{E_{max}}{Z}$ ขึ้นอยู่กับการเกิดความผิดความพร่องขึ้นที่จุดควบคุมรูปคลื่นแรงดันและค่าเพาเวอร์แฟคเตอร์ของวงจร



ภาพที่ 2-12 รูปคลื่นของกระแสเกิดการลักษณะที่เวลา $t = 0$ สำหรับมุน $(\alpha - \theta) = -90^\circ$ เมื่อ

$$\theta = \tan^{-1} \left(\frac{\omega L}{R} \right) \text{ และมีแรงดัน } E_{max} \sin(\omega t + \alpha)$$

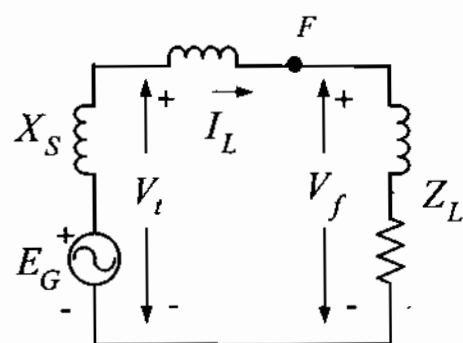
จากรูปคลื่นของกระแสในภาพที่ 2-12 เป็นรูปกระแสลักษณะไม่สมมติให้อินดักแคนซ์ (L) ของเครื่องกำเนิดไฟฟ้ามีค่าคงที่ ซึ่งทางปฏิบัติจะไม่เป็นจริงอย่างที่สมมตินี้ การพิจารณาส่วนประกอบกระแสตรงจะมีผลต่อการเลือกเซอร์กิตเบรกเกอร์ โดยผลกระทบของส่วนประกอบกระแสตรงทำให้ต้องเพิ่มขนาดของเซอร์กิตตัวขากลุ่มน้ำด้วย

กับแฟกเตอร์การคูณ (Multiplying Factor) แฟกเตอร์การคูณนี้จะมีค่าระหว่าง 1.0 ถึง 1.6 ขึ้นอยู่กับชนิดและความเร็วของเซอร์กิตเบรกเกอร์ที่นำมาใช้งาน

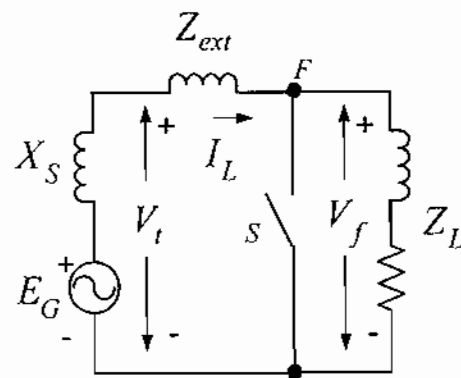
ในการผิดของเครื่องกำเนิดไฟฟ้าซึ่งโครงสร้างโดยทั่วไปชั้บทราบเชิงตัวเรอแกนซ์ของเครื่องกำเนิดไฟฟ้าและมอเตอร์จะนำไปใช้ห้ามกระแสที่เริ่มต้นเมื่อเกิดความผิดพร่องขึ้นและสามารถดำเนินการกระแสเริ่มต้นนี้ไปทางอินเตอร์รูปดึงค่าปานกลาง (Interrupting Capacity) ของเซอร์กิตเบรกเกอร์ ใน การใช้งานนั้นชั้บทราบเชิงตัวเรอแกนซ์จะใช้กับเครื่องกำเนิดไฟฟ้า และทราบเชิงตัวเรอแกนซ์จะใช้กับมอเตอร์ซึ่งโครงสร้าง

2.8 แรงดันภายในของเครื่องจักรกลไฟฟ้าที่มีโหลดภายใต้เงื่อนไขสภาวะทราบเชิงตัว (Internal Voltage of Loaded Machines Under Transient Condition) [1, 2, 3, 4, 5]

2.8.1 การหากระแสฟอลต์ด้วยแรงดันภายในเครื่องจักรกลไฟฟ้า การคำนวณโดยวิธีนี้โดยหลักการต้องหาค่าแรงดันภายในเครื่องจักรกลไฟฟ้าที่สร้างจากสนามแม่เหล็กในโรเตอร์ให้ทุกเครื่องจักรในระบบแล้วหลังจากนั้นใช้หลักการของชูเปอร์โพไซชัน (Superposition) หากกระแสลัดวงจรรวมที่ได้จากการรวมกันของกระแสลัดวงจรที่เกิดจากแรงดันแต่ละเครื่องจักร



ภาพที่ 2-13 วงจรสมมูลของเครื่องกำเนิดไฟฟ้าที่จ่ายโหลดในสภาวะอยู่ตัว



ภาพที่ 2-14 วงจรสมมูลสำหรับการคำนวณหากระแสไฟฟ้าหลังเสียดับหัวน่านเชิงตัว

จากภาพที่ 2-13 และ ภาพที่ 2-14 จะพิจารณาเครื่องกำเนิดไฟฟ้าซึ่งเป็นวงจรสมมูลของเครื่องกำเนิดไฟฟ้าที่ต่ออยู่กับโหลด 3 เพลสสมดุลโดยกำหนดให้

E_G กือ แรงดันของเครื่องกำเนิดไฟฟ้าขณะไม่มีโหลด

V_f กือ แรงดันที่ขั้วของเครื่องกำเนิดไฟฟ้า

V_f กือ แรงดันก่อนเกิดความผิดพร่อง (Prefault Voltage) ที่จุด F

I_L กือ กระแสที่โหลดในวงจรก่อนเกิดฟอล์ตที่จุด F

Z_{ext} กือ อินพิแคนซ์ภายนอกที่ต่อระหว่างขั้วของเครื่องกำเนิดไฟฟ้าและจุด F ที่เกิดฟอล์ต

จากการสมมูลของเครื่องกำเนิดไฟฟ้าซึ่งโครงสร้างประกอบด้วยแรงดันของเครื่องกำเนิดไฟฟ้าขณะไม่มีโหลด E_G ที่มีจังโครงสร้างแยกแทนซ์ X , ต่ออนุกรมอยู่ด้านเกิดฟอล์ตเบนวเฟสขึ้นที่จุด F จากการสมมูลเราจะเห็นว่าเกิดความผิดพร่องระหว่างจุด F กับจุดนิวทรัล จะไม่รวมถึงการคำนวณกระแสลัดวงจรชับหัวน่านเชิงตัวจะคำนวณกระแสชับหัวน่านเชิงตัว I_f'' , ที่จำเป็นต้องใช้รีแอคแทนซ์ของเครื่องกำเนิดไฟฟ้าเป็น X''_d , หรือด้านจะคำนวณกระแสชับหัวน่านเชิงตัว I_f' , ที่จำเป็นต้องใช้รีแอคแทนซ์ของเครื่องกำเนิดไฟฟ้าเป็น X'_d .

จากภาพที่ 2-14 เป็นวงจรสำหรับคำนวณกระแสฟอล์ตเมื่อสวิตช์ S เปิดอยู่ วงจรจะมีแรงดัน E_G ต่ออนุกรมกับ X''_d โดยจะมีกระแสภายนอกอยู่ด้วย I_L โหลดในวงจรและเมื่อสวิตช์ S ปิดจะทำให้กระแสลัดวงจรไหลผ่าน X''_d และ Z_{ext} โดยด้านห้ามแรงดัน E''_G ได้กระแสที่โหลดผ่าน X''_d นี้ก็คือ กระแสชับหัวน่านเชิงตัว I_f'' ,

พิจารณาภาพที่ 2-14 จะเห็นว่าเมื่อสวิตช์ S เปิดอยู่จะสามารถเขียนสมการของวงจรได้คือ

$$E''_G = V_t + jI_L X''_d \quad (2-5)$$

เมื่อ E''_G คือ แรงดันชั้นทรานเซียนต์ภายใน (Subtransient Internal Voltage) ของเครื่องกำเนิดไฟฟ้า

การคำนวณหากระแสทรานเซียนต์ I'_f ที่ไหลผ่าน X'_d จะมีสมการของแรงดันเป็นดังสมการที่ 2-6

$$E'_G = V_t + jI_L X'_d \quad (2-6)$$

เมื่อ E'_G คือ แรงดันทรานเซียนต์ภายใน (Transient Internal Voltage) ของเครื่องกำเนิดไฟฟ้า

แรงดัน E''_G และ E'_G สามารถหาได้ด้วย I_L และแรงดันทั้งสองจะเท่ากับแรงดันขณะไม่มีโหลด E_G ก็ต่อเมื่อ $I_L = 0$ ดังนั้น E_G ก็จะมีค่าเท่ากับ V_t และในการนิยามอเตอร์ซิงโตรนัส ก็จะมีชนิดของวิธีออกแบบนี้เหมือนกับเครื่องกำเนิดไฟฟ้า เมื่อมอเตอร์เกิดความผิดพร่องมอเตอร์ก็จะไม่ได้รับพลังงานจากแหล่งจ่าย แต่สามารถแม่เหล็กในตัวมอเตอร์ก็ยังคงอยู่และโรเตอร์ก็ยังคงหมุน ด้วยความเร็วอยู่ช่วงระยะเวลาหนึ่ง ดังนั้นมอเตอร์จะมีคุณลักษณะเหมือนกับเครื่องกำเนิดไฟฟ้า และจ่ายกระแสเข้าสู่ระบบ โดยการเปรียบเทียบความสอดคล้องของสมการของเครื่องกำเนิดไฟฟ้า จะทำให้สามารถหาแรงดันชั้นทรานเซียนต์ภายในและแรงดันทรานเซียนต์ภายในของมอเตอร์ได้ดังนี้

$$E''_m = V_t + jI_L X''_d \quad (2-7)$$

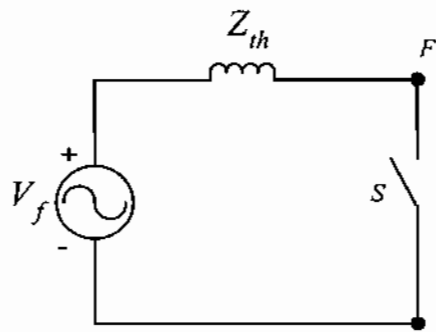
$$E'_m = V_t + jI_L X'_d \quad (2-8)$$

เมื่อ E''_m คือ แรงดันชั้นทรานเซียนต์ภายในของมอเตอร์

E'_m คือ แรงดันทรานเซียนต์ภายในของมอเตอร์

2.8.2 การหากระแสฟอลเดอร์ด้วยการใช้ทฤษฎีของเทวินนิน การคำนวณหากระแสลัดวงจรที่จุดต่างๆ ภายในระบบโดยอาศัยแรงดันภายในเครื่องจักรแต่ละชุด ถ้าเป็นระบบใหญ่ๆ จะเสียเวลามาก เช่นระบบที่มีเครื่องจักร 60 ชุด จำเป็นต้องคำนวณกระแสลัดวงจรที่ไอลานส่วนต่างๆ ของระบบ เนื่องจากแรงดันภายในของเครื่องจักรแต่ละชุดจากวงจรทั้งหมด 60 ชุด ดังนั้นวิธีการคำนวณหากระแสลัดวงจรโดยคิดจากแรงดันภายในของเครื่องจักรจึงไม่เหมาะสมกับสำหรับระบบใหญ่

การคำนวณกระแสลัควงจรของระบบใหญ่ๆ จำเป็นต้องใช้เวลาอีกที่สุดเพื่อไม่ให้สิ้นเปลืองเวลาของคอมพิวเตอร์ ประมวลผลโดยผลิติกผลให้ออกในเกณฑ์ที่ยอมรับได้ ดังนั้นการพิจารณาการใช้เทวินนินมิติกหาระยะลัควงจรในระบบในภาพที่ 2-14 เขียนเป็นวงจรสมมูลเทวินนินได้ดังภาพที่ 2-15



ภาพที่ 2-15 วงจรสมมูลเทวินนินของวงจรภาพที่ 2-14

เมื่อ Z_{th} คือ อิมพีเดนซ์สมมูลเทวินนิน

$$Z_{th} = \frac{(Z_{ext} + jX_d'')Z_L}{(Z_L + Z_{ext} + jX_d'')}$$
 (2-9)

เมื่อเกิดฟอลค์สมนาคร 3 เพสเซ่นที่จุด F โดยการข้าลงเส้นอ่อนการปิดสวิทช์ S สามารถหากระแสขันทรายเชิงเดี่ยวที่จุดเกิดฟอลค์ได้จากสมการ

$$I_f^n = \frac{V_f}{Z_{th}} = \frac{V_f(Z_L + Z_{ext} + jX_d'')}{Z_L(Z_{ext} + jX_d'')}$$
 (2-10)

เมื่อหาค่ากระแส I_f^n ได้สมการหาค่าของแต่ละส่วนของวงจร ได้ด้วยกฎหมายการแบ่งกระแสดังนี้

$$I_{fG} = \frac{Z_L}{(Z_L + Z_{ext} + jX_d'')} I_f^n$$
 (2-11)

$$I_{fL} = \frac{(Z_{ext} + jX_d'')}{(Z_L + Z_{ext} + jX_d'')} I_f^n$$
 (2-12)

เมื่อ I''_G คือ กระแสชั้บทราบเชี่ยนต์รวมที่จุดเกิดฟอลต์

I''_{fG} คือ กระแสชั้บทราบเชี่ยนต์จากส่วนของเครื่องกำเนิดไฟฟ้า

I''_L คือ กระแสชั้บทราบเชี่ยนต์จากส่วนของโหลด

สำหรับกระแสชั้บทราบเชี่ยนต์ I''_{fG} และ I''_L จะเป็นค่าของกระแสฟอลต์จากส่วนของเครื่องกำเนิดไฟฟ้าและโหลดที่ยังไม่ได้รวมค่ากระแสของโหลดก่อนเกิดฟอลต์ ดังนั้นกระแสชั้บทราบเชี่ยนต์จากส่วนต่างๆ ของวงจรเมื่อร่วมค่ากระแสโหลดที่โหลดในวงจรก่อนเกิดฟอลต์สามารถหาได้จากการบวก

$$I''_G = I''_{fG} + I_L \quad (2-13)$$

$$I''_L = I''_{fL} - I_L \quad (2-14)$$

เมื่อ I''_G คือ กระแสชั้บทราบเชี่ยนต์ในเครื่องกำเนิดไฟฟ้า

I''_L คือ กระแสชั้บทราบเชี่ยนต์ในส่วนของโหลด

2.9 การคำนวณกระแสฟอลต์ด้วยบัสอิมพีเดนซ์เมทริกซ์ (Fault Calculation by The Bus Impedance Matrix) [12, 13, 14]

การคำนวณกระแสลัคคุงจานในระบบไฟฟ้ากำลังขนาดใหญ่จำเป็นต้องมีวิธีการที่เหมาะสม เพราะในระบบไฟฟ้ากำลังใหญ่ๆ เราไม่สามารถเขียนไดอะแกรมเส้นเดียวแล้วนำมาคำนวณโดยใช้หลักการของเทวินนินได้ การคำนวณจำเป็นต้องใช้คิดิจิตอลคอมพิวเตอร์เข้ามาช่วยแก้ไขปัญหาแต่ทำอย่างไรจึงจะจัดระบบไฟฟ้าและวิธีการคำนวณให้คอมพิวเตอร์คำนวณการได้ ในการแก้ปัญหาตั้งกล่าวก็ยังใช้หลักการของเทวินนิโนอยู่เพียงแค่ต้องจัดรูปของระบบให้อยู่ในฟอร์มที่จะใช้คอมพิวเตอร์ได้ คือขั้นตอนที่เรียกว่า “Matrix” โดยเมทริกซ์ที่นิยมใช้กันมากและสะดวกที่สุดในการคำนวณกระแสลัคคุงจาน คือ Z_{BUS}

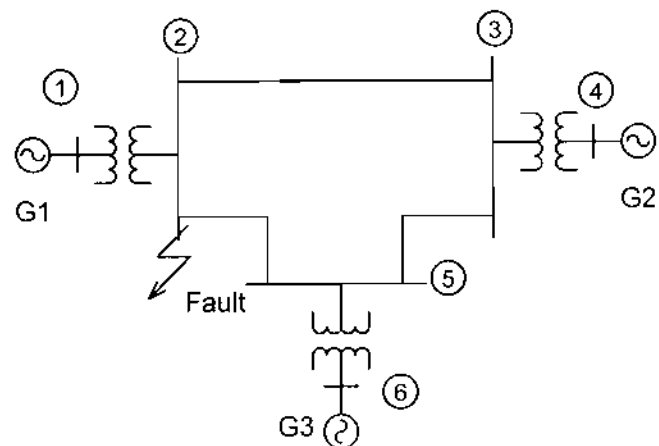
วิธีการคำนวณหา Z_{BUS} จากไดอะแกรมเส้นเดียวของระบบสามารถทำได้หลายอย่าง แต่นักใช้กันมี 2 อย่าง คือ การอินเวอร์ส (Inverse) ของ Z_{BUS} และอีกวิธีคือ การเพิ่มอุปกรณ์เข้าไปทีละอุปกรณ์เพื่อฟอร์ม Z_{BUS} (Add Branch – Add Link) ความสัมพันธ์ของแรงดันไฟฟ้าและกระแสบัสเป็นไปตามสมการที่ 2-15

$$V_{BUS} = Z_{BUS} \times I_{BUS} \quad (2-15)$$

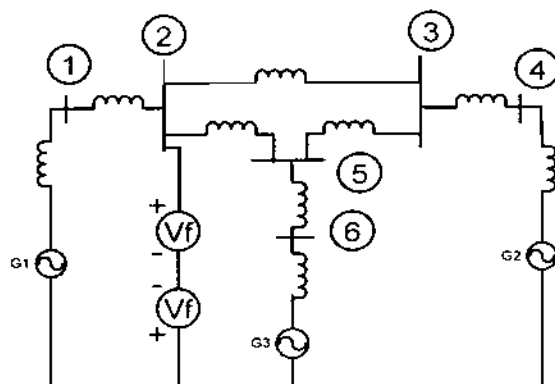
เมื่อ V_{BUS} คือ แรงดันไฟฟ้าที่บัส

I_{BUS} คือ กระแสจากแหล่งจ่ายไฟเข้าที่บัส (บัสใดไม่มีแหล่งจ่ายไฟฟ้าบสนั้นนี้ $I = 0$)

พิจารณาการเปลี่ยนผังจากบัสอินพิดเคนซ์โดยใช้ไดอะแกรมเส้นเดียวของระบบในภาพที่ 2-16 เป็นตัวอย่างซึ่งมีทั้งหมด 6 บัสและสมมุติว่าเกิดลัดวงจรที่บัส 2



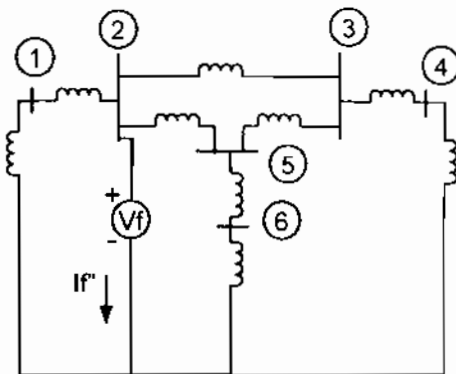
ภาพที่ 2-16 ตัวอย่างของไดอะแกรมเส้นเดียวของระบบทดสอบ



ภาพที่ 2-17 วงจรจำลองของระบบในภาพที่ 2-16

วงจรสมมูลของระบบขณะเกิดลัดวงจรไว้ในภาพที่ 2-17 และวงจรสมมูลเทวินนิสแสดงในภาพที่ 2-18 จะเห็นว่ามีแหล่งจ่ายไฟฟ้าเพียงแหล่งเดียว คือ $-V$, ที่บัส 2 และกระแสลัดวงจร I'' , ที่ไหลดังในรูปจะปรากฏเป็น $-I''$, ใน เมตริกซ์ I_{BUS} เพราะกระแสจะถูกนิยามว่าเป็นกระแสที่ไหล

เข้าบัส ส่วนกระแสในบัสอื่นๆ เป็นศูนย์ เพราะไม่มีแหล่งจ่ายไฟฟ้าในวงจรเทวินนิน ดังนั้นจะได้สมการที่ 2-18



ภาพที่ 2-18 วงจรทวินนินของระบบในภาพที่ 2-16

$$\begin{bmatrix} \Delta V_1 \\ -V_f \\ \Delta V_3 \\ \Delta V_4 \\ \Delta V_5 \\ \Delta V_6 \end{bmatrix} = \begin{bmatrix} Z_{11} & Z_{12} & \cdots & \cdots & Z_{16} \\ Z_{21} & \ddots & & & \vdots \\ \vdots & & \ddots & & \vdots \\ \vdots & & & \ddots & \vdots \\ \vdots & & & & \vdots \\ Z_{61} & \cdots & \cdots & \cdots & Z_{66} \end{bmatrix} \begin{bmatrix} 0 \\ -I''_f \\ 0 \\ 0 \\ 0 \\ 0 \end{bmatrix} \quad (2-16)$$

ดังนั้น

$$I''_f = \frac{V_f}{Z_{22}} \quad (2-17)$$

และ

$$V_1^\Delta = -I''_f Z_{12} = -\frac{Z_{12}}{Z_{22}} V_f \quad (2-18)$$

ในการคำนวณเดียวกัน

$$V_3^\Delta = -I''_f Z_{32} = -\frac{Z_{32}}{Z_{22}} V_f \quad (2-19)$$

เมื่อทำการคำนวณพิศพร่องแหล่งจ่าย $-V_f$ ดังนั้นทำให้มีแรงดันและกระแสในส่วนของวงจรก่อนเกิดฟอลต์ โดยการทับซ้อน (Superposition) จะมีการเพิ่มแรงดันก่อนเกิดฟอลต์ด้วยแรงดันตามสมการที่ 2-18 ถึง สมการที่ 2-19 ทำให้สามารถแรงดันหลังจากการเกิดฟอลต์ได้ โดยปกติจะสมมุติให้วงจรไฟฟ้าไม่มีโหลด จึงไม่มีกระแสในหลักก่อนเกิดฟอลต์และแรงดันทั้งหมดของวงจรไฟฟ้านี้จะ

เหมือนกันหมดและมีค่าเท่ากัน V_f ซึ่งถ้าไม่พิจารณากระแสเกิดฟอลต์ สมการทั่วไปที่ใช้สำหรับหากระแสเมื่อเกิดฟอลต์ที่บัส k ไดๆ คือ

$$I_f = \frac{V_f}{Z_{kk}} \quad (2-20)$$

แรงดันหลังเกิดฟอลต์ที่บัส k คือ

$$V_n = V_f - \frac{Z_{nk}}{Z_{kk}} V_f \quad (2-21)$$

ถ้าพิจารณาแรงดันไฟฟ้าของสภาวะปกติเนื่องจากแรงดันไฟฟ้าในระบบจ่ายโหลดปกติมีค่ามาก ดังนั้นการหาแรงดันไฟฟ้าจะง่ายกว่าการคำนวณผิดพร่องที่จุดต่างๆ ในระบบต้องนำแรงดันไฟฟ้าในวงจรเทวินนินไปรวมกับแรงดันไฟฟ้าตอนจ่ายโหลดด้วยจะได้สมการดังนี้

$$V_{if} = V_n + \Delta V_i \quad (2-22)$$

เมื่อ V_{if} คือ แรงดันไฟฟ้าของบัสที่ i ขณะเกิดความผิดพร่อง
 V_n คือ แรงดันไฟฟ้าของบัสที่ i สภาวะโหลดปกติ

2.10 ส่วนประกอบสมมาตร (Symmetrical Component) [7]

ในการวิเคราะห์ความผิดพร่องแบบไม่สมมาตรนี้จะต้องใช้วิธีการของส่วนประกอบสมมาตรโดยในปี ก.ศ.1918 ชี. แอล. ฟอร์ทีสคู (C.L. Fortescue) ได้เสนอวิธีการสำหรับการแก้ปัญหาระบบที่ไม่สมดุลของ n เฟสเซอร์ที่มีความสัมพันธ์กันด้วยระบบ n เฟสเซอร์ที่สมดุลเรียกว่า ส่วนประกอบเฟสเซอร์เดิม (Symmetrical Components of The Original Phasors) สามารถประยุกต์ใช้กับระบบไฟฟ้า 3 เฟสได้ด้วยเฟสเซอร์ของส่วนประกอบต่อไปนี้

2.10.1 ส่วนประกอบลำดับบวก (Positive-Sequence Components) ประกอบด้วย 3 เฟสเซอร์ที่มีขนาดเท่ากันและมีมุมเฟสแตกต่างกัน 120° โดยมีลำดับเฟส (Phase Sequence) เหมือนกับเฟสเซอร์เดิม

2.10.2 ส่วนประกอบลำดับลบ (Negative - Sequence Component) ประกอบด้วย 3 เฟสเซอร์ที่มีขนาดเท่ากันและมีมุมเฟสแตกต่างกัน 120° และมีลำดับเฟสเซอร์ตรงข้ามกับเฟสเดิม

2.10.3 ส่วนประกอบลำดับศูนย์ (Zero - Sequence Components) ประกอบด้วย 3 เฟสเซอร์ที่มีขนาดเท่ากันและมีมุมเฟสเดียวกัน

สำหรับเฟสเซอร์ของแรงดัน V_a, V_b และ V_c ที่ไม่สมดุล สามารถเขียนให้อยู่ในแทนของส่วนประกอบสมมาตรได้ดังนี้

$$Va = V_{a1} + V_{a2} + V_{a0} \quad (2-23)$$

$$Vb = V_{b1} + V_{b2} + V_{b0} \quad (2-24)$$

$$Vc = V_{c1} + V_{c2} + V_{c0} \quad (2-25)$$

และในทำนองเดียวกันเฟสเซอร์ของกระแส I_a, I_b และ I_c ที่ไม่สมดุลคือ

$$Ia = I_{a1} + I_{a2} + I_{a0} \quad (2-26)$$

$$Ib = I_{b1} + I_{b2} + I_{b0} \quad (2-27)$$

$$Ic = I_{c1} + I_{c2} + I_{c0} \quad (2-28)$$

2.11 ส่วนประกอบสมมาตรของเฟสเซอร์ที่ไม่สมมาตร (The Symmetrical Components of Unsymmetrical Phasors) [1, 2, 3, 4]

หากกำหนดให้เฟส a เป็นเฟสอ้างอิงและดำเนินการใช้ไอยเปอเรเตอร์ a ($a = 1[120^\circ]$) ดังนี้
ส่วนประกอบสมมาตรลำดับบวก ลำดับลบ และลำดับศูนย์ สามารถเขียนความสัมพันธ์ได้ดังนี้

$$\begin{aligned} V_{b1} &= a^2 V_{a1} \\ V_{c1} &= a V_{a1} \\ V_{b2} &= a V_{a2} \\ V_{c2} &= a^2 V_{a2} \\ V_{b0} &= V_{c0} = V_{a0} \end{aligned} \quad (2-29)$$

แทนค่าสมการที่ 2-29 ลงในสมการที่ 2-24 และ 2-25 จะได้

$$Va = V_{a1} + V_{a2} + V_{a0} \quad (2-30)$$

$$Vb = a^2 V_{a1} + a V_{a2} + V_{a0} \quad (2-31)$$

$$Vc = a V_{a1} + a^2 V_{a2} + V_{a0} \quad (2-32)$$

สมการที่ 2-30 ถึงสมการที่ 2-32 เรียกว่าสมการสังเคราะห์ (Synthesis Equation) สามารถเขียนในรูปแบบของเมตริกซ์ได้ดังนี้

$$\begin{bmatrix} Va \\ Vb \\ Vc \end{bmatrix} = \begin{bmatrix} 1 & 1 & 1 \\ 1 & a^2 & a \\ 1 & a & a^2 \end{bmatrix} \begin{bmatrix} V_{a0} \\ V_{a1} \\ V_{a2} \end{bmatrix} \quad (2-33)$$

$$\text{หรือ} \quad [V_{abc}] = [A][V_{012}] \quad (2-34)$$

และนำเมตริกซ์ A ไปอินเวอร์จจะได้ A^{-1} และนำไปคูณทั้งสองข้างของสมการที่ 2-34 จะได้ สมการวิเคราะห์ (Analysis Equation)

$$\begin{bmatrix} V_{a0} \\ V_{a1} \\ V_{a2} \end{bmatrix} = \frac{1}{3} \begin{bmatrix} 1 & 1 & 1 \\ 1 & a & a^2 \\ 1 & a^2 & a \end{bmatrix} \begin{bmatrix} Va \\ Vb \\ Vc \end{bmatrix} \quad (2-35)$$

$$\text{หรือ} \quad [V_{012}] = [A]^{-1} [V_{abc}] \quad (2-36)$$

สำหรับสมการสังเคราะห์และสมการวิเคราะห์ที่อยู่ในเทอมเพสและลำดับของกระแส สามารถเขียนเป็นสมการในรูปของเมตริกซ์ได้ดังนี้

$$\begin{bmatrix} Ia \\ Ib \\ Ic \end{bmatrix} = \begin{bmatrix} 1 & 1 & 1 \\ 1 & a^2 & a \\ 1 & a & a^2 \end{bmatrix} \begin{bmatrix} I_{a0} \\ I_{a1} \\ I_{a2} \end{bmatrix} \quad (2-37)$$

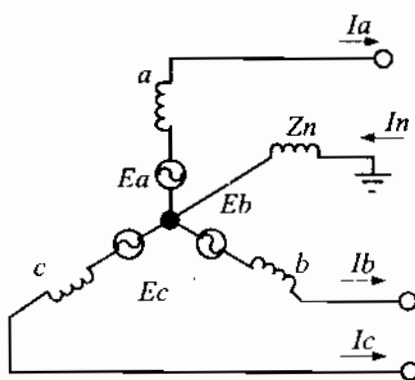
$$\text{หรือ} \quad [I_{abc}] = [A][I_{012}] \quad (2-38)$$

$$\begin{bmatrix} I_{a0} \\ I_{a1} \\ I_{a2} \end{bmatrix} = \frac{1}{3} \begin{bmatrix} 1 & 1 & 1 \\ 1 & a & a^2 \\ 1 & a^2 & a \end{bmatrix} \begin{bmatrix} Ia \\ Ib \\ Ic \end{bmatrix} \quad (2-39)$$

$$\text{หรือ} \quad [I_{012}] = [A]^{-1} [I_{abc}] \quad (2-40)$$

2.12 ลำดับของวงจรไฟฟ้าของเครื่องกำเนิดไฟฟ้าที่ไม่มีโหลด (Sequence Network of Unloaded Generators) [1, 2, 3, 4]

เครื่องกำเนิดไฟฟ้าที่จุดต่อนิวทรัลต่อลงคินโดยผ่านรีแอกแทนซ์และไม่ได้ต่อโหลดไว้ ดังภาพที่ 2-19 เมื่อเกิดฟอลต์ขึ้นที่ขั้วของเครื่องกำเนิดไฟฟ้าจะมีกระแส I_a, I_b และ I_c ถ้าเกิดฟอลต์ที่เกิดขึ้นนั้นเกี่ยวกับดินก็จะมีเกิดกระแส I_n ไหลเข้าสู่ชุดนิวทรัลของเครื่องกำเนิดไฟฟ้า



ภาพที่ 2-19 วงจรของเครื่องกำเนิดไฟฟ้าที่ไม่ได้ต่อโหลด และชุดนิวทรัลต่อลงคินโดยผ่านรีแอกเตอร์แรงดันเหนี่ยวนำในแต่ละเฟส คือ E_a, E_b และ E_c

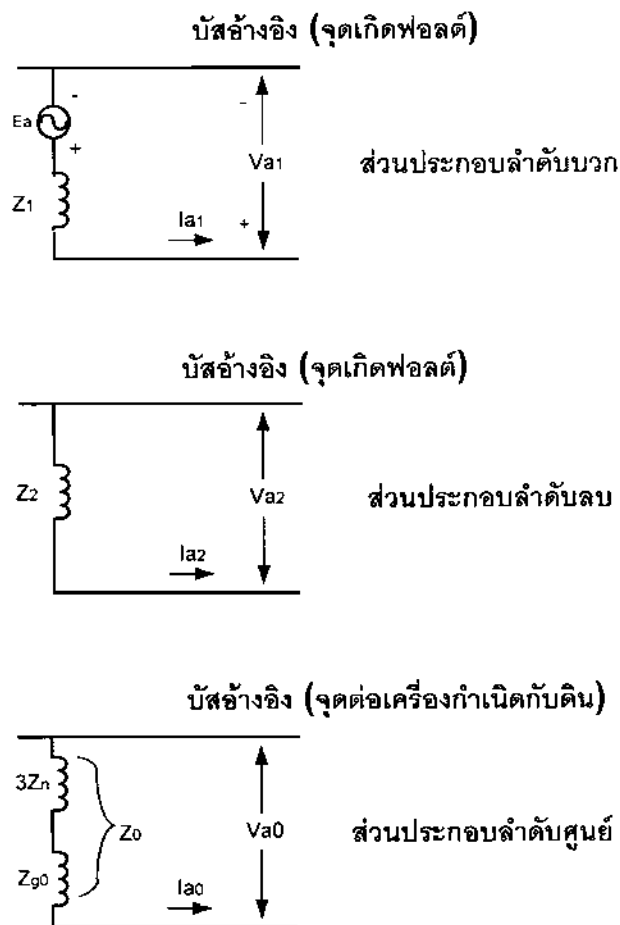
เมื่อเครื่องกำเนิดไฟฟ้าออกแบบให้จ่ายแรงดันให้กับระบบ 3 เฟสที่สมดุล ดังนั้นลำดับของวงจรจะมีส่วนประกอบดังนี้

วงจรลำดับบวก จะประกอบด้วยแรงดันเหนี่ยวนำต่ออนุกรมกับอิมพีเดนซ์ลำดับบวกของเครื่องกำเนิดไฟฟ้า

วงจรลำดับลบ จะไม่มีแรงดันเหนี่ยวนำแต่จะมีเฉพาะอิมพีเดนซ์ลำดับลบของเครื่องกำเนิดไฟฟ้า

วงจรลำดับศูนย์ จะไม่มีแรงดันเหนี่ยวนำแต่จะมีเฉพาะอิมพีเดนซ์ลำดับศูนย์ของเครื่องกำเนิดไฟฟ้า

ลำดับวงจรของเครื่องกำเนิดไฟฟ้าซึ่งจะมีส่วนประกอบของลำดับกระแสได้แสดงในภาพที่ 2-20 กระแสลำดับใดก็จะไหลผ่านอิมพีเดนซ์ที่มีลำดับเหมือนกับกระแสนั้น



ภาพที่ 2-20 การイルของกระแสแต่ละลำดับในเครื่องกำเนิดไฟฟ้าที่สอดคล้องกับลำดับของวงจรไฟฟ้า

ลำดับวงจรไฟฟ้าที่แสดงในภาพที่ 2-20 คือวงจรสมมูลค่าเฟสของวงจร 3 เฟสแบบสมดุลที่มีการพิจารณาการイルของส่วนประกอบสมมานตรของกระแสไม่สมมາตร ดังนั้นสามารถจะนำเอาคุณสมบัติของขั้นตอนเชี้ยนต์เรียกແຕนซ์ ทราบเชี้ยนต์เรียกແຕนซ์ หรือซิงโกรนัสรีเรียกແຕนซ์ มาศึกษาให้อۇيۇيในเงื่อนไขนั้น

บัสอ้างอิง (Reference Bus) สำหรับวงจรลำดับวงจรและลำดับลงก็คือ จุดต่อของเครื่องกำเนิดไฟฟ้า ส่วนวงจรลำดับศูนย์ก็คือ จุดต่อของเครื่องกำเนิดกับคิน

เมื่อ Z_{g0} คืออิมพีเดนซ์ลำดับศูนย์ค่าเฟสของเครื่องกำเนิดไฟฟ้า วงจรลำดับศูนย์จะต้องมีกระแสลำดับศูนย์イルผ่านอิมพีเดนซ์ $3Z_n + Z_{g0}$ ดังนั้นอิมพีเดนซ์ลำดับศูนย์รวม (Total Zero-Sequence Impedance) ที่มีกระแส I_{a0} (กระแสต่อเฟส) イルผ่านคือ

$$Z_0 = 3Z_n + Z_{go} \quad (2-40)$$

โดยทั่วไปการเขียนสมการสำหรับลำดับของวงจรไฟฟ้า จะใช้ส่วนประกอบของแรงดันกระแสในเฟส a สมการสำหรับส่วนประกอบของแรงดันต่อกลุ่มจากจุด a ก้าบส้องอิงคือ

$$V_{a1} = E_a - I_{a1}Z_1 \quad (2-41)$$

$$V_{a2} = -I_{a2}Z_2 \quad (2-42)$$

$$V_{a0} = -I_{a0}Z_0 \quad (2-43)$$

เมื่อ E_a คือ แรงดันขยะไม่มีโหลดสำหรับวงกว้างเป็นแรงดันระหว่างสายกับนิวทรัล

Z_1 คือ อินพีเดนซ์สำหรับวง

Z_2 คือ อินพีเดนซ์สำหรับวงบน

Z_0 คือ อินพีเดนซ์สำหรับวงศูนย์รวม ตามสมการที่ 2-40

2.13 การวิเคราะห์ความผิดพร่องของระบบไฟฟ้ากำลัง (Unsymmetrical Faults on Power System)

2.13.1 การเกิดความผิดพร่องแบบ 3 เฟสสมดุล (Three Phase Balanced Fault) การเกิดความผิดพร่อง 3 เฟสสมดุลขึ้นอยู่กับระบบที่สมมาตรจะมีอินพีเดนซ์ในแต่ละสายเท่ากันและมีกระแสสำหรับวงไหลดในระบบเท่านั้น เมื่อผลต่ออินพีเดนซ์ Z_f ทุกเฟสมีค่าเท่ากัน ดังในภาพที่ 2-21 โดยสมการหาค่าแรงดันที่จุดเกิดความผิดพร่องคือ



ภาพที่ 2-21 ลักษณะการเกิดความผิดพร่องแบบสามเฟสสมดุลและสำหรับไฟฟ้า

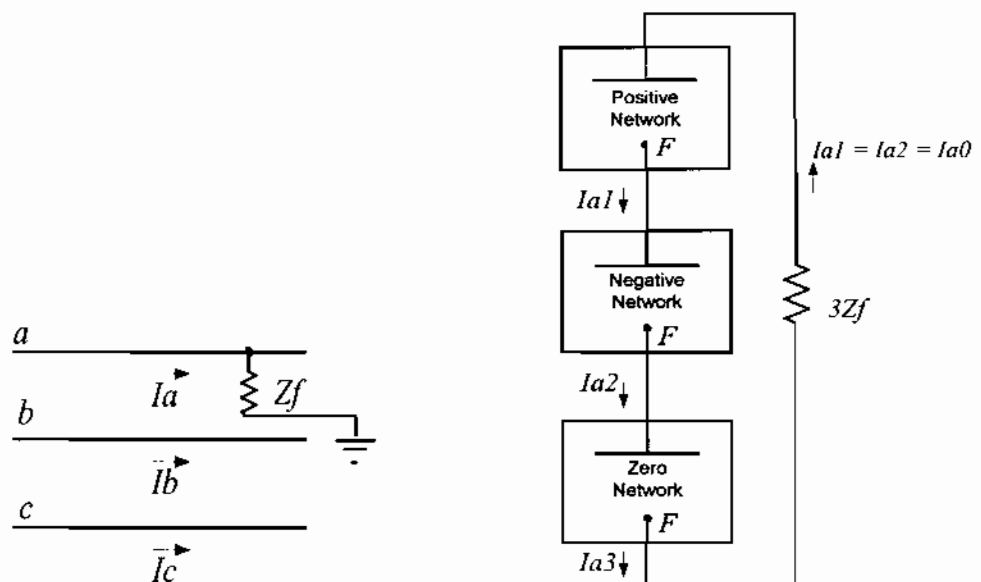
$$V_a = I_a Z_f \quad (2-44)$$

กระแสที่ไหลในระบบจะมีเฉพาะกระแสสำคัญมากเท่านั้น ดังนี้

$$V_{a1} = I_{a1}Z_f = V_f - I_{a1}Z_1 \quad (2-45)$$

$$I_{a1} = \frac{V_f}{Z_1 + Z_f} \quad (2-46)$$

2.13.2 การเกิดความผิดพร่องระหว่างสายกับดินที่ระบบไฟฟ้ากำลัง (Single Line to Ground Fault) การเกิดความผิดพร่องระหว่างสายกับดิน จะพิจารณาเมื่อเกิดความผิดพร่องผ่านอิมพีเดนซ์ Z_f จะมีค่าอิมพีเดนซ์ Z_f อุ่ระหว่างนิวทรัลของเครื่องกำเนิดไฟฟ้ากับดิน นั้นคือจะต้องเพิ่ม $3Z_f$ เข้าไปในวงจรไฟฟ้าสามเฟส ดังภาพที่ 2-22



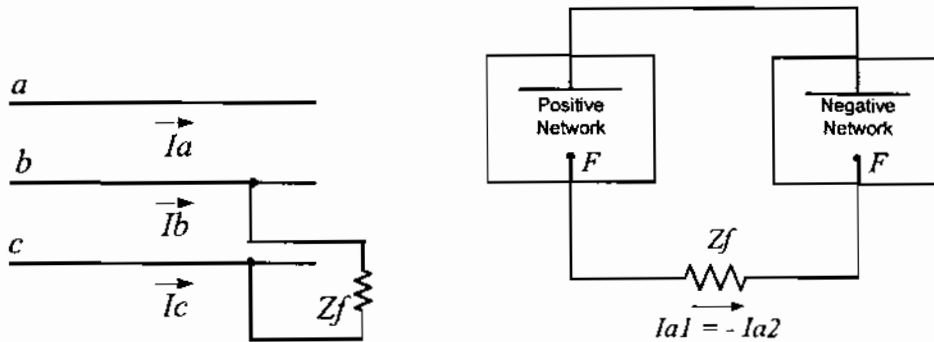
ภาพที่ 2-22 ลักษณะการเกิดความผิดพร่องแบบสายกับดินและลำดับวงจรไฟฟ้า

จะพิจารณาสมการของฟอลต์ระหว่างสายกับดินผ่านอิมพีเดนซ์จะมีสมการส่วนประกอบดังนี้

$$I_{a1} = I_{a2} = I_{a0} \quad (2-47)$$

$$I_{a1} = \frac{V_f}{Z_1 + Z_2 + Z_0 + 3Zf} \quad (2-48)$$

2.13.3 การเกิดความผิดพร่องสายกับสาย (Line to Line Fault) การเกิดฟอลต์ระหว่างสายกับสายผ่านอิมพีเดนซ์ Z_f จะมีเงื่อนไขการเกิดความผิดพร่อง โดยสภาพการเกิดความผิดพร่องสมมุติให้เกิดความผิดพร่องที่เฟส B และ C



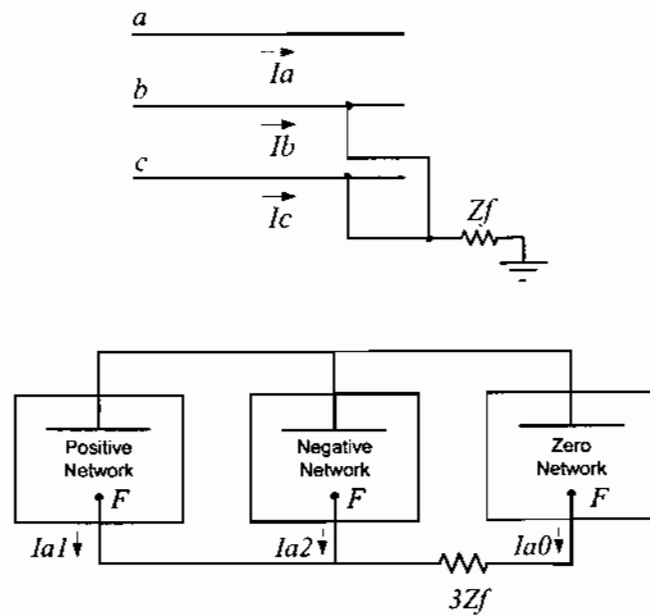
ภาพที่ 2-23 การเกิดความผิดพร่องสายกับสายที่เฟส B และเฟส C และล่าดับวงจรไฟฟ้า

จะพิจารณาสมการของฟอลต์ระหว่างสายกับสายผ่านอิมพีเดนซ์ จะมีสมการส่วนประกอบดังนี้

$$I_{A1} = -I_{A2} = \frac{V_i}{Z_{th1} + Z_{th2} + Z_f} \quad (2-49)$$

$$V_{A1} = V_{A2} = V_i - I_{A1}(Z_{th1} + Z_f) = -I_{A2}(Z_{th2} + Z_f) \quad (2-50)$$

2.13.4 การเกิดความผิดพร่องสองสายกับดิน (Double Line to Ground Fault) การเกิดความผิดพร่องแบบสองสายกับดินผ่านอิมพีเดนซ์ สามารถวิเคราะห์ตามขั้นตอนได้ดังนี้โดยสภาพการเกิดความผิดพร่องสมมุติให้เกิดความผิดพร่องขึ้นที่เฟส B กับ C และลงดิน



ภาพที่ 2-24 ความผิดพร่องแบบสองสายกับดินที่ไฟฟ้า B กับ C และลงดิน และลำดับวงจรไฟฟ้า

จะพิจารณาสมการของฟอลต์ระหว่างสายกับสายผ่านอินพีเดนซ์จะมีสมการส่วนประกอบดังนี้

$$I_{A1} = \frac{V_t}{Z_{th1} + \frac{Z_{th2} \times Z_{th0}}{Z_{th2} + Z_{th0}}} \quad (2-50)$$

$$I_{A2} = -\frac{Z_{th0}}{Z_{th0} + Z_{th2}} \times I_{A1} \quad (2-51)$$

$$I_{A0} = -\frac{Z_{th2}}{Z_{th0} + Z_{th2}} \times I_{A1} \quad (2-52)$$

$$V_{A1} = V_t - I_{A1} Z_{th1} \quad (2-53)$$

$$V_{A2} = -I_{A2} Z_{th2} \quad (2-54)$$

$$V_{A0} = -I_{A0} Z_{th0} \quad (2-55)$$

2.14 ส่วนสรุปเนื้อหา

ระบบไฟฟ้ากำลังเป็นระบบไฟฟ้าที่ประกอบด้วยระบบที่สำคัญ หากเราทราบเกี่ยวกับรายละเอียด หน้าที่การทำงาน แบบจำลอง วงจรสมมนุสและองค์ประกอบในระบบไฟฟ้าแล้ว สามารถทำการวิเคราะห์ระบบไฟฟ้าได้ โดยสิ่งสำคัญอย่างหนึ่งในการวิเคราะห์ระบบไฟฟ้าคือ การ

วิเคราะห์ความผิดพร่องในระบบไฟฟ้า โดยเฉพาะการเกิดความผิดพร่องแบบไม่สมมาตรในระบบไฟฟ้ากำลัง ในหนังสือจะกล่าวถึงทฤษฎีและสมการหลักเท่านั้น จะไม่มีลำดับขั้นตอนการคำนวณละเอียด ในบทที่จะแสดงวิธีการคำนวณกระแสสัมภาระและแรงดันไฟฟ้าในขณะเกิดความผิดพร่อง เป็นขั้นตอนตามสมการ ในด้านการปฏิบัติการวิเคราะห์ความผิดพร่องจะมีด้วยอื่นๆมาเพิ่มในระบบ เช่น โหลดของแต่ละบัส ตำแหน่งการเกิดความผิดพร่องในระบบ การเปลี่ยนแปลงค้านแรงดันไฟฟ้า กำลังไฟฟ้า และโหลดของระบบเป็นต้น ซึ่งมีผลต่อการคำนวณกระแสสัมภาระและแรงดันไฟฟ้า

ดังนั้นการจัดการระบบไฟฟ้าและนำอินพุตค่าเข้ามาคำนวณด้วยจะมีผลต่อการวิเคราะห์ความผิดพร่องที่จะเกิดขึ้นบนระบบของการเกิดความผิดพร่อง โดยหมายเหตุ การระบบไฟฟ้าขนาดใหญ่ทำให้การคำนวณมีความเร็ว ความแม่นยำ และมีประสิทธิภาพในการคูณระบบ รวมถึงการป้องกันระบบ และเลือกใช้อุปกรณ์ป้องกันอย่างเหมาะสม

บทที่ 3

อัลกอริทึมการวิเคราะห์ความผิดพร่องในระบบไฟฟ้ากำลัง

ในงานวิจัยนี้ผู้จัดทำได้ศึกษาทฤษฎีต่างๆที่เกี่ยวกับการวิเคราะห์ความผิดพร่องในระบบไฟฟ้ากำลัง และทดลองการเขียนโปรแกรมขึ้นในรูปแบบต่างๆตามทฤษฎีที่ศึกษามา พบว่าการคำนวณกระแสลัดวงจรแบบไม่สมมาตรในระบบไฟฟ้ากำลังและแรงดันไฟฟ้าที่บัสค่างๆในขณะเกิดความผิดพร่องเป็นสิ่งสำคัญในการป้องกันระบบ ออกแบบระบบและเลือกใช้อุปกรณ์ป้องกันให้เหมาะสมกับระบบไฟฟ้า โดยศึกษาโปรแกรมสำเร็จรูปที่เกี่ยวกับการจำลองระบบไฟฟ้าและโปรแกรมวิเคราะห์ความผิดพร่องในระบบไฟฟ้ากำลัง ซึ่งโปรแกรมจัดสร้างจำลองระบบไฟฟ้าและคำนวณหาค่ากระแสลัดวงจรและแรงดันไฟฟ้าได้สมบูรณ์ทั้งในช่วงชันกรานเชิงต์ หวานเชิงต์ และสภาวะอยู่ตัว ประกอบกับได้ศึกษางานวิจัยในสถาบันที่ได้วิจัยและทำจัดทำขึ้นพบว่าโปรแกรมที่เขียนด้วยภาษาพื้นฐานฟอร์แทรน 77 ที่สามารถพัฒนาได้ต่อเนื่อง และมีเหมาะสมกับการคำนวณทางวิศวกรรมศาสตร์ที่เป็นการคำนวณแบบวนลูป (Loop) หรือ วนซ้ำ ทำให้ศึกษาการเขียนภาษาฟอร์แทรนและคำสั่งต่างๆ และรวมถึงเทคนิคในพัฒนาให้ภาษาฟอร์แทรนนี้ประสมประสิทธิภาพมากขึ้น ประมาณผลเร็วขึ้น มีความถูกต้องมากขึ้น และสิ่งที่จำเป็นในการเขียนโปรแกรมเพื่อวิเคราะห์ความผิดพร่องในระบบจะต้องมีอัลกอริทึมที่สามารถดำเนินไปสร้างโปรแกรมที่สมบูรณ์ต่อไป

ในบทนี้จะเสนออัลกอริทึมที่เขียนโปรแกรมวิเคราะห์ความผิดพร่องในระบบไฟฟ้า โดยจะแบ่งอัลกอริทึมตามฟังก์ชันการทำงานของโปรแกรมย่อยที่เพื่อความสะดวกในการประมวลผลและเรียกใช้งานโปรแกรม

3.1 ฟังก์ชันอินพีเดนซ์เมทริกซ์

ฟังก์ชันนี้จะสร้างอินพีเดนซ์เมทริกซ์จากข้อมูลของระบบที่นำมาทดสอบ โดยนำข้อมูลของสายส่วนประกอบลำดับบวก ลบ และศูนย์ ซึ่งส่วนประกอบลำดับบวก และลบจะมีค่าเท่ากันทุกๆบัส ส่วนประกอบลำดับศูนย์จะมีข้อมูลของสายแยกกัน

โดยในระบบไฟฟ้าที่ใช้วิเคราะห์ตามทฤษฎีจะวิเคราะห์จากข้อมูลพารามิเตอร์ในสายสั่ง แปลงมาเป็นอินพีเดนซ์เมทริกซ์เติ่นทางเป็นจริงในระบบไฟฟ้าจะมีค่าอินดักเตนซ์ ค่าปานิชณ์ และความต้านทานของโหลด ในครึ่งองค์เนิดไฟฟ้า หรือมอเตอร์ซึ่งโครงสร้างในระบบ ซึ่งจะเป็นค่าอินพีเดนซ์ของโหลดรวม และอินพีเดนซ์ของครึ่งองค์เนิดไฟฟ้าในอินพีเดนซ์ของแต่ละบัสใน

ระบบไฟฟ้า ซึ่งแบ่งเป็นคันตามแรงดันไฟฟ้าที่บสันน์ จึงต้องนำค่าเหล่านี้มาคิดในฟังก์ชันอินพีเดนซ์ เมตริกซ์ด้วย

3.1.1 เมตริกซ์ส่วนประกอบลำดับศูนย์ เมตริกซ์ส่วนประกอบลำดับศูนย์จะประกอบด้วยข้อมูล สองส่วน โดยจะนำข้อมูลสายสั่งของส่วนประกอบลำดับศูนย์ และข้อมูลในส่วนประกอบลำดับ ศูนย์ของเครื่องกำเนิดไฟฟ้ามาบวกกันเป็นแอคอมิเตนซ์เมตริกซ์ของส่วนประกอบลำดับศูนย์ใน ระบบ โดยจะมีสมการดังนี้

$$Ybus0_{ii} = \sum_{i=1}^N Ybus0_{ii} + YbusG_{ii} \quad (3-1)$$

เมื่อ $Ybus0_{ii}$ กือ ขนาดของสมาชิกคำแห่งที่ (i,i) ในบัสแอคอมิเตนซ์เมตริกซ์ของ ส่วนประกอบศูนย์

$YbusG_{ii}$ กือ ขนาดของสมาชิกคำแห่งที่ (i,i) ในบัสแอคอมิเตนซ์เมตริกซ์ของเครื่อง กำเนิดไฟฟ้าในระบบ

N กือ จำนวนบัสในระบบ

3.1.2 เมตริกซ์ส่วนประกอบลำดับวง และลำดับลบ ในส่วนประกอบลำดับวงและลบจะ ประกอบด้วยสามส่วนคือจะนำข้อมูลสายสั่งของส่วนประกอบลำดับวงหรือข้อมูลสายสั่งใน ระบบ (Y-Matrix) ข้อมูลในส่วนประกอบลำดับวงของเครื่องกำเนิดไฟฟ้า และค่ากำลังไฟฟ้า แอคทิฟของโหลดและรีแอคทิฟของเครื่องกำเนิดไฟฟ้าที่แต่ละบัส นาบวกกันเป็นแอคอมิเตนซ์ เมตริกซ์ของส่วนประกอบลำดับศูนย์ในระบบ โดยจะมีสมการดังนี้

สมการหาเมตริกซ์กำลังไฟฟ้าแอคทิฟของโหลดและรีแอคทิฟของเครื่องกำเนิดไฟฟ้าที่แต่ละ บัสหาได้จากสมการที่ 3-2

$$Zload_{ii} = \sum_{i=0}^N [PD_i, (-QD_i)] \quad (3-2)$$

เมื่อ $Zload_{ii}$ กือ สมาชิกคำแห่งที่ (i,i) ใน $Zload$ เมตริกซ์

PD_i กือ กำลังไฟฟ้าแอคทิฟของโหลด ที่บัส i

QD_i กือ กำลังไฟฟารีแอคทิฟของเครื่องกำเนิดไฟฟ้า ที่บัส i

N กือ จำนวนบัสในระบบ

นำสมาชิกใน $Zload$ เมตริกซ์มาเปลี่ยนเป็นแอดมิแทನซ์ของเต่อร์ลับัสโดยจะเขียนอยู่กับสัดส่วนของแรงดันที่บัสในสภาวะจ่ายโหลด

$$YLoad_{ii} = \sum_{i=1}^N \frac{Zload_{ii}}{(Vbus_i)^2} \quad (3-3)$$

- เมื่อ $YLoad_{ii}$ ก็อ สมาชิกตำแหน่งที่ (i,i) ใน $YLoad$ เมตริกซ์
- $Zload_{ii}$ ก็อ สมาชิกตำแหน่งที่ (i,i) ใน $Zload$ เมตริกซ์
- $Vbus_i$ ก็อ แรงดันไฟฟ้าในสภาวะโหลดปกติ ที่บัส i
- N ก็อ จำนวนบัสในระบบ

นำ $YLoad$ เมตริกซ์ที่คำนวณได้รวมกับ $Y-Bus$ เมตริกซ์และค่าชั้นเซพเดนซ์ของเต่อร์ลับัสของระบบไฟฟ้านี้ๆ จะได้สมการที่ 3-4

$$YBus1_{ii} = \sum_{i=1}^N YBus_{ii} + YLoad_{ii} + BC1_i \quad (3-4)$$

- เมื่อ $YBus1_{ii}$ ก็อ สมาชิกตำแหน่งที่ (i,i) ใน $YBus1$ เมตริกซ์ของส่วนประกอบลำดับวง
- $YBus_{ii}$ ก็อ สมาชิกตำแหน่งที่ (i,i) ใน $YBus$ เมตริกซ์คืนของระบบ
- $YLoad_{ii}$ ก็อ สมาชิกตำแหน่งที่ (i,i) ใน $YLoad$ เมตริกซ์
- $BC1_i$ ก็อ ค่าชั้นเซพเดนซ์ของระบบไฟฟ้าที่บัส i
- N ก็อ จำนวนบัสในระบบ

เมื่อคำนวณหาแอดมิแทನซ์เมตริกซ์ของส่วนประกอบลำดับวง ลบ ($YBus1$) และ ศูนย์ ($Ybus0$) จะนำหลักการแปลงแอดมิแทನซ์เมตริกซ์เป็นอินเวอเรส์ เมตริกซ์โดยการอินเวอร์ส (Inverse Matrix) แล้วนำไปคำนวณหาระยะผลรวมที่บัสและแรงดันไฟฟ้าที่บัสในขณะที่ความผิดพร่องในระบบไฟฟ้านี้

3.2 ฟังก์ชันคำนวณกระแสสัมภาระและแรงดันไฟฟ้าที่บัสในระบบไฟฟ้ากำลังในสภาพอยู่ตัว

ในฟังก์ชันการคำนวณกระแสสัมภาระที่บัสนั้น จะเป็นการนำค่าอินพีเดนซ์ของส่วนประกอบลำดับวงกuit และคูนท์ที่บัสนั้นๆ แรงดันไฟฟ้าที่บัสจะมาลดปอกติ เพื่อคำนวณหาค่ากระแสสัมภาระในสภาพอยู่ตัว ซึ่งจะแบ่งตามกรณีของการเกิดความผิดพร่อง ดังนี้

3.2.1 กรณีการเกิดความผิดพร่องแบบสมดุลหรือสามเฟสสมดุล จะใช้สมการที่ 3-5 หากระแสสัมภาระที่บัสใดๆ ในระบบ

$$If_i = \frac{VBus_i}{ZBus1_{ii} + Zf} \quad (i = 1, 2, \dots, n) \quad (3-5)$$

เมื่อ If_i คือ กระแสสัมภาระที่บัส i

$VBus_i$ คือ แรงดันไฟฟ้าในสภาพอยู่ตัวที่บัส i

$ZBus1_{ii}$ คือ สมาชิกตำแหน่งที่ (i, i) ใน $ZBus1$ เมทริกซ์ของส่วนประกอบลำดับวงกuit

Zf คือ ค่าอินพีเดนซ์ของการเกิดความผิดพร่อง

n คือ จำนวนบัสในระบบ

สมการคำนวณหาแรงดันไฟฟ้าที่บัสใดๆ ในระบบจะเกิดความผิดพร่องที่บัสใดบัสนั่นๆ หาได้จากสมการที่ 3-6

$$Vf_i = [VBus_i - (ZBus_{ik} \times If_k)] \quad (i = 1, 2, \dots, n) \quad (3-6)$$

เมื่อ Vf_i คือ แรงดันไฟฟ้าในสภาพเกิดความผิดพร่องที่บัส i

$VBus_i$ คือ แรงดันไฟฟ้าในสภาพอยู่ตัวที่บัส i

$ZBus1_{ik}$ คือ สมาชิกตำแหน่งที่ (i, k) ใน $ZBus1$ เมทริกซ์ของส่วนประกอบลำดับวงกuit

If_k คือ ค่าอินพีเดนซ์ของการเกิดความผิดพร่อง

n คือ จำนวนบัสในระบบ

k คือ บัสที่เกิดความผิดพร่อง

3.2.2 กรณีการเกิดความผิดพร่องแบบไม่สมดุลในกรณีสายกับเดิน จะใช้สมการที่ 3-7 หา
กระแสสัมภารที่บัสใดๆ ในระบบ

$$If_i = \frac{3(VBus_i)}{ZBus1_{ii} + ZBus2_{ii} + ZBus0_{ii} + 3(Zf)} \quad (i = 1, 2, \dots, n) \quad (3-7)$$

เมื่อ If_i	คือ กระแสสัมภารที่บัส i
$VBus_i$	คือ แรงดันไฟฟ้าในสภาวะโหลดปกติ ที่บัส i
$ZBus1_{ii}$	คือ สมาชิกตำแหน่งที่ (i, i) ใน $ZBus1$ เมตริกซ์ของส่วนประกอบลำดับวง
$ZBus2_{ii}$	คือ สมาชิกตำแหน่งที่ (i, i) ใน $ZBus2$ เมตริกซ์ของส่วนประกอบลำดับลง
$ZBus0_{ii}$	คือ สมาชิกตำแหน่งที่ (i, i) ใน $ZBus0$ เมตริกซ์ของส่วนประกอบลำดับสูง
Zf	คือ ค่าอิมพีเดนซ์ของการเกิดความผิดพร่อง
n	คือ จำนวนบัสในระบบ

สมการคำนวณหาแรงดันไฟฟ้าที่บัสใดๆ ในระบบจะเกิดความผิดพร่องที่บัสใดบ้างนั่น หา
ได้จากสมการที่ 3-6

3.2.3 กรณีการเกิดความผิดพร่องแบบไม่สมดุลในกรณีสายกับสาย จะใช้สมการที่ 3-8 หา
กระแสสัมภารที่บัสใดๆ ในระบบ

$$If_i = \frac{VBus_i}{ZBus1_{ii} + ZBus2_{ii} + Zf} \quad (i = 1, 2, \dots, n) \quad (3-8)$$

เมื่อ If_i	คือ กระแสสัมภารที่บัส i
$VBus_i$	คือ แรงดันไฟฟ้าในสภาวะโหลดปกติ ที่บัส i
$ZBus1_{ii}$	คือ สมาชิกตำแหน่งที่ (i, i) ใน $ZBus1$ เมตริกซ์ของส่วนประกอบลำดับวง
$ZBus2_{ii}$	คือ สมาชิกตำแหน่งที่ (i, i) ใน $ZBus2$ เมตริกซ์ของส่วนประกอบลำดับลง
Zf	คือ ค่าอิมพีเดนซ์ของการเกิดความผิดพร่อง
n	คือ จำนวนบัสในระบบ

สมการคำนวณหาแรงดันไฟฟ้าที่บัสใดๆ ในระบบจะเกิดความผิดพร่องที่บัสใดบ้างนั่น หา
ได้จากสมการที่ 3-6 และสมการที่ 3-9

$$Vf_i = [-(ZBus_{ik} \times If_i)] \quad (i = 1, 2, \dots, n) \quad (3-9)$$

3.2.4 กรณีการเกิดความผิดพร่องแบบไม่สมดุลในกรณีสองสายกับดินจะใช้สมการที่ 3-10 หากระแส สัมภารท์ที่บัสใดๆ ในระบบ

$$If_i = \frac{VBus_i}{ZBus1_{ii} + \frac{(ZBus2_{ii} \times ZBus0_{ii}) + 3Zf}{(ZBus2_{ii} + ZBus0_{ii}) + 3Zf}} \quad (i = 1, 2, \dots, n) \quad (3-10)$$

เมื่อ If_i ก็คือ กระแสสัมภารท์ที่บัส i

$VBus_i$ ก็คือ แรงดันไฟฟ้าในสภาวะโหลดปกติ ที่บัส i

$ZBus1_{ii}$ ก็คือ สมานซิกต์ตามแน่งที่ (i, i) ใน $ZBus1$ เมตริกซ์ของส่วนประกอบลำดับบวก

$ZBus0_{ii}$ ก็คือ สมานซิกต์ตามแน่งที่ (i, i) ใน $ZBus0$ เมตริกซ์ของส่วนประกอบลำดับศูนย์

Zf ก็คือ ค่าอิมพีเดนซ์ของการเกิดความผิดพร่อง

n ก็คือ จำนวนบัสในระบบ

สมการคำนวณหาแรงดันไฟฟ้าที่บัสใดๆ ในระบบจะมีการเกิดความผิดพร่องที่บัสใดบสหนึ่ง หาได้จากสมการที่ 3-6 และสมการที่ 3-9

3.3 พังก์ชันคำนวณกระแสสัมภารท์ที่บัสในระบบไฟฟ้ากำลังในช่วงกรานเซียนต์

จากพังก์ชันการคำนวณกระแสสัมภารท์ที่บัสในสภาวะอยู่ตัวนี้จะเป็นพังก์ชันเพื่อหาค่าในช่วงที่กระแสสัมภารท์ไม่มีการเปลี่ยนแปลงขนาดหรือรูปร่าง โดยจะเหลือเฉพาะส่วนประกอบกระแสสัมภารท์ที่เปลี่ยนแปลง แต่การวิเคราะห์เกิดความผิดพร่องในระบบไฟฟ้ากำลังจะมีส่วนประกอบกระแสตรงรวมอยู่ในกระแสสัมภารท์ทำให้รูปปัจจุบันของกระแสสัมภารท์เปลี่ยนแปลงรูปร่างตามแกนศูนย์ หรือตามแกนเวลาที่เปลี่ยนแปลงไปตลอด จะนั้นสมการที่นำมาหาค่ากระแสสัมภารท์แบบไม่สมมาตรก็คือสมการที่ 3-11

$$i(t) = I_m \sin(\omega t + \alpha - \theta) - I_m e^{-\tau/t} \sin(\alpha - \theta) \quad (3-11)$$

เมื่อ $i(t)$ ก็คือ กระแสสัมภารท์ในช่วงเวลา t ได้

$$i(t) = I_m \sin(\omega t + \alpha - \theta) - I_m e^{-t/\tau} \sin(\alpha - \theta) \quad (3-11)$$

- เมื่อ $i(t)$ คือ กระแสสัมภาระในช่วงเวลา t
 I_m คือ ค่ายอดสูงสุดของรูปคลื่นกระแสไฟฟ้าสัมภาระ
 α คือ มุมของเกิดของความผิดพร่องบนรูปคลื่นกระแสสัมภาระ
 θ คือ มุมที่เกิดจาก $\tan^{-1} \left[\frac{\omega L}{R} \right]$
 τ คือ ค่าของ $\frac{L}{R}$ ของวงจร

จากสมการที่ 3-11 จะเห็นว่าสมการจะเปรียบตามเวลาจะมีสองส่วนด้วยฟังก์ชันไซนุซoidal ซึ่งเป็นเทอมของกระแสอยู่ด้วย หรือกระแสสัมภาระ ส่วนเหลือที่สองเป็นฟังก์ชันที่ไม่เป็นคาด (Nonperiodic) และมีค่าลดลงในลักษณะของเอ็กซ์โพเนนเชียล (Exponential) ด้วยเวลาคงที่ของ $\frac{L}{R}$ ขณะนี้ฟังก์ชันนี้จะเป็นการเตือนค่าเวลาไปตามลำดับเพื่อที่เมื่อวิเคราะห์สัญญาณของกระแสสัมภาระ ผู้ใช้งานจะต้องเลือกช่วงเวลาที่จะวิเคราะห์ให้โปรแกรมเพื่อสังเกตผลคำนวณตามเวลาผ่านไปช่วงหนึ่งขณะใด

ในบทนี้ได้นำเสนอฟังก์ชันการทำงานที่อยู่ในส่วนของการวิเคราะห์กระแสสัมภาระแบบไม่สมมาตรซึ่งเป็นพื้นฐานที่สำคัญของโปรแกรม ซึ่งฟังก์ชันต่างๆ ที่กล่าวไว้ในบทนี้จะมีอยู่ในโปรแกรมย่อยเพื่อสามารถถูกเรียกใช้งานตามการใช้งานของผู้ใช้งาน โปรแกรมได้อย่างสมบูรณ์ โดยในบทต่อไปจะนำเสนอบื้นตองการทำงานของ โปรแกรมทั้งหมด

บทที่ 4

การออกแบบโครงสร้างของโปรแกรมวิเคราะห์ความผิดพร่องในระบบไฟฟ้า

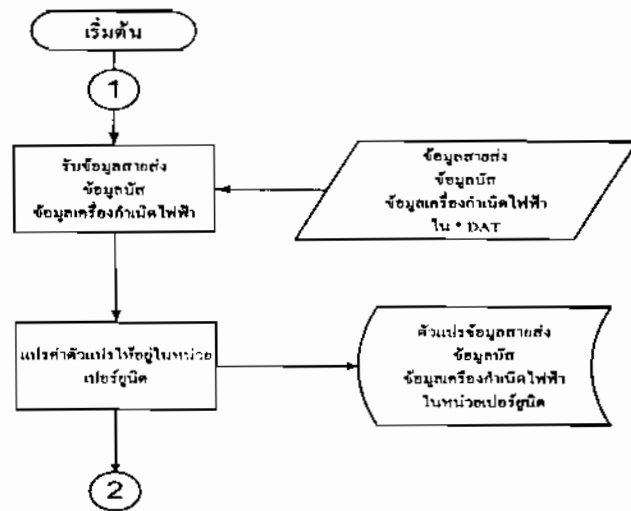
4.1 ส่วนนำของเนื้อหา

เนื้อหาในบทนี้ ได้อธิบายถึงขั้นตอน โครงสร้างของ โปรแกรมในงานวิจัย โดยจะออกแบบ โครงสร้างการทำงานให้ผู้ใช้งาน (User) เป็นผู้กำหนดการแสดงผลลัพธ์เอง ซึ่งผู้ใช้งานสามารถ วิเคราะห์การเกิดความผิดพร่องที่เกิดขึ้นในระบบ โดยสามารถระบุการเกิดความผิดพร่องที่บัส ใดๆ ในระบบไฟฟ้า เลือกถูกยังไง การเกิดความผิดพร่องในแบบสมดุลและแบบไม่สมดุล และ สามารถพิจารณาผลลัพธ์ที่ได้จากโปรแกรมวิเคราะห์นี้ โดยจะเป็นกราฟเสลัดวงจร ในช่วงสภาวะอยู่ ตัว และสภาวะทرنานเซียนต์ที่บัสของระบบ และแรงดันไฟฟ้าของบัสใดๆ ในขณะเกิดความผิดพร่อง ที่บัสใดบัสหนึ่งในระบบ ซึ่งในโปรแกรมหลักจะมีโปรแกรมย่อยหรือ สับรุทินย่อยเพื่อใช้สำหรับ การเรียกใช้งานเฉพาะ โปรแกรมที่ใช้งานบ่อขึ้นหรือเพื่อสะกดคต้องการใช้งาน และคุชอร์ได้ดี สะดวกขึ้น

เนื้องจากงานวิจัยนี้ได้มีการพัฒนาโปรแกรมเดิมให้มีประสิทธิภาพในการวิเคราะห์ความผิด พร่องในระบบไฟฟ้ากำลัง ทำให้มีการนำเอาหลักโปรแกรมย่อยที่ต้องการมาจากการวิจัยต่างๆ บ้าง ซึ่งในบทนี้จึงจะนำเสนอเฉพาะ โปรแกรมที่ได้พัฒนาขึ้นเองและจะกล่าวถึง โปรแกรมที่เสริมเข้ามา อ้างอิงคร่าวๆเท่านั้น

4.2 โปรแกรมรับข้อมูลและแปรหน่วยจากพารามิเตอร์ของระบบ

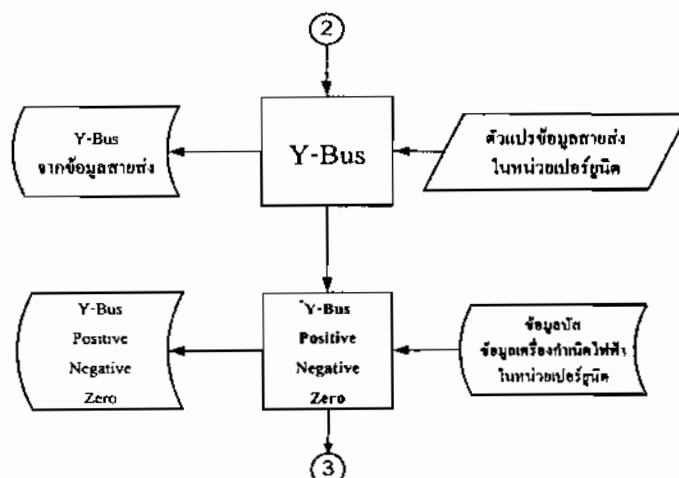
โปรแกรมนี้ทำหน้าที่รับข้อมูลจากข้อมูลพารามิเตอร์ของสายส่ง ข้อมูลบัสต่างๆ ข้อมูล อินพีเดนซ์ของเครื่องกำเนิดไฟฟ้า ข้อมูลของส่วนประกอบลำดับ บวก ลบ และคูณฯ โดยจะเก็บ ข้อมูลหรือแฟ้มชื่อ *.DAT มากก็ไว้ในตัวแปรที่กำหนดชนิดของตัวแปรนั้นๆไว้ ซึ่งจะเก็บไว้ใน ลักษณะชื่อตัวแปรนั่นชื่อและมีค่าหลายค่า หรือเรียกว่าตัวแปรแบบอาเรย์ (Array) และชนิดของตัว แปรจะมีทั้งตัวเลขทั่วไป (Integer) ตัวเลขที่มีจุดทศนิยมทั่วไป (Real) หรือ ตัวเลขที่มีจุดทศนิยม พิเศษ (Double Precision) การประกัดตัวแปรในขั้นต้นของ โปรแกรมจะเป็นตัวกำหนด ความสามารถในการนำไปใช้คำนวณในลักษณะต่างๆ หลังจากนั้นข้อมูลตัวแปรต่างๆจะถูก เปลี่ยนเป็นอัตราส่วนของปริมาณจริง (Actual Quantity) ต่อปริมาณเบส (Quantity) ซึ่งมีค่าเป็น ทศนิยมแล้วเก็บเข้าตัวแปรที่สำหรับคึงเข้าใช้งาน โปรแกรมต่อไป



ภาพที่ 4-1 ขั้นตอนการทำงานของโปรแกรมรับและแปลงข้อมูลของระบบ

4.3 โปรแกรมคำนวณแอดมิเดนซ์ (Y-Bus) ของระบบ

โปรแกรมคำนวณแอดมิเดนซ์จะเป็นโปรแกรมที่นำดัชนีแปลงข้อมูลสายสั่ง ทำการคำนวณหาแอดมิเดนซ์ของระบบไฟฟ้านั้นๆ โดยจะจัดดัชนีเป็นเมตริกซ์เพื่อสะดวกต่อการใช้งาน และสามารถระบุค่าหรือซึ่งตำแหน่งของอิมพีเดนซ์นั้นได้รวดเร็วขึ้น โดยจะแบ่งออกเป็นสองส่วนคือคำนวณหาแอดมิเดนซ์จากข้อมูลสายสั่งของระบบทั่วไป และคำนวณแอดมิเดนซ์จากข้อมูลสายสั่ง ข้อมูลของเครื่องกำเนิดไฟฟ้า และข้อมูลของโหลดแต่ละบัสดังแสดงในภาพที่ 4-2



ภาพที่ 4-2 แสดงขั้นตอนการทำงานของโปรแกรมคำนวณแอดมิเดนซ์ของระบบ

4.4 โปรแกรมคำนวณโหลดไฟฟ้าของระบบ

ในการผลิตกำลังไฟฟ้าของเครื่องกำเนิดไฟฟ้า การควบคุมกำลังไฟฟ้าแยกที่ฟขของเครื่องกำเนิดไฟฟ้าที่จ่ายให้กับระบบไฟฟ้ากำลัง จะถูกควบคุมด้วยระบบควบคุมความเร็ว (Governor) ซึ่งระบบควบคุมความเร็วนี้ทำหน้าที่ปรับเวลาเข้าของกั้งหัน (Turbine Input Valve) เพื่อเปลี่ยนระดับกำลังทางกลที่ป้อนเข้า ทำให้ความเร็วมีค่าอยู่ในสภาวะคงตัว ส่งผลให้ได้กำลังไฟฟ้าแยกที่ฟตามความต้องการ แต่เครื่องกำเนิดไฟฟ้ามีขีดจำกัดของกำลังไฟฟ้าสูงสุดในด้าน Stator Heating ส่วนการควบคุมกำลังไฟฟ้ารีแอคทีฟของเครื่องกำเนิดไฟฟ้า เป็นการควบคุมแรงดันไฟฟ้า โดยการควบคุมการกระแสนำ (Exciter) ซึ่งชุดควบคุมกระแสนำนี้ทำหน้าที่ปรับขนาดแรงดันนำ (Field Voltage) เพื่อให้แรงดันของระบบไฟฟ้ามีค่าตามต้องการ แต่การควบคุมกำลังไฟฟ้ารีแอคทีฟของเครื่องกำเนิดไฟฟ้ามีขอบเขตสูงสุดและต่ำสุดอยู่ คือ กำลังไฟฟ้ารีแอคทีฟสูงสุด ($Q_{Gi,max}$) มีขีดจำกัดในด้าน Rotor Heating ส่วนขอบเขตกำลังไฟฟ้ารีแอคทีฟต่ำสุด ($Q_{Gi,min}$) มีขีดจำกัดในด้าน

Steady State Stability

ในการวิเคราะห์โหลดไฟฟ้า กำลังไฟฟ้าแยกที่ฟจะถูกปรับให้มีค่าคงที่ เพื่อผลิตกำลังไฟฟ้าจ่ายให้กับระบบตามแผนงานที่กำหนด ส่วนกำลังไฟฟ้ารีแอคทีฟจะปรับเปลี่ยน ได้เพื่อควบคุมแรงดันไฟฟ้าที่บัสให้เป็นไปตามที่กำหนด แต่การผลิตกำลังไฟฟ้ารีแอคทีฟต้องไม่เกินค่าขอบเขตของกำลังไฟฟ้ารีแอคทีฟสูงสุดและต่ำสุดของเครื่องกำเนิดไฟฟ้า ($Q_{Gi,max} \geq Q_{Gi} \geq Q_{Gi,min}$) ในกรณีตรวจสอบกำลังไฟฟ้ารีแอคทีฟของเครื่องกำเนิดไฟฟ้าว่าเกินขอบเขต $Q_{Gi,min}$ หรือ $Q_{Gi,max}$ หรือไม่ ทำได้โดยการวิเคราะห์โหลดไฟฟ้า ซึ่งหลังจากการวิเคราะห์โหลดไฟฟ้าแล้ว ทำให้ทราบค่าขนาดและมุ่งแรงดันไฟฟ้าที่บัสต่างๆ จึงสามารถหาค่ากำลังการผลิตของเครื่องกำเนิดไฟฟ้าได้ตามสมการที่ 4-1 และสมการที่ 4-2

$$P_{Gi} = P_{Di} + |V_i|^2 G_{ii} + \sum_{\substack{n=1 \\ n \neq i}}^N |Y_{in} V_i V_n| \cos(\theta_{in} + \delta_n - \delta_i) \quad (4-1)$$

$$Q_{Gi} = Q_{Di} - |V_i|^2 B_{ii} - \sum_{\substack{n=1 \\ n \neq i}}^N |Y_{in} V_i V_n| \sin(\theta_{in} + \delta_n - \delta_i) \quad (4-2)$$

เมื่อ P_{Gi} กือ กำลังไฟฟ้าแยกที่ฟของเครื่องกำเนิดไฟฟ้าที่บัส i

P_{Di} กือ กำลังไฟฟ้าแยกที่ฟของโหลดที่บัส i

Q_{Di} กือ กำลังไฟฟ้ารีแอคทีฟของเครื่องกำเนิดไฟฟ้าที่บัส i

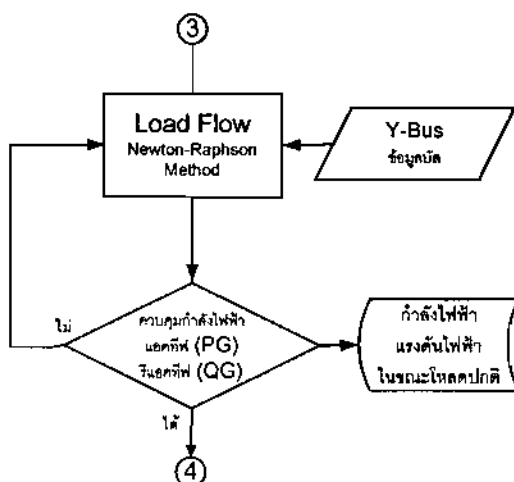
Q_{Gi}	คือ กำลังไฟฟ้ารีแอคทีฟ荷ลด ที่บัส i
$ V_i $	คือ ขนาดของแรงดันไฟฟ้าที่บัส i
δ_i	คือ มุมของแรงดันไฟฟ้าที่บัส i
G_{ii}	คือ ค่าคงตัวเดนซ์ต่ำแหน่งที่ (i,i) ในบัสแอคอมมิคเดนซ์เมตริกซ์
B_{ii}	คือ ค่าชั้บเชฟเดนซ์ต่ำแหน่งที่ (i,i) ในบัสแอคอมมิคเดนซ์เมตริกซ์
Y_{in}	คือ ขนาดของสมาชิกต่ำแหน่งที่ (i,n) ในบัสแอคอมมิคเดนซ์เมตริกซ์
θ_{in}	คือ มุมของสมาชิกต่ำแหน่งที่ (i,n) ในบัสแอคอมมิคเดนซ์เมตริกซ์
N	คือ จำนวนบัสในระบบ

ในบัสที่มีเครื่องกำนิดไฟฟ้าต่ออยู่นั้น ชนิดของบัสเป็น Generator Bus Code 2 หลังจากการคำนวณกำลังไฟฟ้ารีแอคทีฟของเครื่องกำนิดไฟฟ้าแล้ว กำลังไฟฟ้ารีแอคทีฟของเครื่องกำนิดไฟฟ้า Q_{Gi} มีค่าอยู่ในขอบเขตของเครื่องกำนิดไฟฟ้า ($Q_{Gi,max} \geq Q_{Gi} \geq Q_{Gi,min}$) ชนิดของบัสยังเป็น Generator Bus Code 2 หากกำลังไฟฟ้ารีแอคทีฟของเครื่องกำนิดไฟฟ้า Q_{Gi} มีค่าเกินขอบเขตของเครื่องกำนิดไฟฟ้า ($Q_{Gi} > Q_{Gi,max}$ or $Q_{Gi} < Q_{Gi,min}$) ชนิดของบัสจะเปลี่ยนเป็น Generator Bus Code 0 โดยที่ไม่ต้องคงค่าขนาดและมุมของแรงดันไฟฟ้าที่บัส กำลังไฟฟ้ารีแอคทีฟของเครื่องกำนิดไฟฟ้าจะมีค่าเท่ากับขอบเขตต่ำสุดหรือสูงสุด ($Q_{Gi} = Q_{Gi,min}$ or $Q_{Gi} = Q_{Gi,max}$) ต่อไป หากกำลังไฟฟ้ารีแอคทีฟของเครื่องกำนิดไฟฟ้า (P_{Gi}) ให้เป็นไปตามแผนงานที่กำหนด และหากคำนวณต่อไปจากบัสที่เป็น Generator Bus Code 0 โดยที่กำลังไฟฟ้ารีแอคทีฟของเครื่องกำนิดไฟฟ้า $Q_{Gi} = Q_{Gi,max}$ และแรงดันไฟฟ้าที่บัส $V_i < V_{i,spec}$ ชนิดของบัสยังคงเป็น Generator Bus Code 0 ต่อไป หากกำลังไฟฟ้ารีแอคทีฟของเครื่องกำนิดไฟฟ้า $Q_{Gi} = Q_{Gi,max}$ และแรงดันไฟฟ้าที่บัส $V_i > V_{i,spec}$ ชนิดของบัสยังคงเป็น Generator Bus Code 0 ต่อไป หากกำลังไฟฟ้ารีแอคทีฟของเครื่องกำนิดไฟฟ้า $Q_{Gi} = Q_{Gi,min}$ และแรงดันไฟฟ้าที่บัส $V_i > V_{i,spec}$ ชนิดของบัสยังคงเป็น Generator Bus Code 0 ต่อไป หากกำลังไฟฟ้ารีแอคทีฟของเครื่องกำนิดไฟฟ้า $Q_{Gi} = Q_{Gi,min}$ และแรงดันไฟฟ้าที่บัส $V_i < V_{i,spec}$ ชนิดของบัสจะเปลี่ยนเป็น Generator Bus Code 2 ซึ่งชนิดของบัสแสดงในตารางที่ 4-1

ตารางที่ 4-1 ชนิดของบัส

Bus Type	Code	Comment
Slack Bus	1	$V_i = V_{ispec}$ $P_i = 0$ $\delta_i = 0$ $Q_i = 0$
Load Bus	0	P_{Gi} and Q_{Gi} constant δ_i and V_i variable
Generator Bus	2	P_{Gi} constant $V_i = V_{ispec}$ δ_i and Q_{Gi} variable
Generator Bus	0	P_{Gi} constant $Q_{Gi} = Q_{Gi,min}$ or $Q_{Gi,max}$ δ_i and V_i variable

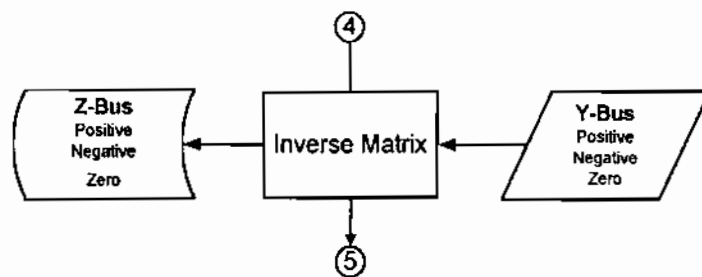
ในโปรแกรมคำนวณโหลดไฟล์นี้ได้มีการประยุกต์นำมาใช้เป็นโปรแกรมย่อยและได้มีการปรับปรุงพารามิเตอร์บางส่วนเพื่อให้ผลได้ดีขึ้นและสามารถนำไปใช้วิเคราะห์กับโปรแกรมหลักได้ตามภาพที่ 4-3



ภาพที่ 4-3 ขั้นตอนการทำงานของโปรแกรมคำนวณโหลดไฟล์ของระบบ

4.5 โปรแกรมคำนวณอินพีเดนซ์ (Z-Bus) ของระบบ

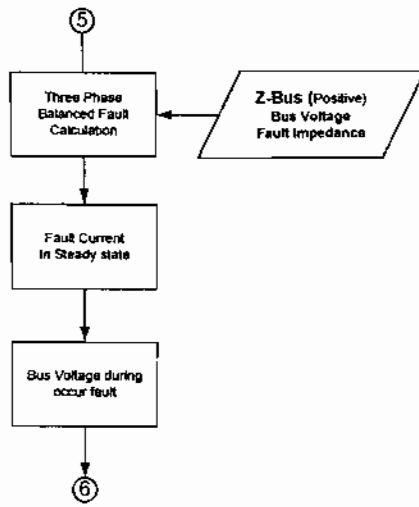
โปรแกรมคำนวณอินพีเดนซ์จะเป็นโปรแกรมที่นำเอาค่าเดนซ์เมตริกซ์ของระบบมาเปรียบเทียบกับค่าเดนซ์เมตริกซ์โดยใช้หลักการทางคณิตศาสตร์ อินเวอร์สเมตริกซ์ โดยโปรแกรมจะรับข้อมูลของแอคิวเดนซ์ของระบบและเริ่กใช้โปรแกรมย่อยอินเวอร์สมาใช้ และอาจที่พูดจะได้ค่าอินพีเดนซ์เมตริกซ์ที่มีค่าเท่ากันดังแสดงในภาพที่ 4-4 จากการทดสอบโปรแกรมย่อยนี้พบว่าค่าที่คำนวณได้จะนิ่งค่าใกล้เคียงกับโปรแกรมสำเร็จรูป Power World ประมาณค่าใกล้เคียงหรือเกิดความผิดพลาดประมาณ 1×10^{-5} กับโปรแกรมภาษาฟอร์แทรน 77



ภาพที่ 4-4 ขั้นตอนการทำงานของโปรแกรมอินเวอร์สเมตริกซ์ของ Y-Bus

4.6 โปรแกรมคำนวณกระแสสัมภาระแรงดันไฟฟ้าที่บัสในกรณีเกิดความผิดพร่องแบบสมดุล

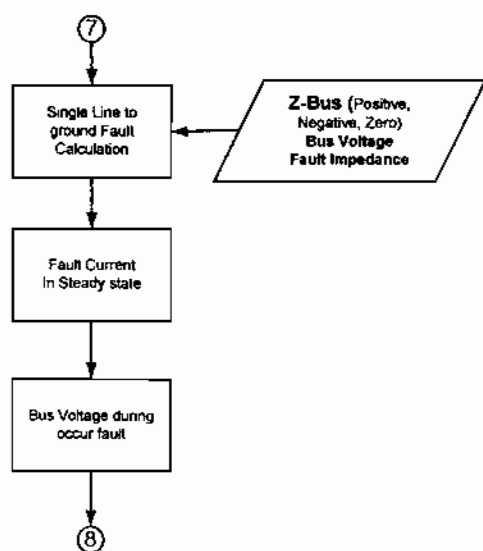
โปรแกรมคำนวณกระแสสัมภาระแรงดันไฟฟ้าที่บัสในกรณีเกิดความผิดพร่องแบบสมดุลเป็นโปรแกรมที่จะรับข้อมูลของอินพีเดนซ์ในส่วนประกอบลักษณะบวกอย่างเดียว แรงดันไฟฟ้าที่บัสในขณะที่บัสจ่ายโหลดปกติ และค่าฟอลด์อินพีเดนซ์ Z_f ทุกเฟสจะมีค่าเท่ากันจากผู้ใช้งานต้องป้อนข้อมูลเพื่อกำหนดค่าให้ Z_f จากนั้นโปรแกรมจะเริ่มคำนวณค่ากระแสสัมภาระแรงดันไฟฟ้าสมดุล ตามสมการที่ 3-5 และตามสมการที่ 3-6 ดังแสดงในภาพที่ 4-5



ภาพที่ 4-5 ขั้นตอนการทำงานของโปรแกรมคำนวณความผิดพร่องในกรณีสามเฟสสมดุล

4.7 โปรแกรมคำนวณกระแสลัดวงจรและแรงดันไฟฟ้าที่บัสในการมีเกิดความผิดพร่องสายกับดิน

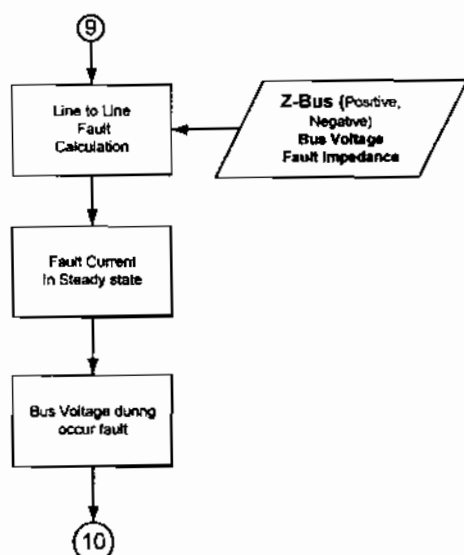
โปรแกรมคำนวณกระแสลัดวงจรแบบไม่สมดุลในการมีเป็นโปรแกรมที่จะรับข้อมูลของ อิมพีเดนซ์ในส่วนประกอบลำดับบวก ลำดับลบ และลำดับศูนย์ แรงดันไฟฟ้าที่บัสในขณะที่บัส จ่ายโหลดปกติ และค่าฟอลต์อิมพีเดนซ์ Z_f ทุกเฟสจะมีค่าเท่ากันจากผู้ใช้งานต้องป้อนข้อมูลเพื่อกำหนดค่าให้ Z_f จากนั้นโปรแกรมจะเริ่มคำนวณค่ากระแสลัดวงจรแบบสายกับดิน และ แรงดันไฟฟ้าที่บัสในขณะเกิดความผิดพร่อง ตามสมการที่ 3-7 และตามสมการที่ 3-6 ดังภาพที่ 4-6



ภาพที่ 4-6 ขั้นตอนการทำงานของโปรแกรมคำนวณความผิดพร่องในกรณีสายกับดิน

4.8 โปรแกรมคำนวณกระแสสัตว์จรและแรงดันไฟฟ้าที่บัสในการณ์เกิดความผิดพร่องสายกับสาย

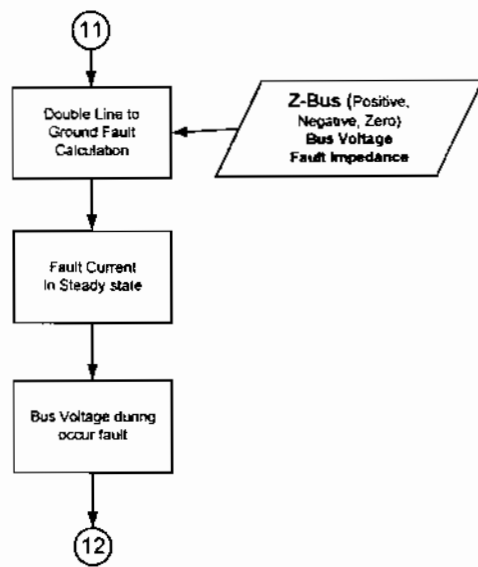
โปรแกรมคำนวณกระแสสัตว์จรแบบกรฟ์สายกับสายเป็นโปรแกรมที่จะรับข้อมูลของ อิมพีเดนซ์ในส่วนประกอบลำดับวงก ลำดับลง และลำดับศูนย์ แรงดันไฟฟ้าที่บัสในขณะที่บัสจ่ายโหลดปกติ และค่าฟอลต์อิมพีเดนซ์ Z_f ทุกเฟสจะมีค่าเท่ากันจากผู้ใช้งานต้องป้อนข้อมูลเพื่อกำหนดค่าให้ Z_f จากนั้นโปรแกรมจะเริ่มคำนวณค่ากระแสสัตว์จรแบบสายกับสาย และแรงดันไฟฟ้าที่บัส ในขณะเกิดความผิดพร่อง ตามสมการที่ 3-8 สมการที่ 3-6 และสมการที่ 3-9 ดังภาพที่ 4-7



ภาพที่ 4-7 ขั้นตอนการทำงานของโปรแกรมคำนวณความผิดพร่องในกรฟ์สายกับสาย

4.9 โปรแกรมคำนวณกระแสสัตว์จรและแรงดันไฟฟ้าที่บัสในการณ์เกิดความผิดพร่องสองสายกับติน

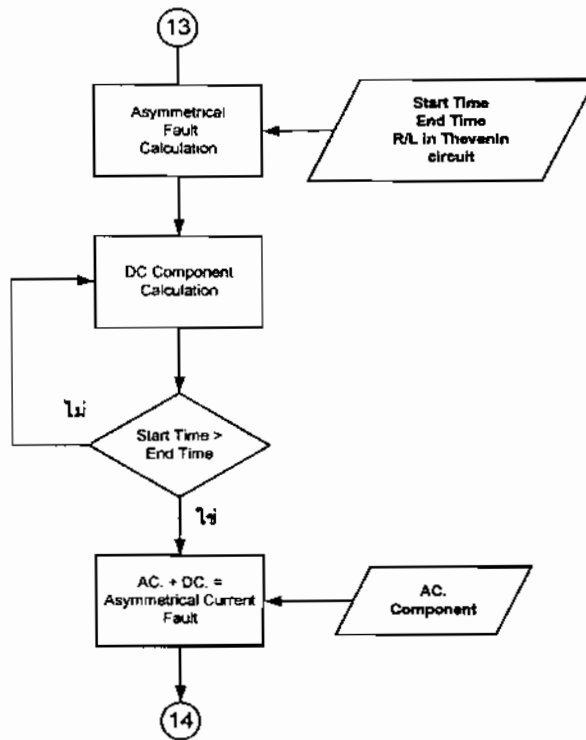
โปรแกรมคำนวณกระแสสัตว์จรแบบกรฟ์สองสายกับตินเป็นโปรแกรมที่จะรับข้อมูลของ อิมพีเดนซ์ในส่วนประกอบลำดับวงก ลำดับลง และลำดับศูนย์ แรงดันไฟฟ้าที่บัสในขณะที่บัส จ่ายโหลดปกติ และค่าฟอลต์อิมพีเดนซ์ Z_f ทุกเฟสจะมีค่าเท่ากันจากผู้ใช้งานต้องป้อนข้อมูลเพื่อกำหนดค่าให้ Z_f จากนั้นโปรแกรมจะเริ่มคำนวณค่ากระแสสัตว์จรแบบสองสายกับติน และ แรงดันไฟฟ้าที่บัสในขณะเกิดความผิดพร่อง ตามสมการที่ 3-10 และสมการที่ 3-6 ดังภาพที่ 4-8



ภาพที่ 4-8 ขั้นตอนการทำงานของโปรแกรมคำนวณความผิดพร่องในกรณีส่องสายกับดิน

4.10 โปรแกรมคำนวณกระแสลัดวงจรที่บัสในกรณีเกิดความผิดพร่องในช่วงกราเนี้ยนด์

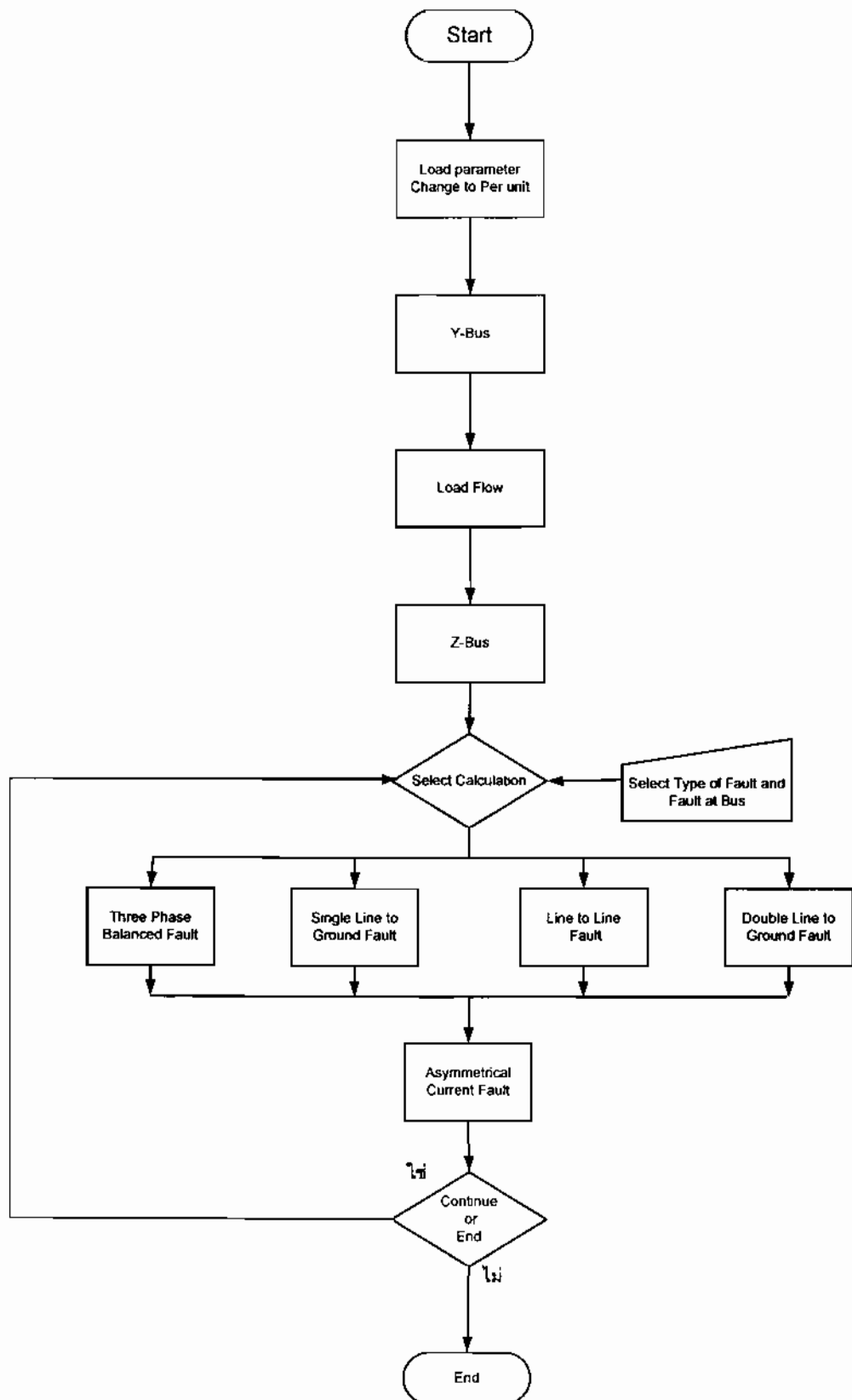
โปรแกรมคำนวณกระแสลัดวงจรในช่วงกราเนี้ยนด์นี้จะแตกต่างจากโปรแกรมย่อที่ผ่านมา เพราะโปรแกรมนี้จะคำนวณขนาดของกระแสตามช่วงเวลาที่ผ่านไปโดยจะนำส่วนกระแสลับของกระแสลัดวงจรที่อยู่ในช่วงสภาวะอยู่ตัวมารวมกับส่วนกระแสตรงของกระแสลัดวงจรตามสมการที่ 1-3 และผู้ใช้งานจะต้องกำหนดช่วงเวลาการคำนวณโดยผลที่ได้จะเป็นค่ากระแสลัดวงจรในช่วงเวลาที่ต้องการ ดังภาพที่ 4-9



ภาพที่ 4-9 แสดงขั้นตอนการทำงานของโปรแกรมคำนวณกระแสลัดวงจรแบบไม่สมมาตร

4.11 ผังการทำงานของการวิเคราะห์ความผิดพร่องในระบบไฟฟ้า

จากโปรแกรมย่อของแต่ละ โปรแกรมต่างก็คำนวณกระแสลัดวงจรแรงดันไฟฟ้าที่บัสในกรณีเกิดความผิดพร่อง ซึ่งแต่ละ โปรแกรมย่อยได้มีการทดสอบแต่ละ โปรแกรมก่อนที่นำรวมกันไว้ในโปรแกรมหลัก โดยจะถูกกำหนดจากผู้ใช้งานเองว่าผู้ใช้ต้องการคุณสมบัติการคำนวณกระแสลัดวงจรที่บัสหนึ่งบัสใดในระบบ หรือทุกบัสในระบบหลังเกิดความผิดพร่องทั้ง 4 แบบ หรือต้องการทราบถึงแรงดันไฟฟ้าที่บสต่างๆ เมื่อเกิดความผิดพร่องที่บัสหนึ่งบัสใดในระบบทดสอบนั้น โดยแผนผังของ โปรแกรมการวิเคราะห์ความผิดพร่องในระบบไฟฟ้าตามภาพที่ 4-10 ซึ่งจะเข้าใจลำดับการทำงานของ โปรแกรมได้อ่ายงเข้าใจมากขึ้น



ภาพที่ 4-10 ขั้นตอนการทำงานของโปรแกรมคำนวณกระแสลักษณะแบบไม่สมมาตร

4.12 ส่วนสรุปของเนื้อหา

การออกแบบโปรแกรมการทำงานของโปรแกรมวิเคราะห์ความผิดพร่องในระบบไฟฟ้า จะทำงานตามลำดับขั้นตอนของโปรแกรม ตามภาพที่ 4-10 โดยจากจุดเริ่มต้นโปรแกรมจะทำการโหลดข้อมูลพารามิเตอร์ของสายสั่ง ข้อมูลบัส แปลงเป็นหน่วยเบอร์ยูนิต แล้วนำค่าอินพีดเคนซ์ของข้อมูลมาสร้างเป็นแอ็คอมิเตเคนซ์เมตริกซ์ (\mathbf{Y} -Bus) ของระบบไฟฟ้า เพื่อนำค่าไปคำนวณในโปรแกรมคำนวณไฟฟ้าให้กับไฟล์ของระบบทำให้ทราบถึงความสามารถในการจ่ายกำลังไฟฟ้าของเครื่องกำนันค์ไฟฟ้าให้กับไฟล์ในแต่ละบัส จากนั้นจะนำแอ็คอมิเตเคนซ์ของเครื่องกำนันค์ไฟฟ้า และไฟล์ที่บัส นำรวมกับแอ็คอมิเตเคนซ์ของระบบ ทำให้ได้เมตริกซ์ส่วนประกอบลำดับวงก และลบ ของระบบรวมไปถึงเมตริกซ์ส่วนประกอบลำดับศูนย์ซึ่งไม่รวมค่าไฟล์ที่บัส เมื่อผลที่ได้ในขั้นตอนนี้จะมีค่าตัวแปรครบสำหรับการเริ่มต้นเข้าสู่โปรแกรมการคำนวณความผิดพร่องในชนิดต่างๆของกรณีความผิดพร่อง โดยผู้ใช้งานจะเป็นผู้ระบุความต้องการวิเคราะห์ เลือกชนิดความผิดพร่อง เลือกบัสที่เกิดความผิดพร่อง เลือกช่วงเวลาของการคำนวณในโปรแกรมการคำนวณกระแสลัดวงจรแบบไม่สมมาตรในช่วงเวลาท่านเชียนต์ และสามารถเลือกการแสดงผลของค่าต่างๆจากการคำนวณของโปรแกรมเพื่อแสดงผลบนหน้าจอให้ผู้ใช้นำมาวิเคราะห์ต่อได้

ในบทต่อไปได้แสดงให้เห็นถึงความสามารถในการทำงานของโปรแกรมภาษาฟอร์แทรน 77 ที่ได้ออกแบบขึ้น ซึ่งได้เปรียบเทียบระหว่างโปรแกรมสำเร็จรูป Power World และ PSCAD โดยใช้ข้อมูลระบบทดสอบ IEEE 14 บัส IEEE 30 บัส IEEE 57 บัส และ IEEE 118 บัส และเปรียบเทียบหากค่าความคลาดเคลื่อนของการคำนวณในแต่ละบัสจากโปรแกรมที่สร้างขึ้น

บทที่ 5

การทดสอบและเปรียบเทียบการทำงานของโปรแกรม

5.1 ส่วนนำของเนื้อหา

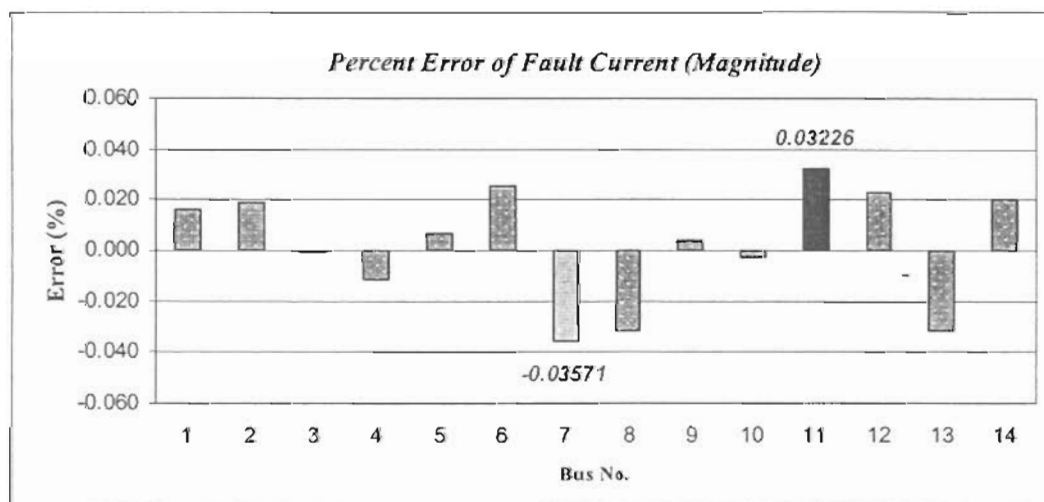
งานวิจัยนี้ได้ออกแบบการเขียนโปรแกรมสำหรับการวิเคราะห์ความผิดพร่องในระบบไฟฟ้ากำลังด้วยภาษาฟอร์แทรน 77 โดยนำส่วนของโปรแกรมมาพัฒนาต่อจากเดิมเพื่อหาค่าของกระแสไฟฟ้า และแรงดันที่เกิดที่บัสในขณะเกิดความผิดพร่องในระบบไฟฟ้า ซึ่งสามารถคำนว่าได้ไปวิเคราะห์ระบบ ใช้เลือกอุปกรณ์ป้องกันใช้ในระบบโดยโปรแกรมที่เขียนจะรับค่าพารามิเตอร์ของระบบมาสร้างแอดมิแตนซ์เมตริกซ์ หรือ วายบัส (Y-Bus) โดยจะสร้างสามเมตริกซ์คือ แอดมิแตนซ์เมตริกซ์แบบบวกและแบบลบ โดยเมตริกซ์ทั้งสองจะมีค่าเท่ากัน และแอดมิแตนซ์เมตริกซ์แบบศูนย์ แล้วคำนวณในโปรแกรมย่อยอินเวอร์เมตริกซ์เพื่อจะได้มีพิแตนซ์เมตริกซ์ (Z-Bus) ของแต่ละเมตริกซ์ จากนั้นโปรแกรมจะนำค่าของแรงดันที่บัสค่างๆจากการรันໂ Holden ไฟล์แล้วนำค่ามาคำนวณในโปรแกรมคำนวณความผิดพร่องของระบบไฟฟ้ากำลัง โดยผู้ใช้งานต้องเลือกประเภทการเกิดความผิดพร่องดังนี้คือ การเกิดความบกพร่องแบบสมมาตร หรือ สามเฟส สมดุล และการเกิดความบกพร่องแบบไม่สมมาตร เช่น สายกับดิน (Single Line to Ground Fault) สายกับสาย (Line to Line Fault) และสองสายกับดิน (Double Line to Ground Fault) และสามารถเลือกบัสที่เกิดความผิดพร่องในระบบเพื่อตรวจสอบและวิเคราะห์กระแสลัดวงจรที่บัสและแรงดันไฟฟ้าที่บัสต่างๆในระบบ หรือวิเคราะห์กระแสลัดวงจรที่ทุกบัสในระบบเมื่อเกิดความผิดพร่องที่บัสหนึ่งและในแต่ละประเภทของความผิดพร่อง และขั้งสามารถวิเคราะห์กระแสลัดวงจรที่อยู่ในช่วงสภาวะชันทรานเชียนต์ ทรานเซียนต์ และสภาวะอยู่ตัว

โดยระบบที่ใช้ในการทดสอบคือ ระบบไฟฟ้าของมาตรฐาน IEEE คือ 14 Bus, 30 Bus, 57 Bus และ 118 Bus ซึ่งผลลัพธ์และการแสดงผลของโปรแกรมงานวิจัยจะถูกให้ผู้ใช้งานกำหนดเอง เพื่อเลือกผลลัพธ์ที่ผู้ใช้งานต้องการรับทราบหรือแสดงผลออกมาหน้าจอ เพื่อวิเคราะห์ระบบทั้งหมด บางบัสหรือบางจุดบนระบบไฟฟ้า และช่วงเวลาของการวิเคราะห์กระแสลัดวงจรที่อยู่ในช่วงทรานเซียนต์และสภาวะอยู่ตัว โดยมีผลการทดสอบที่เปรียบเทียบกับโปรแกรม Power World จะเป็นผลการทดลองของแรงดันไฟฟ้าและกระแสลัดวงจรที่อยู่ในช่วงสภาวะอยู่ตัว และเปรียบเทียบผลในช่วงสภาวะทรานเซียนต์กับโปรแกรม PSCAD โดยผลการทดลองหลังจากทำการ

รันโปรแกรมวิเคราะห์ความผิดพร่องในระบบไฟฟ้าแล้ว ผลของการทดสอบของโปรแกรมจะมีการแสดงผลเป็นลำดับดังนี้

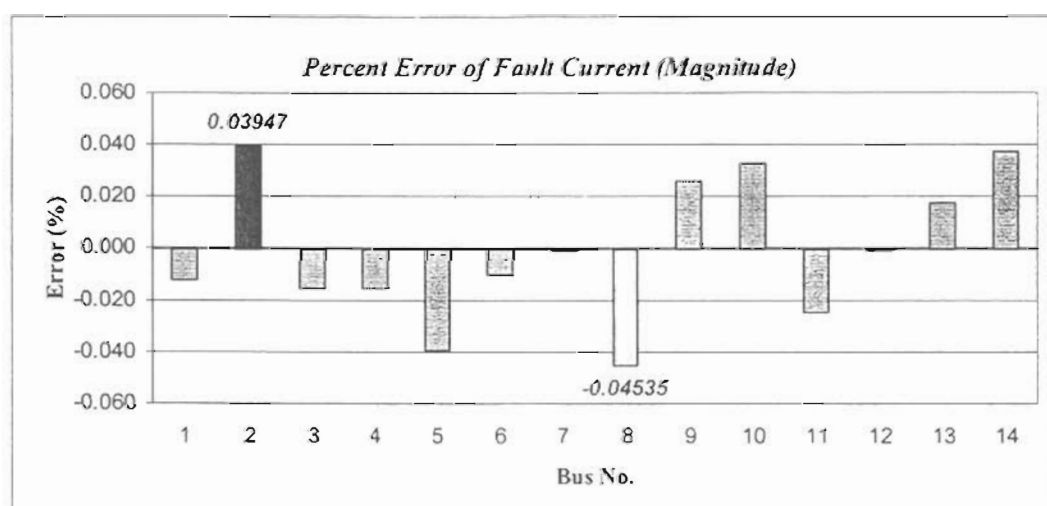
5.2 ผลวิเคราะห์กระแสลัดวงจรในสภาวะอยู่ตัวของระบบทดสอบ IEEE 14 บัส

5.2.1 ผลการคำนวณกระแสลัดวงจรในการณีเกิดความผิดพร่องแบบสมดุลหรือสามเฟสสมดุล ในผลทดสอบของโปรแกรมที่เขียนด้วยภาษาฟอร์แทรน 77 ชิ้นผลจะเปรียบเทียบค่าคำนวณของค่ากระแสลัดวงจรในแต่ละบัสของระบบ IEEE 14 บัสในการณีเกิดผิดพร่องแบบสมมาตรหรือสามเฟสสมดุล เปรียบเทียบกับโปรแกรม Power World ซึ่งเป็นกราฟแสดงค่าความคลาดเคลื่อนของการคำนวณซึ่งจะแสดงเป็นเปอร์เซนต์ต่อเปอร์เซนต์ความคลาดเคลื่อน ดังภาพที่ 5-1 มีค่าคลาดเคลื่อนของขนาดกระแสลัดวงจรมากกว่า 1×10^{-6} หาได้จากค่า Absolute ของขนาดกระแสลัดวงจรจากโปรแกรม Power World ลบกับขนาดของกระแสลัดวงจรจากโปรแกรมที่ทำขึ้น ผลที่ได้ขนาดของกระแสลัดวงจรทั้ง 14 บัส จะมีความเคลื่อนมากที่สุดที่บัส 7 เท่ากับ -0.00036 p.u. กิตเป็น -0.03571 เปอร์เซนต์ หรือ กิตเป็น 0.15061 Amp. และผลคำนวณมุมของค่ากระแสลัดวงจรจะมีความเคลื่อนมากที่สุดที่บัส 1 เท่ากับ 0.00468 p.u. กิตเป็น 0.46800 เปอร์เซนต์ ซึ่งมีค่าน้อยมาก ไม่มีผลต่อการวิเคราะห์ของระบบไฟฟ้าในด้านอื่นๆ



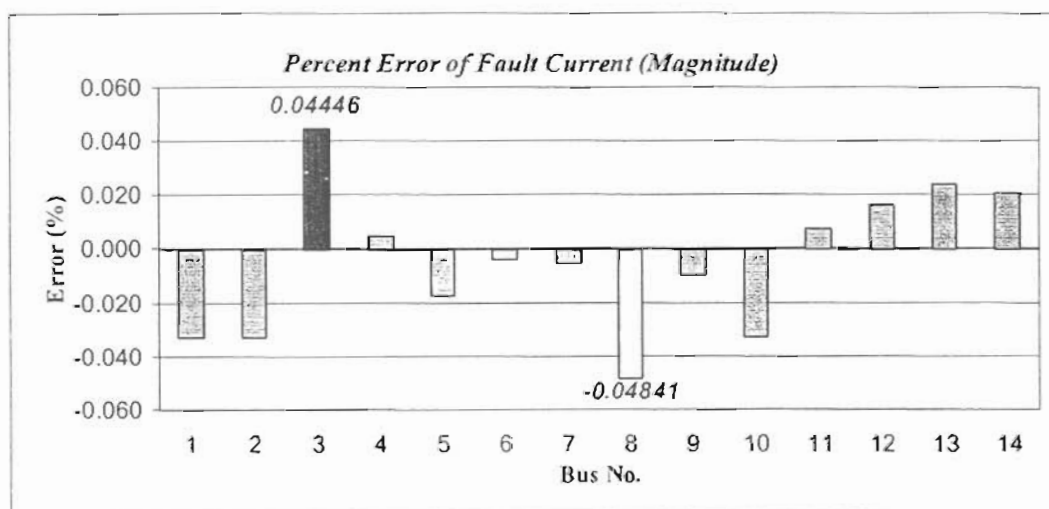
ภาพที่ 5-1 ค่าความคลาดเคลื่อนของโปรแกรมในการคำนวณค่ากระแสลัดวงจรในแต่ละบัส กรณีเกิดความผิดพร่องแบบสมมาตรในระบบ IEEE 14 บัส

5.2.2 ผลการคำนวณกระแสลัดวงจรในการณ์เกิดความผิดพร่องแบบไม่สมดุลในการณ์สายกับคืน ในผลทดสอบของโปรแกรมที่เขียนด้วยภาษาฟอร์แทรน 77 นี้ ซึ่งผลการเปรียบเทียบค่าคำนวณของค่ากระแสลัดวงจรในแต่ละบัสของระบบ IEEE 14 บัสในการณ์เกิดผิดพร่องแบบไม่สมมาตรในกรณ์สายกับคืน เปรียบเทียบกับโปรแกรม Power World ซึ่งแปลงเป็นกราฟแสดงค่าความคลาดเคลื่อนของการคำนวณเปรียบเทียบกับโปรแกรม Power World ซึ่งจะแสดงเป็นเปอร์เซ็นต์ต่อเปอร์เซนต์ความความคลาดเคลื่อน ดังภาพที่ 5-2 โดยผลออกมานี้ค่าของกระแสลัดวงจร มีค่าคลาดเคลื่อนของขนาดกระแสลัดวงจรมากกว่า 1×10^{-6} หากจากค่า Absolute ของขนาดกระแสลัดวงจรจากโปรแกรม Power World ลบกับขนาดของกระแสลัดวงจรจากโปรแกรมที่ทำขึ้นแปลงเป็นเปอร์เซนต์ของความคลาดเคลื่อนของขนาดกระแสลัดวงจร ผลที่ได้ขนาดของกระแสลัดวงจรหั้ง 14 บัส จะมีความคลาดเคลื่อนมากที่สุดที่บัส 8 เท่ากับ -0.00045 p.u. กิตเป็น -0.04535 เปอร์เซนต์ หรือ กิตเป็น 0.18827 Amp. และผลของขนาดของมุมกระแสลัดวงจรจะมีความคลาดเคลื่อนมากที่สุดที่บัส 2 เท่ากับ -0.00482 p.u. กิตเป็น -0.48226 เปอร์เซนต์ ซึ่งมีค่าน้อยมากไม่มีผลต่อการวิเคราะห์ของระบบไฟฟ้าในด้านอื่นๆ



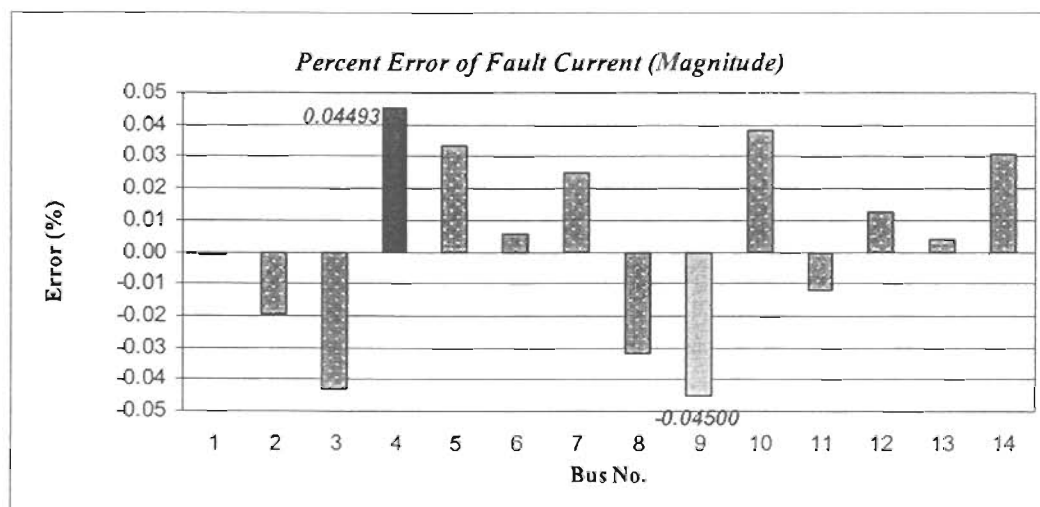
ภาพที่ 5-2 ค่าความคลาดเคลื่อนของโปรแกรมในการคำนวณค่ากระแสลัดวงจรในแต่ละบัส กรณ์เกิดความผิดพร่องแบบสายกับคืนในระบบ IEEE 14 บัส

5.2.3 ผลการคำนวณกระแสลัดวงจรในกรณีเกิดความผิดพร่องแบบไม่สมดุลในการผิวสายกับสาย ในผลทดสอบของโปรแกรมที่เขียนด้วยภาษาฟอร์แทรน 77 นี้ ผลการเปรียบเทียบค่าคำนวณของค่ากระแสลัดวงจรในแต่ละบัสของระบบ IEEE 14 บัสในการณีเกิดผิดพร่องแบบไม่สมมาตรในกรณีสายกับสาย เปรียบเทียบกับโปรแกรม Power World ซึ่งเป็นกราฟแสดงค่าความคลาดเคลื่อนของการคำนวณเปรียบเทียบกับโปรแกรม Power World ซึ่งเป็นเปอร์เซ็นต์ต่อเปอร์เซนต์ความคลาดเคลื่อน ดังภาพที่ 5-3 โดยผลออกมานำเป็นค่าของกระแสลัดวงจร มีค่าคลาดเคลื่อนของขนาดกระแสลัดวงจรมากกว่า 1×10^{-6} หาได้จากค่า Absolute ของขนาดกระแสลัดวงจรจากโปรแกรม Power World ลบกับขนาดของกระแสลัดวงจรจากโปรแกรมที่ทำขึ้น ผลที่ได้เป็นเปอร์เซนต์ของความคลาดเคลื่อนของขนาดกระแสลัดวงจร ผลที่ได้ขนาดของกระแสลัดวงจรทั้ง 14 บัส จะมีความคลาดเคลื่อนมากที่สุดที่บัส 8 เท่ากับ -0.00048 p.u. คิดเป็น -0.04841 เปอร์เซนต์ หรือเป็น 0.2007 Amp. และในผลของมุมของกระแสลัดวงจรจะมีความคลาดเคลื่อนมากที่สุดที่บัส 1 เท่ากับ 0.00467 p.u. คิดเป็น 0.46730 เปอร์เซนต์ ซึ่งมีค่าน้อยมากไม่มีผลต่อการวิเคราะห์ของระบบไฟฟ้าในด้านอื่นๆ



ภาพที่ 5-3 ค่าความคลาดเคลื่อนของโปรแกรมในการคำนวณค่ากระแสลัดวงจรในแต่ละบัส กรณีเกิดความผิดพร่องแบบสายกับสายในระบบ IEEE 14 บัส

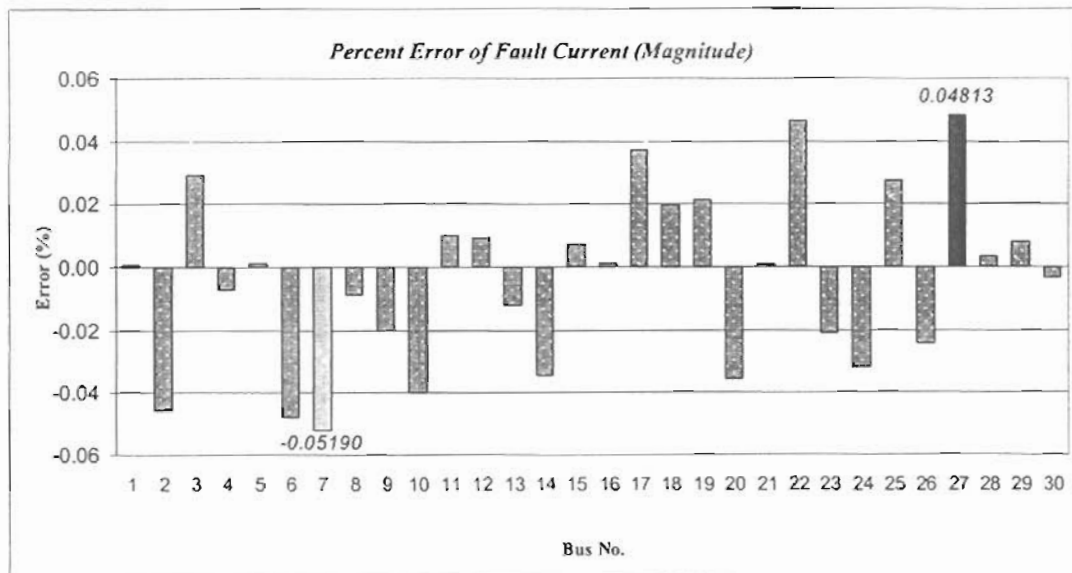
5.2.4 ผลการคำนวณกระแสลัดวงจรในกรณีเกิดความผิดพร่องแบบไม่สมดุลในการส่งสายกับดิน ในผลทดสอบของโปรแกรมที่เขียนด้วยภาษาฟอร์แทรน 77 นี้ ผลการเปรียบเทียบค่าคำนวณของค่ากระแสลัดวงจรในแต่ละบัสของระบบ IEEE 14 บัสในกรณีเกิดผิดพร่องแบบไม่สมมาตรในการส่งสายกับดิน เปรียบเทียบกับโปรแกรม Power World ซึ่งแปลงเป็นกราฟแสดงค่าความคลาดเคลื่อนของการคำนวณเปรียบเทียบกับโปรแกรม Power World ซึ่งเป็นเปอร์เซนต์อัปอร์เซนต์ความคลาดเคลื่อน ดังภาพที่ 5-4 โดยผลออกมานี้เป็นค่าของกระแสลัดวงจร มีค่าคลาดเคลื่อนของขนาดกระแสลัดวงจรมากกว่า 1×10^{-6} หาได้จากค่า Absolute ของขนาดกระแสลัดวงจรจากโปรแกรม Power World ลบกับขนาดของกระแสลัดวงจรจากโปรแกรมที่ทำขึ้น ผลเป็นเปอร์เซนต์ของความคลาดเคลื่อนของขนาดกระแสลัดวงจร ผลที่ได้ขนาดของกระแสลัดวงจรทั้ง 14 บัส จะมีความคลาดเคลื่อนมากที่สุดที่บัส 9 เท่ากับ -0.00045 p.u. คิดเป็น -0.04500 เปอร์เซนต์ หรือเป็น 0.18824 Amp. ในผลของมุมของการกระแสลัดวงจรจะมีความคลาดเคลื่อนมากที่สุดที่บัส 11 เท่ากับ 0.00548 p.u. คิดเป็น 0.54782 เปอร์เซนต์ซึ่งมีค่าน้อยมาก ไม่มีผลต่อการวิเคราะห์ของระบบไฟฟ้าในด้านนี้ๆ



ภาพที่ 5-4 ค่าความคลาดเคลื่อนของโปรแกรมในการคำนวณค่ากระแสลัดวงจรในแต่ละบัสกรณีเกิดความผิดพร่องแบบส่งสายกับดินในระบบ IEEE 14 บัส

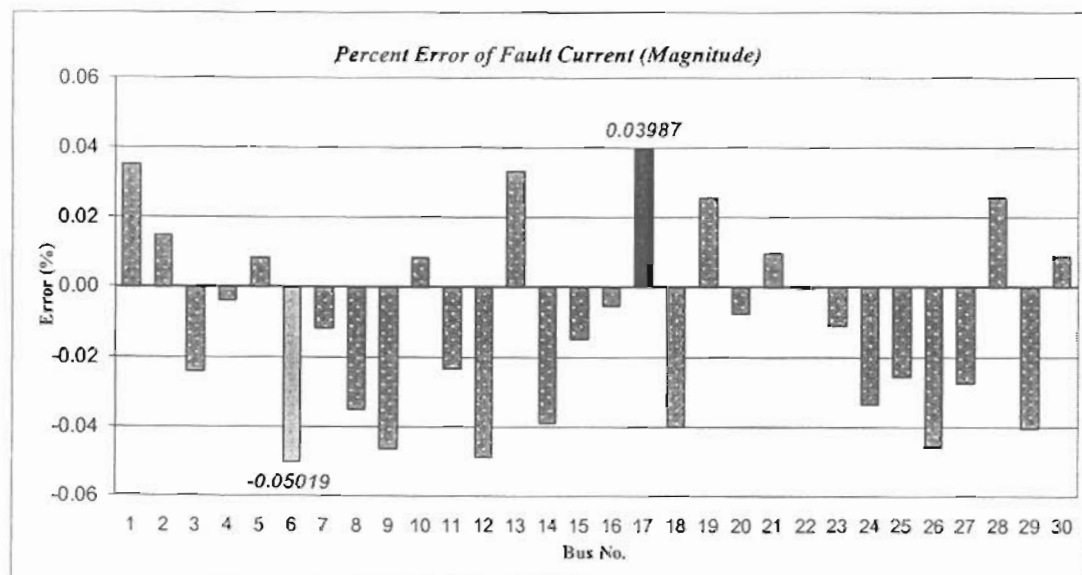
5.3 ผลวิเคราะห์กระแสลัดวงจรในสภาวะอยู่ตัวของระบบทดสอบ IEEE 30 บัส

5.3.1 ผลการคำนวณกระแสลัดวงจรในกรณีเกิดความผิดพร่องแบบสมดุลหรือสามเฟสสมดุล ในผลทดสอบของโปรแกรมที่เขียนด้วยภาษาฟอร์แทรน 77 นี้ ผลการเปรียบเทียบค่าคำนวณของค่ากระแสลัดวงจรในแต่ละบัสของระบบ IEEE 30 บัสในกรณีเกิดผิดพร่องแบบสมมาตรหรือ สามเฟสสมดุล เปรียบเทียบกับโปรแกรม Power World ซึ่งเป็นกราฟแสดงค่าความคลาดเคลื่อนของการคำนวณเปรียบเทียบกับโปรแกรม Power World ซึ่งจะแสดงเป็นเปอร์เซนต์ต่อเปอร์เซนต์ความคลาดเคลื่อน ดังภาพที่ 5-5 มีค่าคลาดเคลื่อนของขนาดกระแสลัดวงจรมากกว่า 1×10^{-6} หากได้จากค่า Absolute ของขนาดกระแสลัดวงจรจากโปรแกรม Power World ลบกับขนาดของกระแสลัดวงจรจากโปรแกรมที่ทำขึ้น ผลที่ได้ขนาดของกระแสลัดวงจรทั้ง 30 บัส จะมีความคลาดเคลื่อนมากที่สุดที่บัส 7 เท่ากับ -0.00052 p.u. คิดเป็น -0.05190 เปอร์เซนต์ หรือคิดเป็น 0.21755 ส่วนผลของมนุษย์และลัดวงจรจะมีความคลาดเคลื่อนมากที่สุดที่บัส 12 เท่ากับ -0.00463 p.u. คิดเป็น -0.46319 เปอร์เซนต์ ซึ่งมีค่าน้อยมาก ไม่มีผลต่อการวิเคราะห์ของระบบไฟฟ้าในด้านอื่นๆ



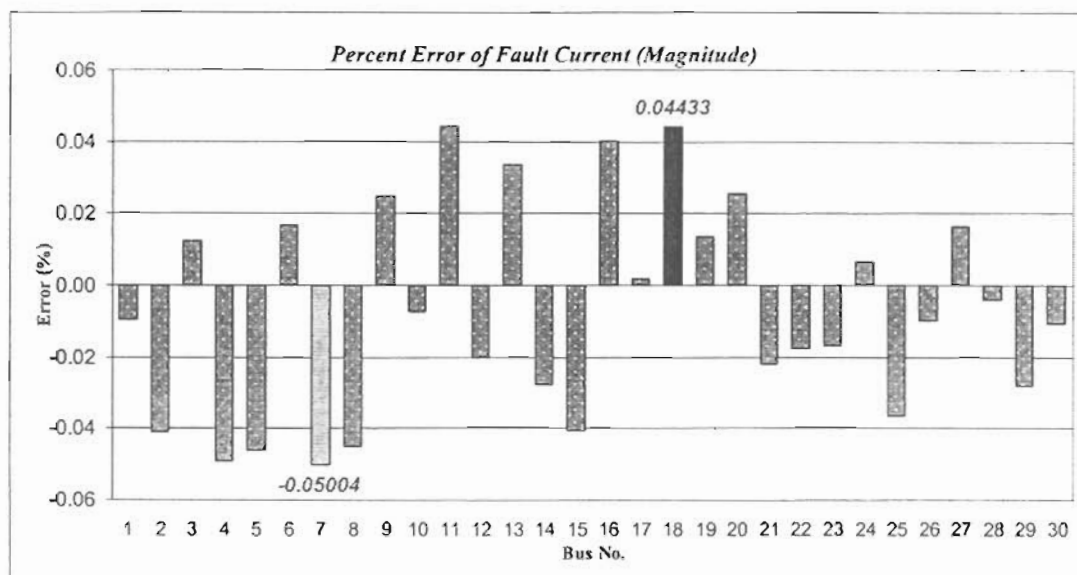
ภาพที่ 5-5 ค่าความคลาดเคลื่อนของโปรแกรมในการคำนวณค่ากระแสลัดวงจรในแต่ละบัส กรณีเกิดความผิดพร่องแบบสามเฟสสมดุลในระบบ IEEE 30 บัส

5.3.2 ผลการคำนวณกระแสลัดวงจรในกรณีเกิดความผิดพร่องแบบไม่สมดุล ในกรณีสายกับคืน ในผลทดสอบของโปรแกรมที่เขียนด้วยภาษาฟอร์แทรน 77 นี้ ผลการเปรียบเทียบค่าคำนวณของค่ากระแสลัดวงจรในแต่ละบัสของระบบ IEEE 30 บัสในกรณีเกิดผิดพร่องแบบไม่สมมาตรในกรณีสายกับคืน เปรียบเทียบกับโปรแกรม Power World เป็นกราฟแสดงค่าความคลาดเคลื่อนของการคำนวณเปรียบเทียบกับโปรแกรม Power World ซึ่งจะแสดงเป็นเปอร์เซนต์ความคลาดเคลื่อน ดังภาพที่ 5-6 โดยผลออกมานั้นค่าของกระแสลัดวงจร มีค่าคลาดเคลื่อนของขนาดกระแสลัดวงจรมากกว่า 1×10^{-6} หากได้จากค่า Absolute ของขนาดกระแสลัดวงจรจากโปรแกรม Power World ลบกับขนาดของกระแสลัดวงจรจากโปรแกรมที่ทำขึ้น แปลงเป็นเปอร์เซนต์ของความคลาดเคลื่อนของขนาดกระแสลัดวงจร ผลที่ได้ขนาดของกระแสลัดวงจรหั้ง 14 บัส จะมีความคลาดเคลื่อนมากที่สุดที่บัส 6 เท่ากับ -0.00050 p.u. กิตเป็น -0.05019 เปอร์เซนต์ หรือกิตเป็น 0.20919 Amp. ในผลของมนุษย์จะมีความคลาดเคลื่อนมากที่สุดที่บัส 27 เท่ากับ 0.00458 p.u. กิตเป็น 0.45817 เปอร์เซนต์ซึ่งมีค่าน้อยมาก ไม่มีผลต่อการวิเคราะห์ของระบบไฟฟ้าในด้านอื่นๆ



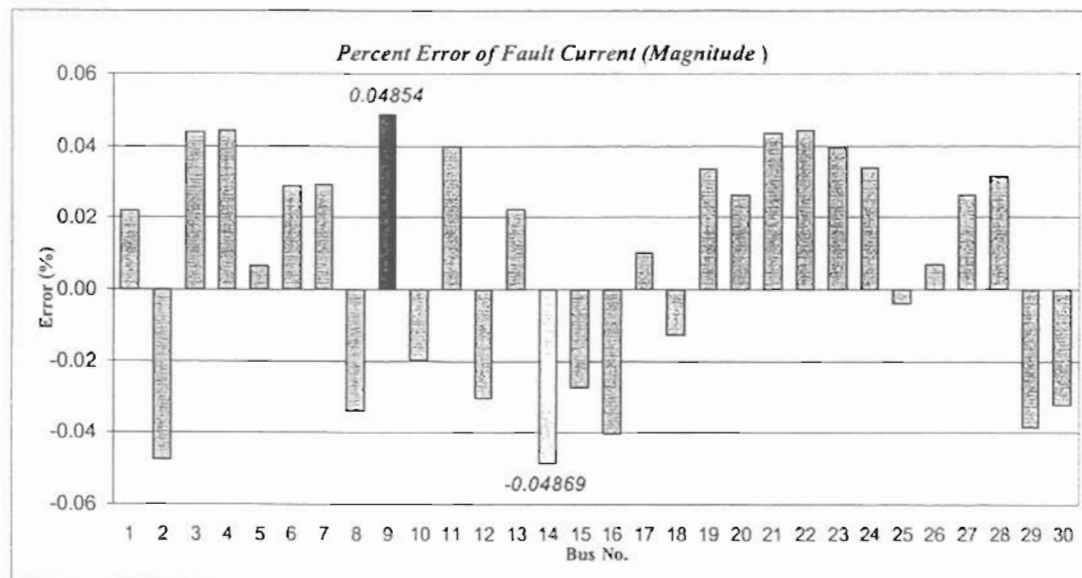
ภาพที่ 5-6 ค่าความคลาดเคลื่อนของโปรแกรมในการคำนวณค่ากระแสลัดวงจรในแต่ละบัส กรณีเกิดความผิดพร่องแบบสายกับคืนในระบบ IEEE 30 บัส

5.3.3 ผลการคำนวณกระแสลัดวงจรในกรณีเกิดความผิดพร่องแบบไม่สมดุล ในกรณีสายกับสาย ในผลทดสอบของโปรแกรมที่เขียนด้วยภาษาฟอร์แทรน77 นี้ ผลการเปรียบเทียบค่าคำนวณของค่ากระแสลัดวงจรในแต่ละบัสของระบบ IEEE 30 บัสในกรณีเกิดผิดพร่องแบบไม่สมมาตรในกรณีสายกับสาย เปรียบเทียบกับโปรแกรม Power World ซึ่งแปลงเป็นกราฟแสดงค่าความคลาดเคลื่อนของการคำนวณเปรียบเทียบกับโปรแกรม Power World ซึ่งเป็นเปอร์เซนต์ต่อเปอร์เซนต์ความคลาดเคลื่อน ดังภาพที่ 5-7 โดยผลออกมานี้ค่าของกระแสลัดวงจร มีค่าคลาดเคลื่อนของขนาดกระแสลัดวงจรมากกว่า 1×10^{-6} หากได้จากค่า Absolute ของขนาดแรงดันไฟฟ้าจากโปรแกรม Power World ลบกับขนาดของกระแสลัดวงจรสิ่งที่ได้ขนาดของกระแสลัดวงจรหั้ง 30 บัส จะมีความคลาดเคลื่อนมากที่สุดที่บัส 7 เท่ากับ -0.00050 p.u. คิดเป็น -0.05004 เปอร์เซนต์ หรือคิดเป็น 0.20919 Amp. ในผลของมนุกรมกระแสลัดวงจรจะมีความคลาดเคลื่อนมากที่สุดที่บัส 12 เท่ากับ -0.00464 p.u. คิดเป็น -0.46378 เปอร์เซนต์ ซึ่งมีค่าน้อยมาก ไม่มีผลต่อการวิเคราะห์ของระบบไฟฟ้าในด้านอื่นๆ



ภาพที่ 5-7 ค่าความคลาดเคลื่อนของโปรแกรมในการคำนวณค่ากระแสลัดวงจรในแต่ละบัส กรณีเกิดความผิดพร่องแบบสายกับสายในระบบ IEEE 30 บัส

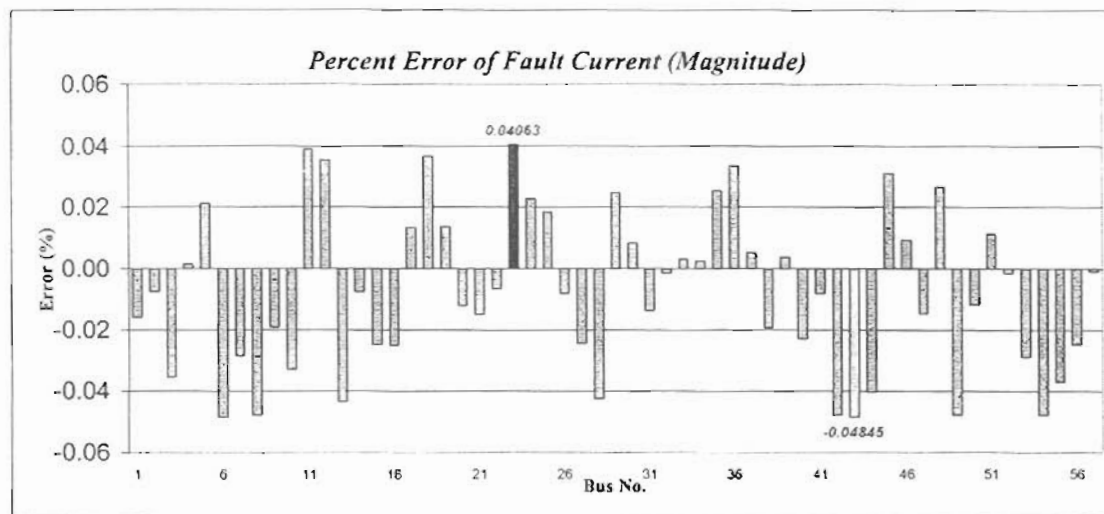
5.3.4 ผลการคำนวณกระแสลัดวงจรในกรณีเกิดความผิดพร่องแบบไม่สมดุลในกรณีสองสายกับдин ในผลทดสอบของโปรแกรมที่เขียนด้วยภาษาฟอร์แทรน77 นี้ ผลการเปรียบเทียบค่าคำนวณของค่ากระแสลัดวงจรในแต่ละบัสของระบบ IEEE 30 บัสในกรณีเกิดผิดพร่องแบบไม่สมมาตรในกรณีสองสายกับдин เปรียบเทียบกับโปรแกรม Power World ซึ่งแปลงเป็นกราฟแสดงค่าความคลาดเคลื่อนของการคำนวณเปรียบเทียบกับโปรแกรม Power World ซึ่งเป็นเปอร์เซนต์ต่อเปอร์เซนต์ความคลาดเคลื่อน ดังภาพที่ 5-8 โดยผลออกมาเป็นค่าของกระแสลัดวงจร มีค่าคลาดเคลื่อนของขนาดกระแสลัดวงจรมากกว่า 1×10^{-6} หากดูจากค่า Absolute ของขนาดกระแสลัดวงจรจากโปรแกรม Power World ลบกับขนาดของกระแสลัดวงจรจากโปรแกรมที่ทำขึ้น เป็นเปอร์เซนต์ของความคลาดเคลื่อนของขนาดกระแสลัดวงจร ผลที่ได้ขนาดของกระแสลัดวงจรหั้ง 30 บัส จะมีความเคลื่อนมากที่สุดที่บัส 14 เท่ากับ -0.00048 p.u. คิดเป็น -0.04869 เปอร์เซนต์ หรือคิดเป็น 0.20082 Amp. ในผลของมุมกระแสลัดวงจรจะมีความเคลื่อนมากที่สุดที่บัส 4 เท่ากับ 0.00485 p.u. คิดเป็น 0.48570 เปอร์เซนต์ ซึ่งมีค่าน้อยมากไม่มีผลต่อการวิเคราะห์ของระบบไฟฟ้าในด้านอื่นๆ



ภาพที่ 5-8 ค่าความคลาดเคลื่อนของโปรแกรมในการคำนวณค่ากระแสลัดวงจรในแต่ละบัส กรณีเกิดความผิดพร่องแบบสองสายกับдинในระบบ IEEE 30 บัส

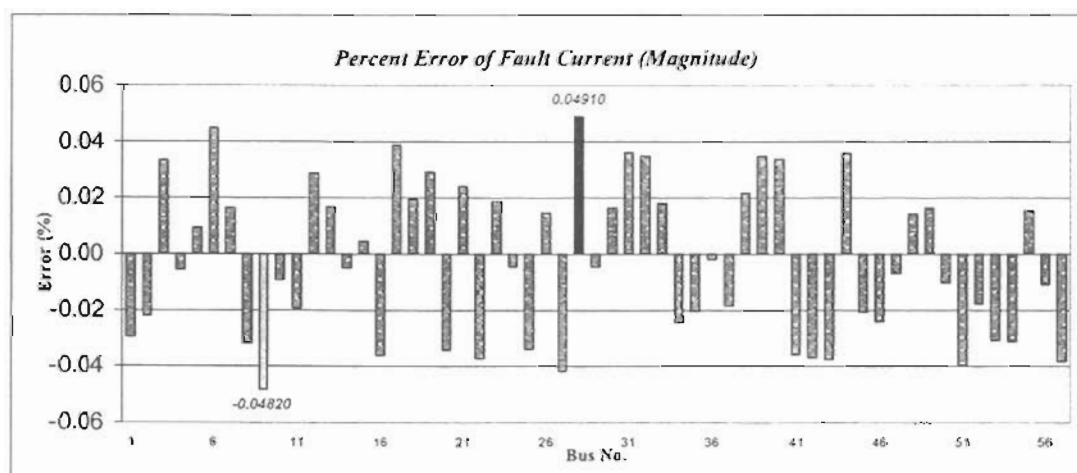
5.4 ผลวิเคราะห์กระแสลัดวงจรในสภาวะอยู่ตัวของระบบทดสอบ IEEE 57 บัส

5.4.1 ผลการคำนวณกระแสลัดวงจรในการณ์เกิดความผิดพร่องแบบสามคุลหรือสามเฟสสามคุล ในผลทดสอบของโปรแกรมที่เขียนด้วยภาษาฟอร์แทรน 77 นี้ ผลการเปรียบเทียบจะแสดงค่า คำนวณของค่ากระแสลัดวงจรในแต่ละบัสของระบบ IEEE 57 บัส ในกรณีเกิดผิดพร่องแบบ สามมาตรฐาน สามเฟสสามคุล เปรียบเทียบกับโปรแกรม Power World ซึ่งแปลงเป็นกราฟแสดงค่า ความคลาดเคลื่อนของการคำนวณเปรียบเทียบกับโปรแกรม Power World ซึ่งจะแสดงเป็น เปอร์เซ็นต์เปลอร์เซนต์ความคลาดเคลื่อน ดังภาพที่ 5-9 มีค่าคลาดเคลื่อนของขนาดกระแสลัดวงจร มากกว่า 1×10^{-6} หาได้จากค่า Absolute ของขนาดกระแสลัดวงจรจากโปรแกรม Power World ลบ กับขนาดของกระแสลัดวงจรจากโปรแกรมที่ทำขึ้น ผลที่ได้ขนาดของกระแสลัดวงจรทั้ง 57 บัส จะ มีความเคลื่อนมากที่สุดที่บัส 43 เท่ากับ -0.00048 p.u. คิดเป็น -0.04845 เปอร์เซนต์ ในผลของมุม กระแสลัดวงจรจะมีความเคลื่อนมากที่สุดที่บัส 39 เท่ากับ 0.00525 p.u. คิดเป็น 0.52478 เปอร์เซนต์ ซึ่งมีค่าน้อยมาก ไม่มีผลต่อการวิเคราะห์ของระบบไฟฟ้าในด้านอื่นๆ



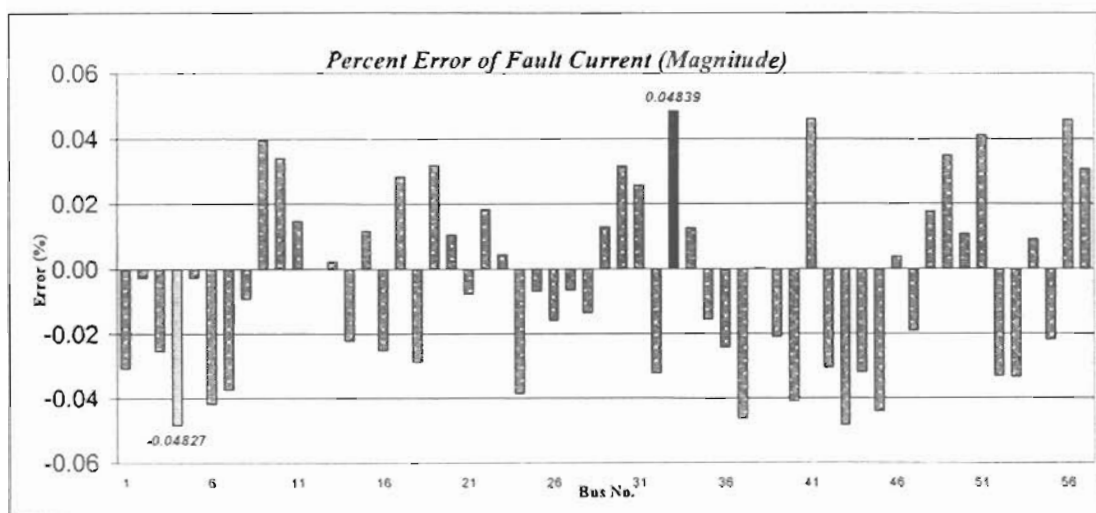
ภาพที่ 5-9 ค่าความคลาดเคลื่อนของโปรแกรมในการคำนวณค่ากระแสลัดวงจรในแต่ละบัส การณ์เกิดความผิดพร่องแบบสามเฟสสามคุลในระบบ IEEE 57 บัส

5.4.2 ผลการคำนวณกระแสลัดวงจรในกรณีเกิดความผิดพร่องแบบไม่สมดุลในการนี้สายกับดินในผลทดสอบของโปรแกรมที่เขียนด้วยภาษาฟอร์แทรน 77 นี้ ผลการเปรียบเทียบค่าคำนวณของค่ากระแสลัดวงจรในแต่ละบัสของระบบ IEEE 57 บัสในกรณีเกิดผิดพร่องแบบไม่สมมาตรในการนี้สายกับดิน เปรียบเทียบกับโปรแกรม Power World ซึ่งแปลงเป็นกราฟแสดงค่าความคลาดเคลื่อนของ การคำนวณเปรียบเทียบกับโปรแกรม Power World ซึ่งจะแสดงเป็นเปอร์เซ็นต์ค่าเปอร์เซนต์ ความคลาดเคลื่อน ดังภาพที่ 5-10 โดยผลออกมานี้ค่าของกระแสลัดวงจร มีค่าคลาดเคลื่อนของขนาดกระแสลัดวงจรมากกว่า 1×10^{-6} หาได้จากค่า Absolute ของขนาดกระแสลัดวงจรจากโปรแกรม Power World ลบกับขนาดของกระแสลัดวงจรจากโปรแกรมที่ทำขึ้น แปลงเป็นเปอร์เซนต์ของความคลาดเคลื่อนของขนาดกระแสลัดวงจร ผลที่ได้ขนาดของกระแสลัดวงจรทั้ง 14 บัส จะมีความเคลื่อนมากที่สุดที่บัส 28 เท่ากับ 0.00049 p.u. กิตเป็น 0.04910 เปอร์เซนต์ หรือคิดเป็น 0.20500 Amp. ในผลของมนุกรมรสลัดวงจรจะมีความเคลื่อนมากที่สุดที่บัส 5 เท่ากับ 0.0051 p.u. กิตเป็น 0.51077 เปอร์เซนต์ ซึ่งมีค่าน้อยมาก ไม่มีผลต่อการวิเคราะห์ของระบบไฟฟ้าในด้านอื่นๆ



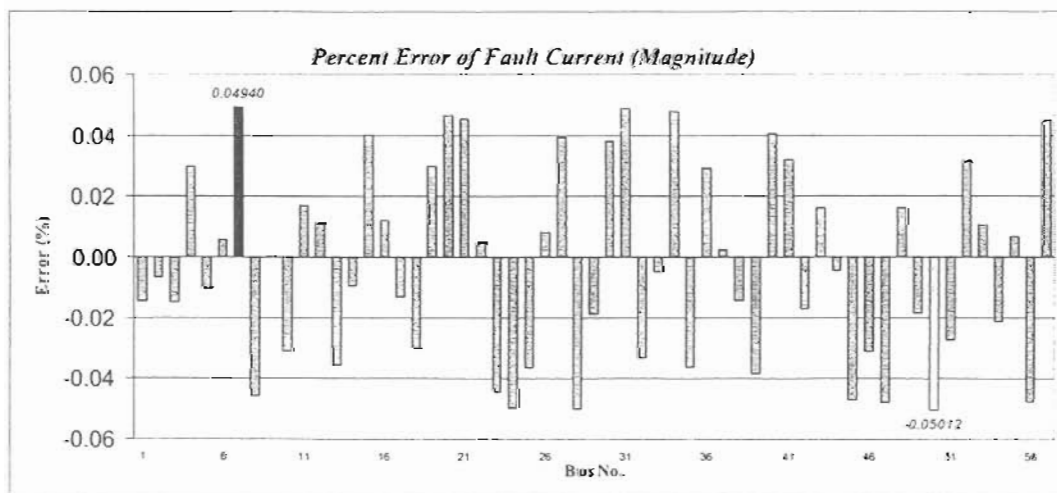
ภาพที่ 5-10 ค่าความคลาดเคลื่อนของโปรแกรมในการคำนวณค่ากระแสลัดวงจรในแต่ละบัสกรณีเกิดความผิดพร่องแบบสายกับดินในระบบ IEEE 57 บัส

5.4.3 ผลการคำนวณกระแสลัดวงจรในกรณีเกิดความผิดพร่องแบบไม่สมดุล ในกรณีสายกับสาย ในผลกระทบสอนของโปรแกรมที่เขียนด้วยภาษาฟอร์แมต 77 นี้ ซึ่งผลการเปรียบเทียบค่าคำนวณของค่ากระแสลัดวงจรในแต่ละบัสของระบบ IEEE 57 บัสในกรณีเกิดผิดพร่องแบบไม่สมมาตรในกรณีสายกับสาย เปรียบเทียบกับโปรแกรม Power World ซึ่งแปลงเป็นกราฟแสดงค่าความคลาดเคลื่อนของการคำนวณเปรียบเทียบกับโปรแกรม Power World ซึ่งเป็นปีอร์บูนิตต่อเปอร์เซนต์ความคลาดเคลื่อน ดังภาพที่ 5-11 โดยผลออกมานี้เป็นค่าของกระแสลัดวงจรที่มีค่าคลาดเคลื่อนของขนาดกระแสลัดวงจรมากกว่า 1×10^{-6} หาได้จากค่า Absolute ของขนาดกระแสลัดวงจรจากโปรแกรม Power World ลบกับขนาดของกระแสลัดวงจรจากโปรแกรมที่ทำขึ้น เป็นเปอร์เซนต์ของความคลาดเคลื่อนของขนาดกระแสลัดวงจร ผลที่ได้ขนาดของกระแสลัดวงจรทั้ง 57 บัส จะมีความเคลื่อนมากที่สุดที่บัส 33 เท่ากับ 0.00048 p.u. คิดเป็น 0.04839 เปอร์เซนต์ หรือคิดเป็น 0.20245 Amp. ในผลของมนุษย์จะมีความเคลื่อนมากที่สุดที่บัส 39 เท่ากับ 0.00524 p.u. คิดเป็น 0.52424 เปอร์เซนต์ซึ่งมีค่าน้อยมาก ไม่มีผลต่อการวิเคราะห์ของระบบไฟฟ้าในด้านอื่นๆ



ภาพที่ 5-11 ค่าความคลาดเคลื่อนของโปรแกรมในการคำนวณค่ากระแสลัดวงจรในแต่ละบัส
กรณีเกิดความผิดพร่องแบบสายกับสายในระบบ IEEE 57 บัส

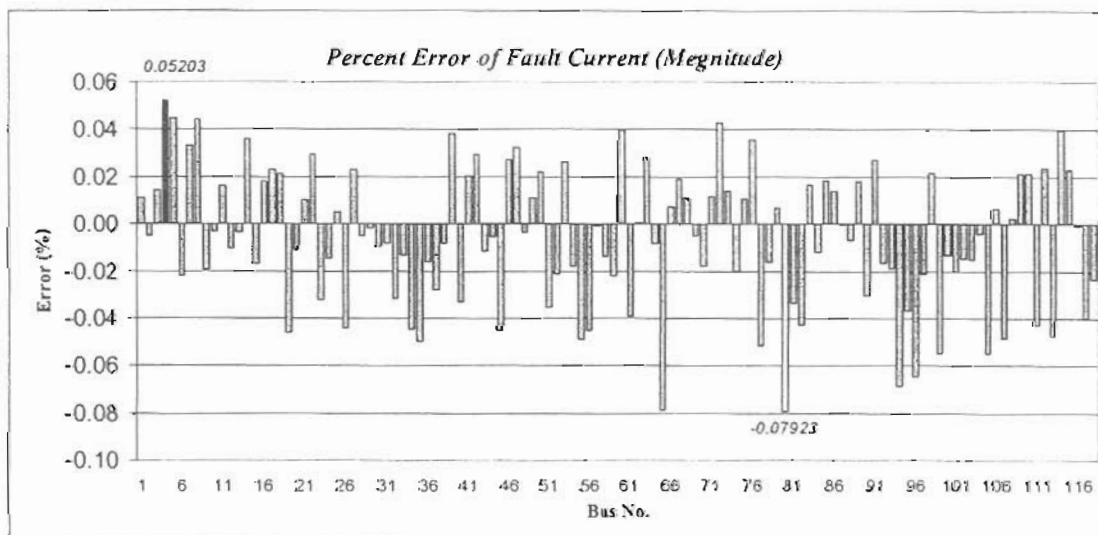
5.4.4 ผลการคำนวณกระแสลัดวงจรในกรณีเกิดความผิดพร่องแบบไม่สมดุลในการส่งสายกับดิน ในผลทดสอบของโปรแกรมที่เขียนด้วยภาษาฟอร์แทรน 77 นี้ ผลการเปรียบเทียบค่าคำนวณของค่ากระแสลัดวงจรในแต่ละบัสของระบบ IEEE 57 บัสในกรณีเกิดผิดพร่องแบบไม่สมมาตรในกรณีส่งสายกับดิน เปรียบเทียบกับโปรแกรม Power World ซึ่งแปลงเป็นกราฟแสดงค่าความคลาดเคลื่อนของการคำนวณเปรียบเทียบกับโปรแกรม Power World ซึ่งเป็นปีอร์ยูนิตต่อเปอร์เซนต์ความความคลาดเคลื่อน ดังภาพที่ 5-12 โดยผลออกมานั้นค่าของกระแสลัดวงจร มีค่าคลาดเคลื่อนของขนาดกระแสลัดวงจรมากกว่า 1×10^{-6} หากได้จากค่า Absolute ของขนาดกระแสลัดวงจรจากโปรแกรม Power World ลบกับขนาดของกระแสลัดวงจรจากโปรแกรมที่ทำขึ้น แปลงเป็นปีอร์เซนต์ของความคลาดเคลื่อนของขนาดกระแสลัดวงจร ผลที่ได้ขนาดของกระแสลัดวงจรหั้ง 30 บัส จะมีความคลาดเคลื่อนมากที่สุดที่บัส 50 เท่ากับ -0.00050 p.u. คิดเป็น -0.05012 เปอร์เซนต์หรือเป็น 0.209693 Amp. ในผลของมุมกระแสลัดวงจรจะมีความคลาดเคลื่อนมากที่สุดที่บัส 12 เท่ากับ 0.00488 p.u. คิดเป็น 0.48868 เปอร์เซนต์ ซึ่งมีค่าน้อยมาก ไม่มีผลต่อการวิเคราะห์ของระบบไฟฟ้าในด้านอื่นๆ



ภาพที่ 5-12 ค่าความคลาดเคลื่อนของโปรแกรมในการคำนวณค่ากระแสลัดวงจรในแต่ละบัสกรณีเกิดความผิดพร่องแบบส่งสายกับดินในระบบ IEEE 57 บัส

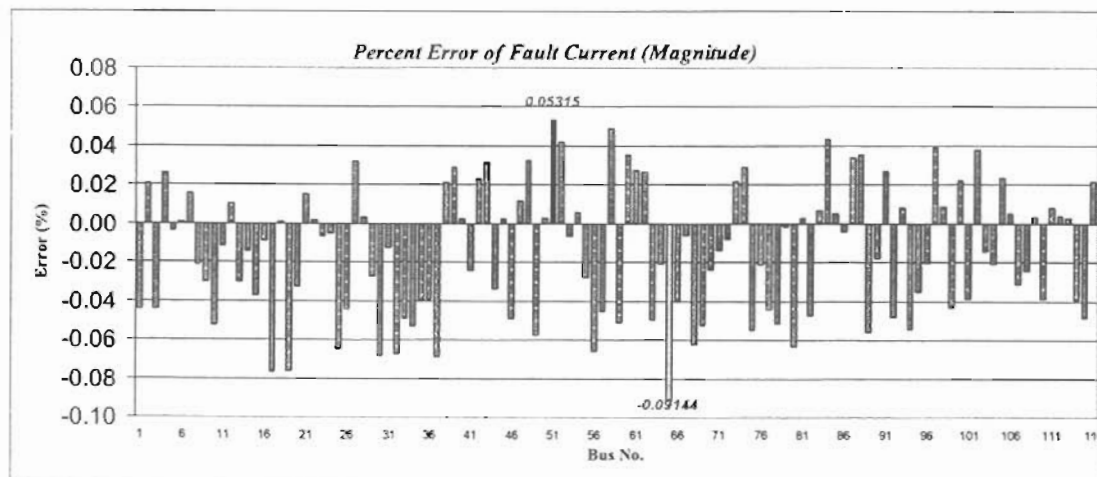
5.5 ผลวิเคราะห์กระแสลัดวงจรในสภาวะอยู่ด้วยของระบบทดสอบ IEEE 118 บัส

5.5.1 ผลการคำนวณกระแสลัดวงจรในกรณีเกิดความผิดพร่องแบบสมดุลหรือสามเฟสสมดุล ในผลทดสอบของโปรแกรมที่เขียนด้วยภาษาฟอร์แทรน 77 นี้ ผลการเปรียบเทียบค่าคำนวณของค่ากระแสลัดวงจรในแต่ละบัสของระบบ IEEE 118 บัสในกรณีเกิดผิดพร่องแบบสมมาตรหรือสามเฟสสมดุล เปรียบเทียบกับโปรแกรม Power World ซึ่งแปลงเป็นกราฟแสดงค่าความคลาดเคลื่อนของการคำนวณเปรียบเทียบกับโปรแกรม Power World ซึ่งจะแสดงเป็นเปอร์เซนต์ต่อเปอร์เซนต์ ความคลาดเคลื่อน ดังภาพที่ 5-13 มีค่าคลาดเคลื่อนของขนาดกระแสลัดวงจรมากกว่า 1×10^{-6} หากได้จากค่า Absolute ของขนาดกระแสลัดวงจรจากโปรแกรม Power World ลบกับขนาดของกระแสลัดวงจรจากโปรแกรมที่ทำขึ้น ผลที่ได้ขนาดของกระแสลัดวงจรหั้ง 118 บัส จะมีความคลาดเคลื่อนมากที่สุดที่บัส 80 เท่ากับ -0.00079 p.u. คิดเป็น -0.07923 เปอร์เซนต์ หรือเป็น 0.3313 Amp. ในผลของมนุษย์กระแสลัดวงจรจะมีความคลาดเคลื่อนมากที่สุดที่บัส 22 เท่ากับ 0.00543 p.u. คิดเป็น 0.54308 เปอร์เซนต์ซึ่งมีค่าน้อยมาก ไม่มีผลต่อการวิเคราะห์ของระบบไฟฟ้าในด้านอื่นๆ



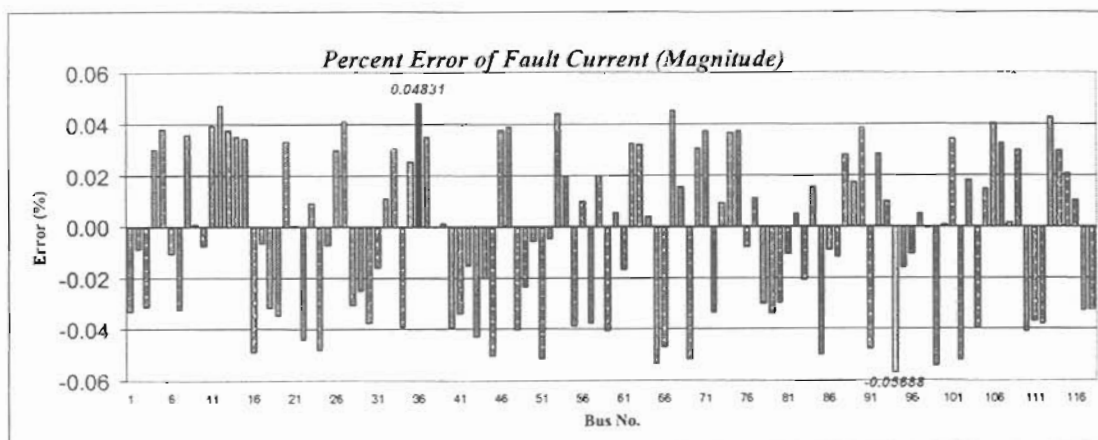
ภาพที่ 5-13 ค่าความคลาดเคลื่อนของกระแสลัดวงจรในแต่ละบัสกรณีเกิดความผิดพร่องแบบสมดุลในระบบ IEEE 118 บัส

5.5.2 ผลการคำนวณกระแสลัดวงจรในกรณีเกิดความผิดพร่องแบบไม่สมดุลในกรณีสายกับดิน ในผลทดสอบของโปรแกรมที่เขียนด้วยภาษาฟอร์แทรน77 นี้ ผลการเปรียบเทียบค่าคำนวณของค่ากระแสลัดวงจรในแต่ละบัสของระบบ IEEE 118 บัสในกรณีเกิดผิดพร่องแบบไม่สมมาตรในกรณีสายกับดิน เปรียบเทียบกับโปรแกรม Power World ซึ่งแปลงเป็นกราฟแสดงค่าความคลาดเคลื่อนของการคำนวณเปรียบเทียบกับโปรแกรม Power World ซึ่งจะแสดงเป็นปอร์เซนต์ต่อ เปอร์เซนต์ความคลาดเคลื่อน ดังภาพที่ 5-14 โดยผลออกมาเป็นค่าของกระแสลัดวงจร มีค่าคลาดเคลื่อนของการคำนวณมากกว่า 1×10^{-6} หาได้จากค่า Absolute ของขนาดกระแสลัดวงจรจากโปรแกรม Power World ลบกับขนาดของกระแสลัดวงจรจากโปรแกรมที่ทำขึ้น แปลงเป็นเปอร์เซนต์ของความคลาดเคลื่อนของการคำนวณกระแสลัดวงจร ผลที่ได้ขนาดของกระแสลัดวงจรทั้ง 118 บัส จะมีความคลาดเคลื่อนมากที่สุดที่บัส 65 เท่ากับ -0.00091 p.u. กิตเป็น -0.09144 เปอร์เซนต์หรือกิตเป็น 0.38240 Amp. ในผลของนิยมกระแสลัดวงจรจะมีความคลาดเคลื่อนมากที่สุดที่บัส 67 เท่ากับ -0.0091 p.u. กิตเป็น -0.91793 เปอร์เซนต์ ซึ่งมีค่าน้อยมาก ไม่มีผลต่อการวิเคราะห์ของระบบไฟฟ้าในด้านอื่นๆ



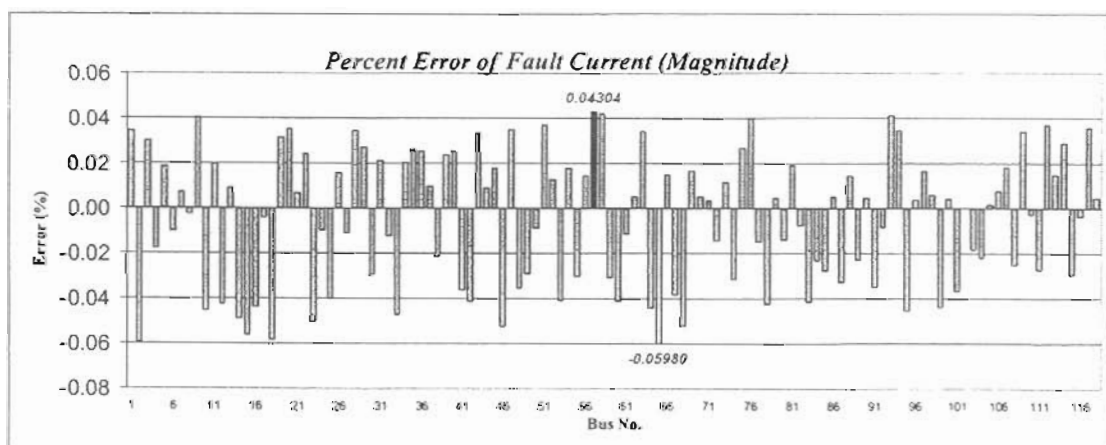
ภาพที่ 5-14 ค่าความคลาดเคลื่อนของโปรแกรมในการคำนวณค่ากระแสลัดวงจรในแต่ละบัสกรณีเกิดความผิดพร่องแบบสายกับดินในระบบ IEEE 118 บัส

5.5.3 ผลการคำนวณกระแสลัดวงจรในกรณีเกิดความผิดพร่องแบบไม่สมดุล ในกรณีสายกับสาย ในผลกระทบของโปรแกรมที่เขียนด้วยภาษาฟอร์แทรน 77 นี้ ผลการเปรียบเทียบค่าคำนวณของค่ากระแสลัดวงจรในแต่ละบัสของระบบ IEEE 118 บัสในกรณีเกิดผิดพร่องแบบไม่สมมาตรในกรณีสายกับสาย เปรียบเทียบกับโปรแกรม Power World ซึ่งแปลงเป็นกราฟแสดงค่าความคลาดเคลื่อนของการคำนวณเปรียบเทียบกับโปรแกรม Power World ซึ่งเป็นปอร์ยูนิตต่อเบอร์เซนต์ความคลาดเคลื่อน ดังภาพที่ 5-15 โดยผลออกมานั้นค่าของกระแสลัดวงจร มีค่าคลาดเคลื่อนของขนาดกระแสลัดวงจรมากกว่า 1×10^{-6} หาได้จากค่า Absolute ของขนาดกระแสลัดวงจรจากโปรแกรม Power World ลบกับขนาดของกระแสลัดวงจรจากโปรแกรมที่ทำขึ้น แปลงเป็นปอร์เซนต์ของความคลาดเคลื่อนของขนาดกระแสลัดวงจร ผลที่ได้ขนาดของกระแสลัดวงจรทั้ง 118 บัส จะมีความคลาดเคลื่อนมากที่สุดที่บัส 94 เท่ากับ -0.00057 p.u. คิดเป็น -0.05688 เปอร์เซนต์หรือคิดเป็น 0.23847 Amp. ในผลของมนุษย์จะระดับความคลาดเคลื่อนมากที่สุดที่บัส 22 เท่ากับ 0.00543 p.u. คิดเป็น 0.54262 เปอร์เซนต์ ซึ่งมีค่าน้อยมาก ไม่มีผลต่อการวิเคราะห์ของระบบไฟฟ้าในด้านอื่นๆ



ภาพที่ 5-15 ท่าความคลาดเคลื่อนของโปรแกรมในการคำนวณค่ากระแสลัดวงจรในแต่ละบัสกรณีเกิดความผิดพร่องแบบสายกับสายในระบบ IEEE 118 บัส

5.5.4 ผลการคำนวณกระแสลัดวงจรในกรณีเกิดความผิดพร่องแบบไม่สมดุลในกรณีส่งสายกับคืนในผลทดสอบของโปรแกรมที่เขียนด้วยภาษาฟอร์แทรน 77 นี้ ผลการเปรียบเทียบค่าคำนวณของค่ากระแสลัดวงจรในแต่ละบัสของระบบ IEEE 118 บัสในกรณีเกิดผิดพร่องแบบไม่สมมาตรในกรณีส่งสายกับคืน เปรียบเทียบกับโปรแกรม Power World เป็นกราฟแสดงค่าความคลาดเคลื่อนของการคำนวณเปรียบเทียบกับโปรแกรม Power World ซึ่งเป็นปีอร์ยูนิตต่อปีอร์เซนต์ความคลาดเคลื่อน ดังภาพที่ 5-16 โดยผลออกมาน่าจะถูกต้องมากกว่า 1×10^{-6} หากจากค่า Absolute ของขนาดกระแสลัดวงจรจากโปรแกรม Power World ลบกับขนาดของกระแสลัดวงจรจากโปรแกรมที่ทำขึ้น แปลงเป็นปีอร์เซนต์ของความคลาดเคลื่อนของขนาดกระแสลัดวงจร ผลที่ได้ขนาดของกระแสลัดวงจรทั้ง 118 บัส จะมีความคลาดเคลื่อนมากที่สุดที่บัส 65 เท่ากับ -0.00060 p.u. กิตเป็น -0.05980 ปีอร์เซนต์หรือกิตเป็น 0.250192 Amp. ในผลของมนุษย์จะเห็นความคลาดเคลื่อนมากที่สุดที่บัส 4 เท่ากับ -0.00619 p.u. กิตเป็น -0.61991 ปีอร์เซนต์ซึ่งมีค่าน้อยมาก ไม่มีผลต่อการวิเคราะห์ของระบบไฟฟ้าในด้านอื่นๆ



ภาพที่ 5-16 ค่าความคลาดเคลื่อนของโปรแกรมในการคำนวณค่ากระแสลัดวงจรในแต่ละบัสในกรณีเกิดความผิดพร่องแบบส่งสายกับคืนในระบบ IEEE 118 บัส

จากการคำนวณกระแสลัดวงจรของโปรแกรมที่เขียนด้วยภาษาฟอร์แทรน 77 แล้ว นำมาเปรียบเทียบกับโปรแกรม Power World ปรากฏว่าค่าที่ได้จากโปรแกรมภาษาฟอร์แทรน 77 มีค่าใกล้เคียงกันมาก โดยมีค่าความคลาดเคลื่อนของกระแสลัดวงจรอยู่ที่ 1×10^{-6} และค่าความคลาดเคลื่อนของมนุษย์จะอยู่ที่ 1×10^{-5} ซึ่งค่ากระแสลัดวงจรในกรณีผิดพร่องแบบ

สมดุลและไม่แบบสมดุลเมื่อวิเคราะห์การเกิดที่บัสนั้นจะเห็นว่าค่ากระแสลัดวงจรในแบบไม่สมดุล
ในการณีสายกับคินนั้นมีค่าขนาดสูงกว่าความผิดพร่องชนิดอื่น ซึ่งโดยปกติแล้วการเกิดความผิด
พร่องกรณีสายกับคินจะเกิดขึ้นบ่อยครั้งกว่าความผิดพร่องชนิดอื่นคิดเป็น 70 เปอร์เซนต์ของ
ความผิดพร่องที่เกิดบนสายส่งทั้งหมด โดยความผิดพร่องแบบสมดุลคิดเป็น 5 เปอร์เซนต์ แบบ
กรณีสองสายกับคินคิดเป็น 10 เปอร์เซนต์ และ แบบกรณีสายกับสายคิดเป็น 15 เปอร์เซนต์

5.6 ผลวิเคราะห์แรงดันไฟฟ้าที่บัสในสภาพอยู่ตัวของระบบทดสอบ IEEE 14 บัส

ในการวิเคราะห์ระบบไฟฟ้าได้สมมุติการเกิดความผิดพร่องขึ้นที่บัส 1 ทั้งแบบสมดุลและ
แบบไม่สมดุล เนื่องจากผลจากการวิเคราะห์จะถูกๆๆ เฟส และทุกบัสและเปรียบเทียบกันทำให้มี
ข้อมูลมาก แต่ผู้จัดทำได้เลือกรอบ IEEE 14 บัส และเปรียบเทียบกับโปรแกรม Power World
เพื่อให้ทราบถึงความคลาดเคลื่อนของโปรแกรม

5.6.1 ผลคำนวณแรงดันไฟฟ้าที่บัสในกรณีเกิดความผิดพร่องแบบสมดุลหรือสามเฟสสมดุล

ตารางที่ 5-1 เมริตรเปรียบเทียบค่าคำนวณแรงดันไฟฟ้า (Phase B) ที่บัสเมื่อเกิดความผิดพร่องสามเฟส

สมดุลกับโปรแกรม Power World ในระบบของ IEEE 14 Bus

Bus_no.	Voltage (P.U.)		Error (pu.)	Error (%)
	Power World	Fortran 77		
1	0.00000	0.00000	0.00000	0.00000
2	0.16233	0.16233	0.00000	0.00027
3	0.28840	0.28840	0.00000	0.00028
4	0.24346	0.24346	0.00000	0.00019
5	0.21749	0.21749	0.00000	0.00020
6	0.38855	0.38855	0.00000	0.00043
7	0.37077	0.37077	0.00000	0.00006
8	0.50252	0.50252	0.00000	0.00015
9	0.35452	0.35452	0.00000	0.00024
10	0.35782	0.35782	0.00000	0.00002
11	0.37154	0.37154	0.00000	0.00012
12	0.37215	0.37215	0.00000	0.00026
13	0.35875	0.35875	0.00000	0.00046
14	0.35000	0.35001	0.00001	0.00054

ตารางที่ 5-1 แสดงผลการคำนวณแรงดันไฟฟ้าที่บัสในขณะเกิดความผิดพร่อง โดยแสดงผลออกมาเป็นค่าความคลาดเคลื่อนของขนาดกระแสลัดวงจรมากกว่า 1×10^{-8} โดยคอลัมน์ที่ 1 แสดงบัส คอลัมน์ที่ 2 แสดงขนาดแรงดันไฟฟ้าที่บัสเป็นเปอร์เซ็นต์ของโปรแกรม Power World คอลัมน์ที่ 3 แสดงขนาดแรงดันไฟฟ้าที่บัสเป็นเปอร์เซ็นต์ของโปรแกรมที่ทำขึ้น (Fortran 77) คอลัมน์ที่ 4 แสดงความคลาดเคลื่อนของแรงดันไฟฟ้า (Error) เป็นเปอร์เซ็นต์ หาได้จากค่า Absolute ของขนาดแรงดันไฟฟ้าจากโปรแกรม Power World ลบกับขนาดแรงดันไฟฟ้าจากโปรแกรมที่ทำขึ้น และคอลัมน์ที่ 5 แสดงเปอร์เซนต์ของความคลาดเคลื่อนของแรงดันไฟฟ้า ผลที่ได้ขนาดของกระแสลัดวงจรทั้ง 14 บัสโดยจะมีความคลาดเคลื่อนมากที่สุดที่บัส 14 เท่ากับ -0.00001 p.u. คิดเป็น -0.00054 เปอร์เซนต์ ซึ่งมีค่าน้อยมาก ไม่มีผลต่อการวิเคราะห์ของระบบไฟฟ้าในด้านอื่นๆ

5.6.2 ผลการคำนวณแรงดันไฟฟ้าที่บัสในการณ์เกิดความผิดพร่องแบบไม่สมดุลในการณ์สายกับดิน

ตารางที่ 5-2 เปรียบเทียบค่าคำนวณแรงดันไฟฟ้า (Phase B) ที่บัสเมื่อเกิดความผิดพร่องแบบไม่สมดุลกรณ์สายกับดินกับโปรแกรม Power World ในระบบของ IEEE 14 Bus

Bus_no.	Voltage (P.U.)		Error (p.u.)	Error (%)
	Power World	Fortran 77		
1	1.21440	1.21440	0.00000	0.00010
2	1.17213	1.17213	0.00000	-0.00045
3	1.11282	1.11282	0.00000	-0.00004
4	1.12899	1.12899	0.00000	-0.00050
5	1.13352	1.13352	0.00000	-0.00044
6	1.18112	1.18112	0.00000	-0.00043
7	1.17085	1.17085	0.00000	0.00040
8	1.15276	1.15276	0.00000	0.00021
9	1.17213	1.17213	0.00000	0.00016
10	1.16762	1.16762	0.00000	-0.00029
11	1.17142	1.17143	-0.00001	-0.00088
12	1.15425	1.15425	0.00000	-0.00011
13	1.13195	1.13195	0.00000	0.00003
14	1.14044	1.14044	0.00000	-0.00042

ตารางที่ 5-2 แสดงผลการคำนวณแรงดันไฟฟ้าที่บัสในขณะเกิดความผิดพร่อง โดยแสดงผลของมันเป็นค่าความคลาดเคลื่อนของขนาดกระแสลัดวงจรมากกว่า 1×10^{-8} โดยคอลัมน์ที่ 1 แสดงบัส คอลัมน์ที่ 2 แสดงขนาดแรงดันไฟฟ้าที่บัสเป็นเปอร์เซ็นต์ของโปรแกรม Power World คอลัมน์ที่ 3 แสดงขนาดแรงดันไฟฟ้าที่บัสเป็นเปอร์เซ็นต์ของโปรแกรมที่ทำขึ้น (Fortran 77) คอลัมน์ที่ 4 แสดงความคลาดเคลื่อนของแรงดันไฟฟ้า (Error) เป็นเปอร์เซ็นต์ หาได้จากค่า Absolute ของขนาดแรงดันไฟฟ้าจากโปรแกรม Power World ลบกับขนาดแรงดันไฟฟ้าจากโปรแกรมที่ทำขึ้น และคอลัมน์ที่ 5 แสดงเปอร์เซนต์ของความคลาดเคลื่อนของแรงดันไฟฟ้า ผลที่ได้ขนาดของกระแสลัดวงจรทั้ง 14 บัส โดยจะมีความคลาดเคลื่อนมากที่สุดที่บัส 11 เท่ากับ -0.00001 p.u. คิดเป็น -0.00088 เปอร์เซนต์ ซึ่งมีค่าน้อยมาก ไม่มีผลต่อการวิเคราะห์ของระบบไฟฟ้าในด้านอื่นๆ

5.6.3 ผลการคำนวณแรงดันไฟฟ้าที่บัสในกรณีเกิดความผิดพร่องแบบไม่สมดุลในการผังสาย

ตารางที่ 5-3 เปรียบเทียบค่าคำนวณแรงดันไฟฟ้า (Phase B) ที่บัสเมื่อเกิดความผิดพร่องแบบไม่สมดุลกรณีสายกับสายกับโปรแกรม Power World ในระบบของ IEEE 14 Bus

Bus_no.	Voltage (P.U.)		Error (pu.)	Error (%)
	Power World	Fortran 77		
1	0.53000	0.53000	0.00000	0.00001
2	0.58665	0.58666	-0.00001	-0.00071
3	0.63226	0.63226	0.00000	-0.00016
4	0.61715	0.61715	0.00000	-0.00007
5	0.60675	0.60676	-0.00001	-0.00071
6	0.69203	0.69203	0.00000	-0.00036
7	0.67650	0.67650	0.00000	-0.00024
8	0.74275	0.74276	-0.00001	-0.00075
9	0.66583	0.66584	-0.00001	-0.00069
10	0.66535	0.66536	-0.00001	-0.00070
11	0.67587	0.67588	-0.00001	-0.00083
12	0.66765	0.66765	0.00000	-0.00019
13	0.64733	0.64733	0.00000	-0.00035
14	0.64601	0.64601	0.00000	-0.00022

ตารางที่ 5-3 แสดงผลการคำนวณแรงดันไฟฟ้าที่บัสในขณะเกิดความผิดพร่อง โดยแสดงผลออกมานเป็นค่าความคลาดเคลื่อนของขนาดกระแสลัดวงจรมากกว่า 1×10^{-8} โดยคอลัมน์ที่ 1 แสดงบัส คอลัมน์ที่ 2 แสดงขนาดแรงดันไฟฟ้าที่บัสเป็นเปอร์เซ็นต์ของโปรแกรม Power World คอลัมน์ที่ 3 แสดงขนาดแรงดันไฟฟ้าที่บัสเป็นเปอร์เซ็นต์ของโปรแกรมที่ทำขึ้น (Fortran 77) คอลัมน์ที่ 4 แสดงความคลาดเคลื่อนของแรงดันไฟฟ้า (Error) เป็นเปอร์เซ็นต์ หาได้จากค่า Absolute ของขนาดแรงดันไฟฟ้าจากโปรแกรม Power World ลบกับขนาดแรงดันไฟฟ้าจากโปรแกรมที่ทำขึ้น และคอลัมน์ที่ 5 แสดงเปอร์เซนต์ของความคลาดเคลื่อนของแรงดันไฟฟ้า ผลที่ได้ขนาดของกระแสลัดวงจรทั้ง 14 บัสโดยจะมีความคลาดเคลื่อนมากที่สุดที่บัส 8 เท่ากับ -0.00001 p.u. คิดเป็น -0.00075 เปอร์เซนต์ ซึ่งมีค่าน้อยมาก ไม่มีผลต่อการวิเคราะห์ของระบบไฟฟ้าในด้านอื่นๆ

5.6.4 ผลการคำนวณแรงดันไฟฟ้าที่บัสในกรณีเกิดความผิดพร่องแบบไม่สมดุลในกรณีสองสายกับดิน

ตารางที่ 5-4 เปรียบเทียบค่าคำนวณแรงดันไฟฟ้า (Phase A) ที่บัสเมื่อเกิดความผิดพร่องแบบไม่สมดุลกรณีสองสายกับดินกับโปรแกรม Power World ในระบบของ IEEE 14 Bus

Bus_no.	Voltage (P.U.)		Error (pu.)	Error (%)
	Power World	Fortran 77		
1	1.17957	1.17957	0.00000	-0.00028
2	1.10470	1.10470	0.00000	0.00043
3	1.01937	1.01937	0.00000	0.00014
4	1.04324	1.04324	0.00000	0.00006
5	1.05280	1.05280	0.00000	0.00023
6	1.09532	1.09532	0.00000	0.00007
7	1.08475	1.08475	0.00000	0.00041
8	1.07847	1.07847	0.00000	0.00022
9	1.07955	1.07956	-0.00001	-0.00053
10	1.07586	1.07586	0.00000	-0.00027
11	1.08246	1.08247	-0.00001	-0.00084
12	1.06559	1.06559	0.00000	-0.00025
13	1.04414	1.04414	0.00000	0.00016
14	1.04770	1.04770	0.00000	0.00039

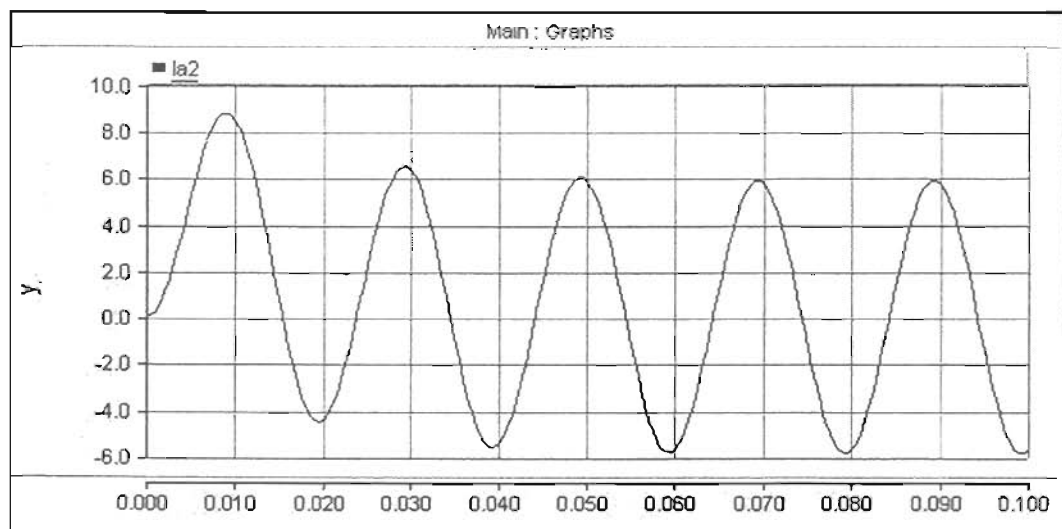
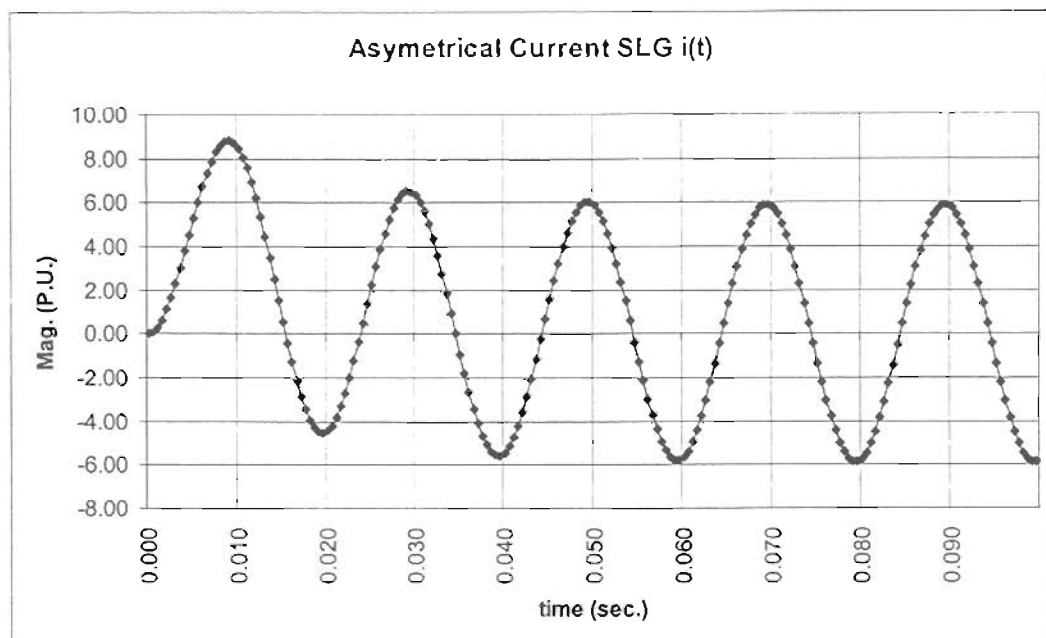
ตารางที่ 5-4 แสดงผลการคำนวณแรงดันไฟฟ้าที่บัสในขณะเกิดความผิดพร่อง โดยแสดงผลออกมานเป็นค่าความคลาดเคลื่อนของขนาดกระแสลัดวงจรมากกว่า 1×10^{-8} โดยคอลัมน์ที่ 1 แสดงบัส คอลัมน์ที่ 2 แสดงขนาดแรงดันไฟฟ้าที่บัสเป็นเปอร์เซ็นต์ของโปรแกรม Power World คอลัมน์ที่ 3 แสดงขนาดแรงดันไฟฟ้าที่บัสเป็นเปอร์เซ็นต์ของโปรแกรมที่ทำขึ้น (Fortran 77) คอลัมน์ที่ 4 แสดงความคลาดเคลื่อนของแรงดันไฟฟ้า (Error) เป็นเปอร์เซ็นต์ หาได้จากค่า Absolute ของขนาดแรงดันไฟฟ้าจากโปรแกรม Power World ลบกับขนาดแรงดันไฟฟ้าจากโปรแกรมที่ทำขึ้น และคอลัมน์ที่ 5 แสดงเปอร์เซนต์ของความคลาดเคลื่อนของแรงดันไฟฟ้า ผลที่ได้ขนาดของกระแสลัดวงจรทั้ง 14 บัสโดยจะมีความคลาดเคลื่อนมากที่สุดที่บัส 11 เท่ากับ -0.00001 p.u. คิดเป็น -0.00084 เปอร์เซนต์ ซึ่งมีค่าน้อยมาก ไม่มีผลต่อการวิเคราะห์ของระบบไฟฟ้าในด้านอื่นๆ

จากผลทดสอบแรงดันไฟฟ้าที่บัสในขณะเกิดความผิดพร่องด้วยการเปรียบเทียบของโปรแกรม Fortran 77 กับ Power World โดยในระบบทดสอบ IEEE 30 บัส IEEE 57 บัส และ IEEE 118 บัสได้ทำการทดสอบและเปรียบเทียบกันพบว่าค่าความคลาดเคลื่อนอยู่ในระดับ 1×10^{-6} เปอร์เซนต์ และเมื่อเกิดความผิดพร่องแรงดันไฟฟ้าที่บัสใดบัสหนึ่งทำให้บัสใกล้เคียงบริเวณที่เกิดความผิดพร่องมีค่าการเปลี่ยนแปลงที่สูงถึงแม้จะเป็นเวลาอันสั้น ซึ่งจะทำให้อุปกรณ์ไฟฟ้าในบริเวณดังกล่าวเกิดความเสียหายได้และเราสามารถออกแบบและเลือกอุปกรณ์ป้องกันใช้ในระบบ

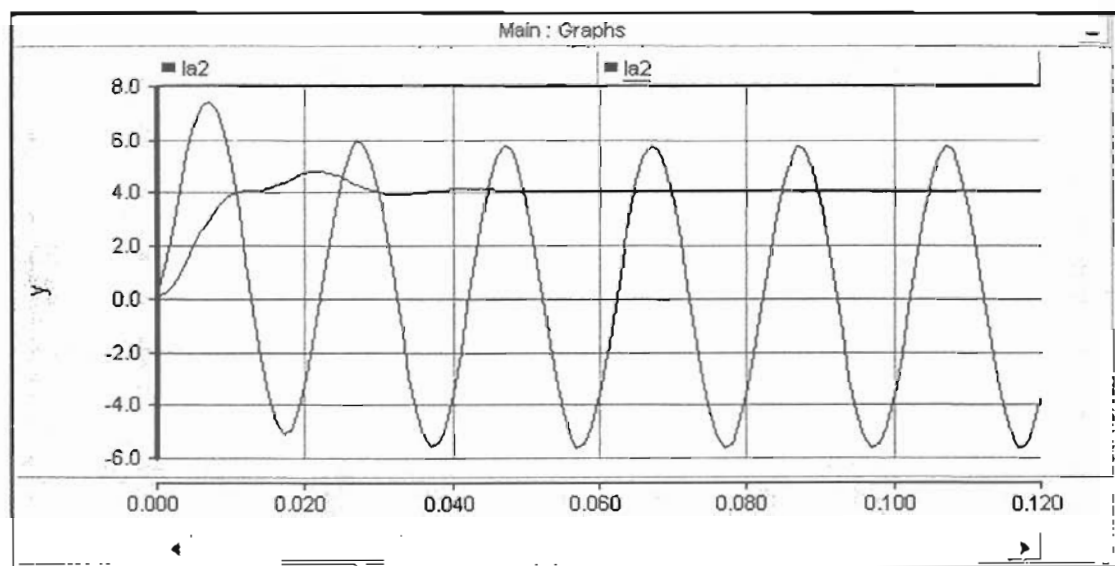
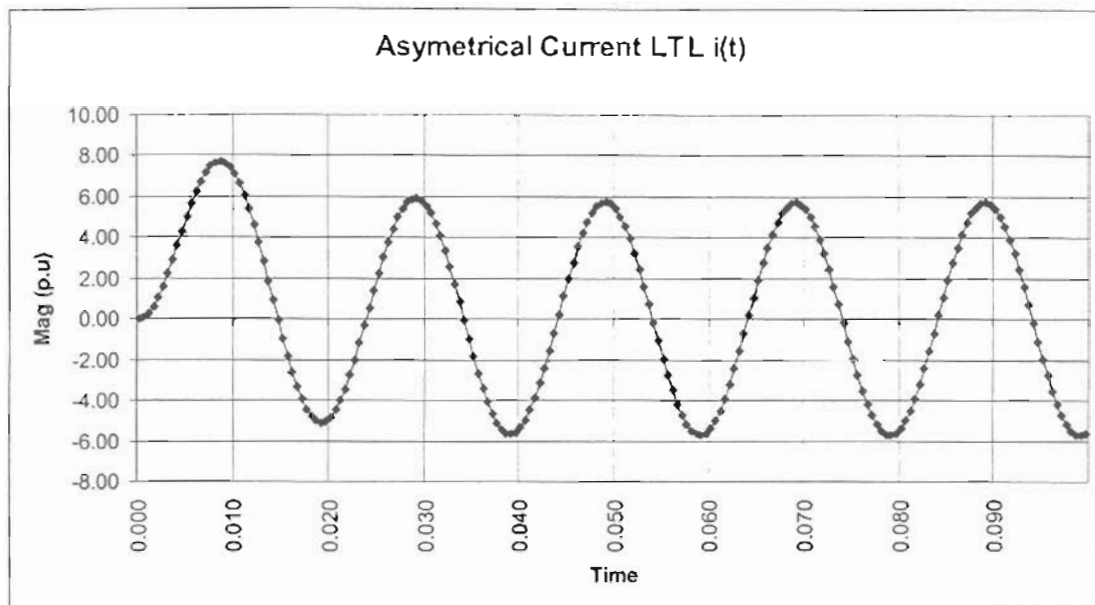
5.7 ผลการคำนวณกระแสลัดวงจรแบบไม่สมมาตรที่บัสในกรณีเกิดความผิดพร่อง

ในการทดสอบกระแสลัดวงจรที่คำนวณจากโปรแกรมภาษา Fortran 77 นั้นจะมีลักษณะเป็นค่ากระแสลัดวงจรที่ ณ เวลาใดๆของค่าเวลา ลักษณะการทดลองจะนำสมการที่ 1-3 มาคำนวณเป็นพื้นฐาน โดยจะกำหนดให้วงจรสมมูลอยู่ในรูปของวงจรเทวินนิน โดยแรงดันไฟฟ้าที่บัสเปรียบเสมือนแหล่งจ่ายไฟฟ้าในวงจรเทวินนิน มีค่าอิมพีเดนซ์เทวินนินเท่ากับค่าของอิมพีเดนซ์รวมของบัสนั้นๆ ในแต่ละกรณีของความผิดพร่องบนระบบ แล้วแยกออกมานเป็นค่าความด้านท่านและค่าอินดักเต้นซ์ในวงจรเทวินนินเพื่อจ่ายต่อการคำนวณซึ่งจะลดลงของกระแสลัดวงจรแบบไม่สมมาตรจะมีค้างผลกระทบทดลองในแต่ละจุดต่างๆบนรูปคลื่นกระแสลัดวงจร

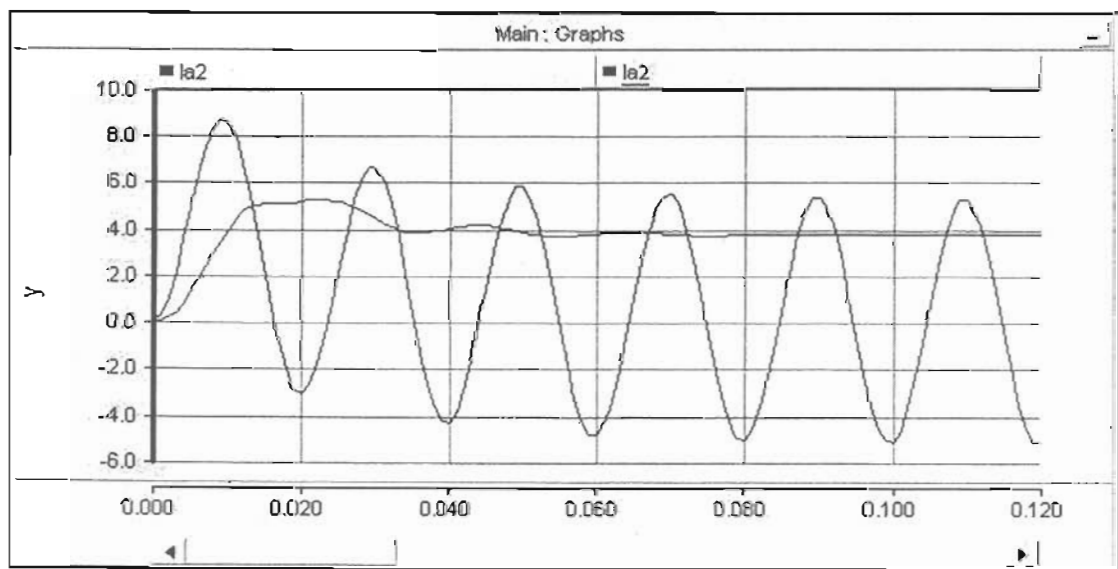
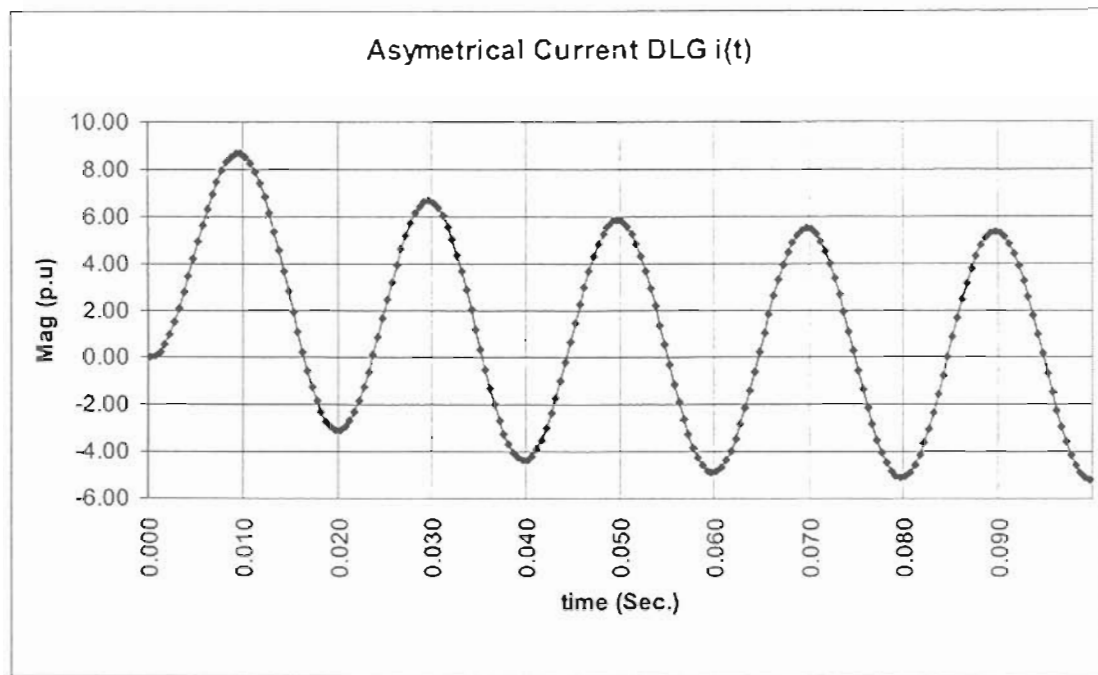
ผลกระทบของที่โปรแกรมคำนวณกระแสลัดวงจรในการกรณีเกิดความผิดพร่องแบบสายกับคินสายกับสาย และสองสายกับคิน โดยจะแบ่งเป็นไปตามเวลาที่เพิ่มขึ้นเรื่อย โดยในการทดลองจะนำผลเป็นกราฟเพื่อให้เกิดรูปสัญญาณของกระแสลัดวงจรเพื่อดูลักษณะของรูปคลื่นแล้วนำไปเปรียบเทียบกับโปรแกรม PSCAD โดยกำหนดให้เกิดความผิดพร่องที่บัส 1 ซึ่งจะแสดงในภาพที่ 5-18 เป็นความผิดพร่องแบบสายกับคิน ภาพที่ 5-19 เป็นความผิดพร่องแบบสายกับสาย และภาพที่ 5-20 เป็นความผิดพร่องแบบสองสายกับคิน



ภาพที่ 5-17 เปรียบเทียบรูปคลื่นสัญญาณของกระแสลัดวงจรในกรณีสายกับคิน



ภาพที่ 5-18 เปรียบเทียบรูปคลื่นสัญญาณของกระแสลัควงจรในกรณีสายกับสาย



ภาพที่ 5-19 เมื่อยกเทียบรูปคลื่นสัญญาณของกระแสลั่ควงจรในกรณีส่องสาบกับดิน

จากภาพผลทดลองการที่ 5-18 ภาพที่ 5-19 และภาพที่ 5-20 พบว่ารูปคลื่นกระแสสลับคงจะมีอุ่นความผิดหวังในกรณี สายกับดิน สายกับสาย และสองสายกับดิน มีลักษณะสัญญาณที่เหมือนกันของโปรแกรม PSCAD โดยภาพนั้นเป็นภาพที่ได้จากการถือภาพจากค่าของโปรแกรมภาษา Fortran 77 และภาพล่างเป็นภาพจากโปรแกรม PSCAD แล้วทำการตรวจสอบค่าจุดค่าของรูปคลื่นของโปรแกรม PSCAD พบว่ามีค่าใกล้เคียงกันมาก ซึ่งทำการวิเคราะห์ตามจุดต่างบนรูปคลื่นได้ดังตารางที่ 5-18

ตารางที่ 5-5 ตารางค่าสูงสุดของกระแสสลับคงจะตามเวลาตั้งแต่ 0.009 sec. ถึง 0.099 sec.

Time (sec)	Magnitude $i(t)$ (p.u)		Error (p.u)	Error (%)
	PSCAD	Fortran 77		
0.009	8.79860	8.80160	-0.00300	-0.30000
0.019	-4.46623	-4.46814	0.00191	0.19100
0.029	6.52830	6.53061	-0.00231	-0.23070
0.039	-5.54667	-5.54900	0.00233	0.23300
0.049	6.01388	6.01397	-0.00009	-0.00870
0.059	-5.79970	-5.79972	0.00002	0.00196
0.069	5.90000	5.90100	-0.00100	-0.10000
0.079	-5.84710	-5.84929	0.00219	0.21900
0.089	5.87110	5.87320	-0.00210	-0.21000
0.099	-5.86000	-5.86186	0.00186	0.18574

จากตารางที่ 5-5 เป็นตารางการเปรียบเทียบค่ากระแสสูงสุดของกระแสสลับคงจะ เวลาใดๆ โดยทำการจำลองการคำนวณตั้งแต่ 0.00 sec. ถึง 0.100 sec. ซึ่งกำหนดลำดับการคำนวณไว้ที่ทุกๆ เวลา 0.0005 sec. เพราะตัวเลขการคำนวณนี้จะเหมาะสมกับการนำไปจำลองรูปคลื่นสัญญาณกระแสสลับคงจะมากที่สุด ซึ่งจะเกิดค่ากระแสสลับคงจะ 200 จุด ต่อ เวลา 0.1 sec. และตารางที่ 5-18 จะนำเสนอเฉพาะที่อยู่ในช่วง時間เรียบร้อยที่ต่อไปนี้ โดยหลังจากเปรียบเทียบค่ากับโปรแกรม PSCAD พบว่าค่าความคลาดเคลื่อนมีค่ามากที่สุดคือ -0.0030 หรือ -0.3 เปอร์เซนต์ ซึ่งในเมื่อขนาดของกระแสสลับคงจะที่บัส 1 ในกรณีสายกับดิน มีค่า 4.162 เปอร์เซนต์ หรือ 1741.310 แอมป์ (Amp.) จะนั้นค่าคลาดเคลื่อนจากการคำนวณเบริร์บเทียบกับโปรแกรมสำเร็จรูปจะมีค่าเท่ากับ 1.25514 A. หลังจากการทดสอบทุกรอบทดสอบก็จะมีคลาดเคลื่อนไม่เกิน 0.3 เปอร์เซนต์

5.8 ส่วนสรุปของเนื้อหา

สิ่งสำคัญในการวิเคราะห์ความผิดพลาดของระบบไฟฟ้ากำลังคือ ความถูกต้อง รวดเร็ว และมีความเชื่อถือได้ จากการทดสอบ โปรแกรมการวิเคราะห์ความผิดพลาดในระบบไฟฟ้าที่จัดทำขึ้น กับระบบทดสอบ IEEE 14 บัส IEEE 30 บัส IEEE 57 บัสและ IEEE 118 บัส ทำการเปรียบเทียบกับโปรแกรมเชิงพาณิชย์ คือ โปรแกรม Power World และ โปรแกรม PSCAD โดยพิจารณาถึงความถูกต้องในด้านขนาดของกระแสแล้วดูว่าที่บัสในช่วงทرانเซียนต์ ในช่วงสภาวะอยู่ตัว และแรงดันไฟฟ้าที่บัสจะเกิดความผิดพลาด ผลการทดสอบของ โปรแกรมที่ทำขึ้นขนาดกระแสแล้วดูว่าที่บัสในสภาวะอยู่ตัวของระบบทดสอบทั้งหมดมีความคลาดเคลื่อนมากที่สุด 0.09179 เปอร์เซนต์ หรือมีค่าไม่เกิน 0.3840 Amp. ที่ระบบทดสอบ IEEE 118 บัส ขนาดของกระแสแล้วดูว่ามีความคลาดเคลื่อน -0.05980 เปอร์เซนต์ หรือมีค่าไม่เกิน 1 องศา ที่ระบบทดสอบ IEEE 118 บัส ส่วนกระแสแล้วดูว่ามีสมมาตรมีความคลาดเคลื่อน 0.3 เปอร์เซนต์ หรือมีค่าไม่เกิน 1.6069 Amp. ที่ระบบ IEEE 118 บัส ซึ่งความคลาดเคลื่อนของ โปรแกรมที่ทำขึ้นนี้ค่าน้อยมาก ไม่ส่งผลต่อการวิเคราะห์ระบบไฟฟ้าด้านอื่นๆ

บทที่ 6

สรุปและข้อเสนอแนะ

ในงานวิจัยฉบับนี้ได้เสนอขั้นตอนและรายละเอียดการวิเคราะห์ผิดพร่องในระบบไฟฟ้ากำลังด้วยโปรแกรมภาษา Fortran 77 โดยทำการทดสอบกับระบบทดสอบ IEEE 14 บัส IEEE 30 บัส IEEE 57 บัส และ IEEE 118 บัส และเปรียบเทียบผลการทดสอบกับโปรแกรม Power World และโปรแกรม PSCAD ซึ่งเป็นโปรแกรมเชิงพาณิชย์ โดยพิจารณาถึงความถูกต้อง แม่นยำ ของโปรแกรมที่จัดทำขึ้น

6.1 สรุปผล

การวิเคราะห์กระแสลักษณะแบบไม่สมมาตรเป็นส่วนหนึ่งของการวิเคราะห์เชื้อถือได้ในระบบไฟฟ้า ในงานวิจัยนี้ใช้การวิเคราะห์โดยอาศัยการสร้างส่วนประกอบคำดับน้ำใจ ลบ และศูนย์จากการสร้างแอดมิคเคนซ์เมทริกซ์และอินเวอร์สเพื่อแปลงเป็นอินพิเคนซ์เมทริกซ์ เมื่อจากเป็นวิธีที่เหมาะสมกับการเขียนโปรแกรมด้วยภาษาฟอร์แทรน 77 ทำให้เป็นวิธีที่ได้คำยอมมีความถูกต้อง เชื้อถือได้สูง สามารถตรวจสอบไปพร้อมโปรแกรมสำเร็จรูปได้ ในการวิเคราะห์กระแสลักษณะสามารถกำหนดชนิดของความผิดพร่องได้ด้วยผู้ใช้งานเอง กำหนดบัสที่เกิดความผิดพร่องและวิเคราะห์แรงดันไฟฟ้าที่เปลี่ยนแปลงไปในขณะเกิดความผิดพร่อง และค่ากระแสลักษณะในสภาวะอยู่ตัวและสภาวะทราบเชิงตัว ทำให้ทราบถึงความสามารถของระบบที่ทดสอบว่าสามารถจะทนต่อสภาวะขนาดของกระแสลักษณะที่เกิดขึ้นได้หรือไม่ โดยการออกแบบให้ระบบสามารถป้องกันอันตรายจากสภาวะความผิดพร่องได้อย่างสมบูรณ์ รวมไปถึงการหาอุปกรณ์ป้องกันระบบมาเก็บไว้ปัญญาหรือเพิ่มประสิทธิภาพให้กับระบบสูงขึ้น ซึ่งความสามารถของโปรแกรมนี้อาจจะไม่สามารถแสดงผลออกเป็นภาพที่สวยงาม และไม่สามารถเลือกใช้เครื่องมือได้ทำให้ผู้ใช้งานเกิดปัญหาขึ้นบ้าง แต่ค่าคำนวณที่ได้มามีค่าความผิดพลาดน้อยเมื่อเทียบกับโปรแกรมสำเร็จรูปอย่าง Power World และ PSCAD โดยมีเงื่อนไขหรือข้อจำกัดของการคำนวณของโปรแกรม คือ ระบบจะต้องต่อหน้าแปลงแบบการต่อสายกับเดินทั้งสองด้าน อัตราส่วนของหน้าแปลงต้องคงที่ พอลต์ที่ต้องเกิดเฉพาะเฟสที่กำหนดของฟอลต์ คำนวณฟอลต์ที่เกิดที่บัสเท่านั้น คำนวณฟอลต์แบบบนนานอย่างเดียว ไม่สามารถคำนวณการเกิดฟอลต์แบบหลายจุดได้ และกรณีการเห็นไขวนาระห่วงสายส่วนพารามิเตอร์ของสายจะไม่นำมาคิด

การเขียนโปรแกรมภาษาฟอร์มัลรัน 77 เป็นภาษาที่ต้องใช้ความเข้าใจค่อนข้างมากในการเขียนโปรแกรม เมื่อทำการรันโปรแกรมแล้วเกิดการผิดพลาด หรือค่าความคลาดเคลื่อนในการคำนวณ (Error) เนื่องจากการเขียนโปรแกรมไม่ตรงกับหลักไวยากรณ์ของภาษา (Syntax) การตรวจสอบทำได้ยากกว่าโปรแกรมประยุกต์ทั่วไป และการประกาศตัวแปรต้องให้ตรงกับความยาวของการคำนวณเพื่อให้คำนวณได้รวดเร็วและมีความถูกต้อง

6.2 ข้อเสนอแนะ

เนื่องจากงานวิจัยนี้เป็นการเริ่มต้นเขียนโปรแกรมเพื่อใช้งาน โปรแกรมนี้สามารถพัฒนาและเพิ่มการวิเคราะห์ระบบไฟฟ้ากำลังด้านอื่นๆ เพื่อให้ครอบคลุมการวิเคราะห์ระบบไฟฟ้าได้ เช่น

6.2.1 พัฒนาโปรแกรมให้สามารถวิเคราะห์ความผิดพร่อง (Fault) ของระบบไฟฟ้าให้มีเงื่อนไขครอบคลุมเหมือนโปรแกรมสำเร็จรูป เช่น เมื่อนำเข้าต่อหม้อแปลงแบบต่างๆ อัตราส่วนของหม้อแปลงต้องปรับเปลี่ยนได้ กำหนดเฟสของความผิดพร่องได้ คำนวณฟอลต์ที่เกิดที่บัสและสายส่ง คำนวณฟอลต์แบบนานาและฟอลต์อนุกรม คำนวณการเกิดฟอลต์แบบหลายชุดได้ และสามารถคิดกรณีถ้าการเหนีขวนำระหว่างสายส่งในระบบ

6.2.2 พัฒนาโปรแกรมวิเคราะห์ขนาดพิกัดของเซอร์กิตเบรกเกอร์ในระบบไฟฟ้า

6.2.3 พัฒนาโปรแกรมวิเคราะห์ระบบป้องกันในระบบไฟฟ้ากำลัง

6.2.4 พัฒนาโปรแกรมวิเคราะห์อุปกรณ์ป้องกันในระบบไฟฟ้ากำลัง

เอกสารอ้างอิง

1. Grainger, J. J. and W. D. Stevenson. Power System Analysis. New Jersey : McGraw-Hill, c1994.
2. Saadat, H. Power Systems Analysis. New Jersey : McGraw-Hill, c1999.
3. Charles, A. G. Power Systems Analysis. New York : John Wiley & Sons, c1996.
4. Anderson, P. M. Analysis of Faulted Power System. Power System Engineering Series : IEEE Press, c1995.
5. Greenwood, A. Electrical Transient in Power System. New York : John Wiley & Sons, c1991.
6. Ruedenberg, R. Transient Performance of Electric Power System. New York : John Wiley & Sons, c1950.
7. Fortescue, C. L. Method of Symmetrical Coordinates Applied to The Solution of Polyphase Networks. New York : John Wiley & Sons, c1918.
8. Nyhoff, L. and S. Leestma. Fortran 77 for Engineers and Scientists with an Introduction to Fortran 90. 4th ed. New Jersey : Prentice-Hall, c1996.
9. ครุฑี ศมารรตคุล. การเขียนโปรแกรมภาษา Fortran 77. เชียงใหม่ : มหาวิทยาลัยเชียงใหม่, 2526.
10. ศูนย์ภาษาคอมพิวเตอร์. ภาษาฟอร์แทรนกับในโครงคอมพิวเตอร์. กรุงเทพมหานคร : พิสิกส์เซ็นเตอร์การพิมพ์, 2528.
11. รสสุคนธ์ หังษ์พฤกษ์. การเขียนโปรแกรมภาษาฟอร์แทรน. กรุงเทพมหานคร : มหาวิทยาลัยรามคำแหง, 2532.
12. Wood, A. J. and B. F. Wollenberg. Power generation operation and control. 2nd ed. New York : John Wiley & Sons, c1996.
13. Heydt, G.T. Computer Analysis Methods for Power Systems. New York : Macmillan, c1986.
14. Boyce, W. E. Elementary Differential Equations and Boundary Value Problems. New York : John Wiley & Sons, c1996.

15. Christie, R. "14 Bus Power Flow Test Case". Power System Test Case Archive [Serial Online] 1993 Nov-Dec [Cited 2006. Jan 13]. Available from :
http://www.ee.washington.edu/research/pstca_pf14/pg_tca14bus.htm.
16. _____. "30 Bus Power Flow Test Case". Power System Test Case Archive [Serial Online] 1993 Nov-Dec [Cited 2006. Jan 13]. Available from :
http://www.ee.washington.edu/research/pstca/pf14/pg_tca30bus.htm.
17. _____. "57 Bus Power Flow Test Case". Power System Test Case Archive [Serial Online] 1993 Nov-Dec [Cited 2006. Jan 13]. Available from :
http://www.ee.washington.edu/research/pstca_pf14/pg_tca57bus.htm.
18. _____. "118 Bus Power Flow Test Case". Power System Test Case Archive [Serial Online] 1993 Nov-Dec [Cited 2006. Jan 13]. Available from :
http://www.ee.washington.edu/research/pstca_pf14/pg_tca118bus.htm.

ภาคผนวก ก

ข้อมูลระบบทดสอบ

1. ระบบทดสอบ IEEE14 บัส [15]

ระบบทดสอบ 14 บัส เป็นระบบทดสอบที่มี เครื่องกำเนิดไฟฟ้า 5 เครื่อง สายส่ง 15 เส้น หม้อแปลงไฟฟ้า 3 ตัว และชันต์ก้าปัชเตอร์ 1 ตัว ซึ่งมีข้อมูลสายส่งและข้อมูลระบบทดสอบ 14 บัส ดังตารางที่ ก-1 ตารางที่ ก-2 และ ตารางที่ ก-3 ตามลำดับ

ตารางที่ ก-1 ข้อมูลสายส่งระบบทดสอบไฟฟ้ากำลัง 14 บัส

From bus	To bus	Resistance (pu)	Reactance (pu)	Line Charging (pu)	Tap Change Transformer	Line Limit (pu)
1	2	0.01938	0.05917	0.0528	1	2
1	5	0.05403	0.22304	0.0492	1	1.2
2	3	0.04699	0.19797	0.0438	1	1.2
2	4	0.05811	0.17632	0.034	1	1
2	5	0.05695	0.17388	0.0346	1	1
3	4	0.06701	0.17103	0.0128	1	0.5
4	5	0.01335	0.04211	0	1	1
4	7	0	0.20912	0	0.978	0.5
4	9	0	0.55618	0	0.969	0.3
5	6	0	0.25202	0	0.932	0.8
6	11	0.09498	0.1989	0	1	0.15
6	12	0.12291	0.25581	0	1	0.15
6	13	0.06615	0.13207	0	1	0.3
7	8	0	0.17615	0	1	0.01
7	9	0	0.11001	0	1	0.5
9	10	0.03181	0.0845	0	1	0.15
9	14	0.12711	0.27038	0	1	0.15
10	11	0.08205	0.19207	0	1	0.15
12	13	0.22092	0.19988	0	1	0.15
13	14	0.17093	0.34802	0	1	0.15

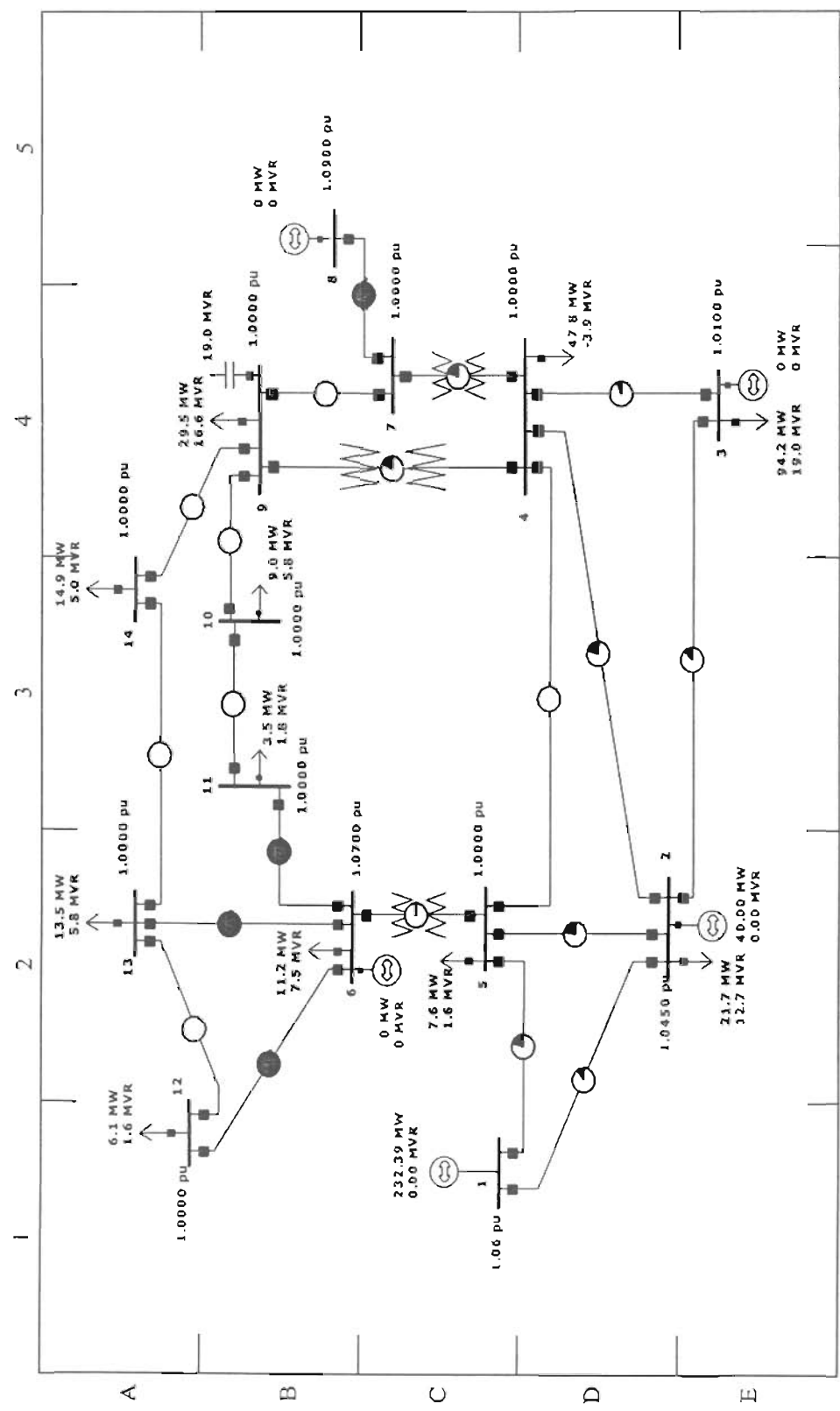
ตารางที่ ก-2 ข้อมูลบัสของระบบทดสอบไฟฟ้ากำลัง 14 บัส

Bus No.	Bus Type	V pu.	Angle Degree	Pload MW	Qload Mvar	Pgen MW	Qgen Mvar	Qmin Mvar	Qmax Mvar	Inject Mvar	Vmin pu.	Vmax pu.
1	1	1.06	0	0	0	0	0	0	0	0	0.9	1.1
2	2	1.045	0	21.7	12.7	40	0	-40	50	0	0.9	1.1
3	2	1.01	0	94.2	19	0	0	0	0	0	0.9	1.1
4	0	1	0	47.8	-3.9	0	0	0	0	0	0.9	1.1
5	0	1	0	7.6	1.6	0	0	0	0	0	0.9	1.1
6	2	1.07	0	11.2	7.5	0	0	-6	24	0	0.9	1.1
7	0	1	0	0	0	0	0	0	0	0	0.9	1.1
8	2	1.09	0	0	0	0	0	-6	24	0	0.9	1.1
9	0	1	0	29.5	16.6	0	0	0	0	19	0.9	1.1
10	0	1	0	9	5.8	0	0	0	0	0	0.9	1.1
11	0	1	0	3.5	1.8	0	0	0	0	0	0.9	1.1
12	0	1	0	6.1	1.6	0	0	0	0	0	0.9	1.1
13	0	1	0	13.5	5.8	0	0	0	0	0	0.9	1.1
14	0	1	0	14.9	5	0	0	0	0	0	0.9	1.1

โดยที่ Bus Type คือ ชนิดของบัส (0 = Load Bus, 1 = Slack Bus, 2 = Generator Bus)

ตารางที่ ก-3 ข้อมูลส่วนประกอบลำดับศูนย์ของสายส่งระบบทดสอบไฟฟ้ากำลัง 14 บัส

From bus	To bus	Resistance (pu)	Reactance (pu)	Line Charging (pu)	Tap Change Transformer	Line Limit (pu)
1	2	0.04845	0.147925	0.0528	1	2
1	5	0.135075	0.22304	0.0492	1	1.2
2	3	0.04699	0.19797	0.0438	1	1.2
2	4	0.05811	0.17632	0.034	1	1
2	5	0.05695	0.17388	0.0346	1	1
3	4	0.06701	0.17103	0.0128	1	0.5
4	5	0.01335	0.04211	0	1	1
4	7	0	0.20912	0	0.978	0.5
4	9	0	0.55618	0	0.969	0.3
5	6	0	0.25202	0	0.932	0.8
6	11	0.09498	0.1989	0	1	0.15
6	12	0.12291	0.25581	0	1	0.15
6	13	0.06615	0.13207	0	1	0.3
7	8	0	0.17615	0	1	0.01
7	9	0	0.11001	0	1	0.5
9	10	0.03181	0.0845	0	1	0.15
9	14	0.12711	0.27038	0	1	0.15
10	11	0.08205	0.19207	0	1	0.15
12	13	0.22092	0.19988	0	1	0.15
13	14	0.17093	0.34802	0	1	0.15



ภาพที่ ๑-๑ รังสีบานพัดด่วน IEEE ๑๔ บัส

2. ระบบท่อสูบน 30 บัส [16]

ระบบท่อสูบ 30 บัส เป็นระบบท่อสูบที่มี เครื่องกำเนิดไฟฟ้า 6 เครื่อง สายส่ง 41 เส้น หม้อแปลงไฟฟ้า 4 ตัว และชันต์ค่าปัจจิเตอร์ 2 ตัว ซึ่งมีข้อมูลสายส่งและข้อมูลบาระบบท่อสูบ 30 บัส ดังตารางที่ ก-4 ตารางที่ ก-5 และ ตารางที่ ก-6 ตามลำดับ

ตารางที่ ก-4 ข้อมูลสายส่งระบบท่อสูบไฟฟ้ากำลัง 30 บัส

From Bus	To Bus	Resistance (pu)	Reactance (pu)	Line Charging (pu)	Tap Change Transformer	Line Limit (pu)
2	1	0.0192	0.0575	0.0528	1	2.3
3	1	0.0452	0.1852	0.0408	1	1.3
4	2	0.057	0.1737	0.0368	1	0.65
4	3	0.0132	0.0379	0.0084	1	1.3
5	2	0.0472	0.1983	0.0418	1	1.3
6	2	0.0581	0.1763	0.0374	1	0.9
6	4	0.0119	0.0414	0.009	1	0.9
7	5	0.046	0.116	0.0204	1	0.7
7	6	0.0267	0.082	0.017	1	1.3
8	6	0.012	0.042	0.009	1	0.65
6	9	0	0.208	0	0.978	0.65
6	10	0	0.556	0	0.969	0.32
11	9	0	0.208	0	1	0.65
10	9	0	0.11	0	1	0.65
4	12	0	0.256	0	0.932	0.65
13	12	0	0.14	0	1	0.65
14	12	0.1231	0.2559	0	1	0.32
15	12	0.0662	0.1304	0	1	0.32
16	12	0.0945	0.1987	0	1	0.32
15	14	0.221	0.1997	0	1	0.16
17	16	0.0524	0.1923	0	1	0.16
18	15	0.1073	0.2185	0	1	0.16
19	18	0.0639	0.1292	0	1	0.16
20	19	0.034	0.068	0	1	0.32
20	10	0.0936	0.209	0	1	0.32
17	10	0.0324	0.0845	0	1	0.32

ตารางที่ ก-4 (ต่อ)

From	To	Resistance	Reactance	Line Charging	Tap Change	Line Limit
Bus	Bus	(pu)	(pu)	(pu)	Transformer	(pu)
22	10	0.0727	0.1499	0	1	0.32
22	21	0.0116	0.0236	0	1	0.32
23	15	0.1	0.202	0	1	0.16
24	22	0.115	0.179	0	1	0.16
24	23	0.132	0.27	0	1	0.16
25	24	0.1885	0.3292	0	1	0.16
26	25	0.2544	0.38	0	1	0.16
27	25	0.1093	0.2087	0	1	0.16
28	27	0	0.396	0	0.968	0.65
29	27	0.2198	0.4153	0	1	0.16
30	27	0.3202	0.6027	0	1	0.16
30	29	0.2399	0.4533	0	1	0.16
28	3	0.0636	0.2	0.0428	1	0.32
28	6	0.0169	0.0599	0.13	1	0.32

ตารางที่ ก-๕ ข้อมูลนับสของระบบทดสอบไฟฟ้ากำลัง 30 บัส

Bus No.	Bus Type	V pu.	Angle Degree	Pload MW	Qload Mvar	Pgen MW	Qgen Mvar	Qmin Mvar	Qmax Mvar	Inject Mvar	Vmin pu.	Vmax pu.
1	1	1.06	0	0	0	0	0	0	0	0	0.9	1.1
2	2	1.043	0	21.7	12.7	40	0	-40	50	0	0.9	1.1
3	0	1	0	2.4	1.2	0	0	0	0	0	0.9	1.1
4	0	1	0	7.6	1.6	0	0	0	0	0	0.9	1.1
5	2	1.01	0	94.2	19	0	0	-40	40	0	0.9	1.1
6	0	1	0	0	0	0	0	0	0	0	0.9	1.1
7	0	1	0	22.8	10.9	0	0	0	0	0	0.9	1.1
8	2	1.01	0	30	30	0	0	-10	40	0	0.9	1.1
9	0	1	0	0	0	0	0	0	0	0	0.9	1.1
10	0	1	0	5.8	2	0	0	0	0	19	0.9	1.1
11	2	1.082	0	0	0	0	0	-6	24	0	0.9	1.1
12	0	1	0	11.2	7.5	0	0	0	0	0	0.9	1.1
13	2	1.071	0	0	0	0	0	-6	24	0	0.9	1.1
14	0	1	0	6.2	1.6	0	0	0	0	0	0.9	1.1
15	0	1	0	8.2	2.5	0	0	0	0	0	0.9	1.1
16	0	1	0	3.5	1.8	0	0	0	0	0	0.9	1.1
17	0	1	0	9	5.8	0	0	0	0	0	0.9	1.1
18	0	1	0	3.2	0.9	0	0	0	0	0	0.9	1.1
19	0	1	0	9.5	3.4	0	0	0	0	0	0.9	1.1
20	0	1	0	2.2	0.7	0	0	0	0	0	0.9	1.1
21	0	1	0	17.5	11.2	0	0	0	0	0	0.9	1.1
22	0	1	0	0	0	0	0	0	0	0	0.9	1.1
23	0	1	0	3.2	1.6	0	0	0	0	0	0.9	1.1
24	0	1	0	8.7	6.7	0	0	0	0	4.3	0.9	1.1
25	0	1	0	0	0	0	0	0	0	0	0.9	1.1
26	0	1	0	3.5	2.3	0	0	0	0	0	0.9	1.1
27	0	1	0	0	0	0	0	0	0	0	0.9	1.1
28	0	1	0	0	0	0	0	0	0	0	0.9	1.1
29	0	1	0	2.4	0.9	0	0	0	0	0	0.9	1.1
30	0	1	0	10.6	1.9	0	0	0	0	0	0.9	1.1

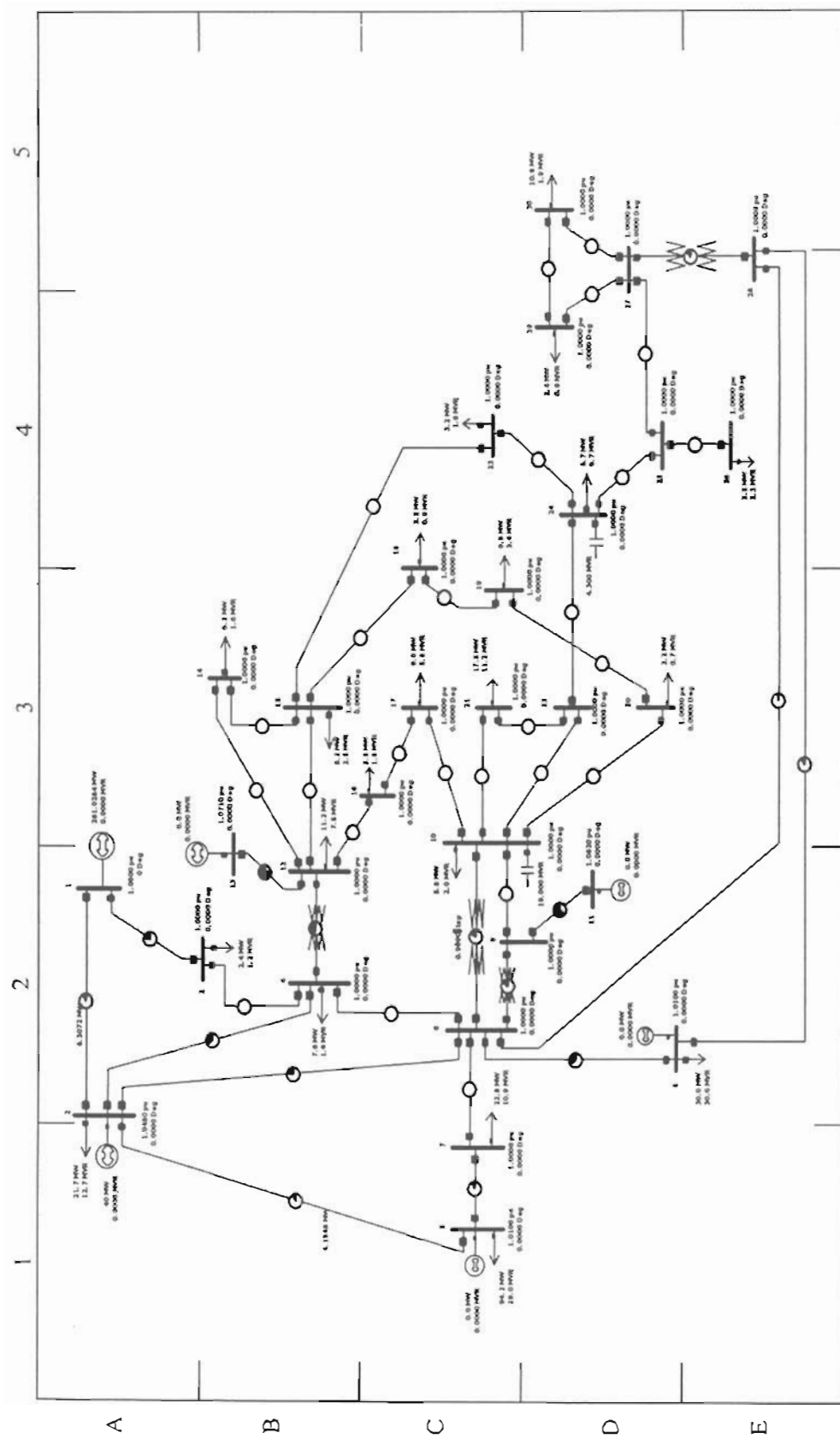
โดยที่ Bus Type คือ ชนิดของบัส (0 = Load Bus, 1 = Slack Bus, 2 = Generator Bus)

ตารางที่ ก-6 ข้อมูลส่วนประกอบล่าคับคุณของสายส่งระบบทดสอบไฟฟ้ากำลัง 30 บัส

From bus	To bus	Resistance (pu)	Reactance (pu)	Line Charging (pu)	Tap Change Transformer	Line Limit (pu)
1	2	0.048	0.14375	0.132	1	2.3
1	3	0.113	0.463	0.102	1	1.3
2	4	0.1425	0.43425	0.092	1	0.65
3	4	0.33	0.09475	0.0084	1	1.3
2	5	0.118	0.49575	0.1045	1	1.3
2	6	0.14525	0.44075	0.0935	1	0.9
4	6	0.02975	0.1035	0.0225	1	0.9
6	7	0.06675	0.205	0.0425	1	1.3
5	7	0.115	0.29	0.051	1	0.7
6	8	0.03	0.105	0.0225	1	0.65
6	9	0	0.208	0	0.978	0.65
6	10	0	0.556	0	0.969	0.32
9	10	0	0.275	0	1	0.65
9	11	0	0.52	0	1	0.65
4	12	0	0.256	0	0.932	0.65
12	13	0	0.35	0	1	0.65
12	14	0.30775	0.63975	0	1	0.32
12	15	0.1655	0.326	0	1	0.32
14	15	0.5525	0.49925	0	1	0.16
12	16	0.23625	0.49675	0	1	0.32
10	17	0.081	0.21125	0	1	0.32
16	17	0.131	0.48075	0	1	0.16
15	18	0.26825	0.54625	0	1	0.16
18	19	0.15975	0.323	0	1	0.16
10	20	0.234	0.5225	0	1	0.32
19	20	0.085	0.17	0	1	0.32
10	21	0.087	0.18725	0	1	0.32
10	22	0.18175	0.37475	0	1	0.32
21	22	0.029	0.059	0	1	0.32
15	23	0.25	0.505	0	1	0.16
22	24	0.2875	0.4475	0	1	0.16
23	24	0.33	0.675	0	1	0.16
24	25	0.47125	0.823	0	1	0.16

ตารางที่ ก-6 (ค.๐)

From bus	To bus	Resistance (pu)	Reactance (pu)	Line Charging (pu)	Tap Change Transformer	Line Limit (pu)
24	25	0.47125	0.823	0	1	0.16
25	26	0.636	0.95	0	1	0.16
25	27	0.27325	0.52175	0	1	0.16
28	27	0	0.396	0	0.968	0.65
6	28	0.04225	0.14975	0.0325	1	0.32
8	28	0.159	0.5	0.107	1	0.32
27	29	0.5495	1.03825	0	1	0.16
27	30	0.8005	1.50675	0	1	0.16
29	30	0.59975	1.13325	0	1	0.16



รูปที่ ๗-๒ ระบบหอดตาม IEEE 30 บีต

3. ระบบทดสอบ IEEE 57 บัส [17]

ระบบทดสอบ 57 บัส เป็นระบบทดสอบที่มี เครื่องกำเนิดไฟฟ้า 6 เครื่อง สายส่ง 80 เส้น หม้อแปลงไฟฟ้า 14 ตัว และชันต์ค่าปัจจิเตอร์ 3 ตัว ซึ่งมีข้อมูลสายส่งและข้อมูลบัญชีระบบทดสอบ 118 บัส คั้งตารางที่ ก-7 ตารางที่ ก-8 และ ตารางที่ ก-9 ตามลำดับ

ตารางที่ ก-7 ข้อมูลสายส่งระบบทดสอบไฟฟ้ากำลัง 57 บัส

From Bus	To Bus	Resistance pu.	Reactance pu.	Line Charging pu.	Tap Change Transformer	Line Limit pu.
1	2	0.0083	0.028	0.129	1	2
1	15	0.0178	0.091	0.0988	1	2.2
1	16	0.0454	0.206	0.0546	1	1.6
1	17	0.0238	0.108	0.0286	1	1.6
2	3	0.0298	0.085	0.0818	1	2
3	4	0.0112	0.0366	0.038	1	2
3	15	0.0162	0.053	0.0544	1	0.2
4	5	0.0625	0.132	0.0258	1	0.2
4	6	0.043	0.148	0.0348	1	0.2
4	18	0	0.43	0	0.97	0.6
4	18	0	0.555	0	0.97	0.6
5	6	0.0302	0.0641	0.0124	1	3
6	7	0.02	0.102	0.0276	1	0.6
6	8	0.0339	0.173	0.047	1	0.8
7	8	0.0139	0.0712	0.0194	1	10
7	29	0	0.0648	0	0.967	12
8	9	0.0099	0.0505	0.0548	1	2.2
9	10	0.0369	0.1679	0.044	1	0.3
9	11	0.0258	0.0848	0.0218	1	0.3
9	12	0.0648	0.295	0.0772	1	0.2
9	13	0.0481	0.158	0.0406	1	0.2
9	55	0	0.1205	0	0.94	3
10	12	0.0277	0.1262	0.0328	1	2
10	51	0	0.0712	0	0.93	6
11	13	0.0223	0.0732	0.0188	1	2
11	41	0	0.749	0	0.955	2
11	43	0	0.153	0	0.958	3

ตารางที่ ก-7 (ต่อ)

From Bus	To Bus	Resistance pu.	Reactance pu.	Line Charging pu.	Tap Change Transformer	Line Limit pu.
12	13	0.0178	0.058	0.0604	1	6
12	16	0.018	0.0813	0.0216	1	3
12	17	0.0397	0.179	0.0476	1	6
13	14	0.0132	0.0434	0.011	1	0.3
13	15	0.0269	0.0869	0.023	1	0.7
13	49	0	0.191	0	0.895	7
14	15	0.0171	0.0547	0.0148	1	10
14	46	0	0.0735	0	0.9	10
15	45	0	0.1042	0	0.955	7
18	19	0.461	0.685	0	1	2
19	20	0.283	0.434	0	1	2
21	20	0	0.7767	0	1.043	2
21	22	0.0736	0.117	0	1	2
22	23	0.0099	0.0152	0	1	2
22	38	0.0192	0.0295	0	1	2
23	24	0.166	0.256	0.0084	1	2
24	25	0	1.182	0	1	2
24	25	0	1.23	0	1	2
24	26	0	0.0473	0	1.043	3
25	30	0.135	0.202	0	1	2
26	27	0.165	0.254	0	1	3
27	28	0.0618	0.0954	0	1	6
28	29	0.0418	0.0587	0	1	6
29	52	0.1442	0.187	0	1	6
30	31	0.326	0.497	0	1	2
31	32	0.507	0.755	0	1	2
32	33	0.0392	0.036	0	1	2
34	32	0	0.953	0	0.975	2
34	35	0.052	0.078	0.0032	1	2
35	36	0.043	0.0537	0.0016	1	3
36	37	0.029	0.0366	0	1	3
36	40	0.03	0.0466	0	1	2
37	38	0.0651	0.1009	0.002	1	6

ตารางที่ ก-7 (ต่อ)

From Bus	To Bus	Resistance pu.	Reactance pu.	Line Charging pu.	Tap Change Transformer	Line Limit pu.
37	39	0.0239	0.0379	0	1	2
38	44	0.0289	0.0585	0.002	1	6
38	48	0.0312	0.0482	0	1	3
38	49	0.115	0.177	0.006	1	2
39	57	0	1.355	0	0.98	2
40	56	0	1.195	0	0.958	2
41	42	0.207	0.352	0	1	2
41	43	0	0.412	0	1	3
56	41	0.553	0.549	0	1	2
56	42	0.2125	0.354	0	1	0.2
44	45	0.0624	0.1242	0.004	1	7
46	47	0.023	0.068	0.0032	1	7
47	48	0.0182	0.0233	0	1	3
48	49	0.0834	0.129	0.0048	1	0.2
49	50	0.0801	0.128	0	1	3
50	51	0.1386	0.22	0	1	3
52	53	0.0762	0.0984	0	1	3
53	54	0.1878	0.232	0	1	2
54	55	0.1732	0.2265	0	1	2
57	56	0.174	0.26	0	1	2

ตารางที่ ก-8 ข้อมูลบัสของระบบภาคตอนไฟฟ้ากำลัง 57 บัส

Bus No.	Bus Type	V (pu.)	Angle (Degree)	Pload MW	Qload Mvar	Pgen MW	Qgen Mvar	Qmin Mvar	Qmax Mvar	Inject Mvar	Vmin pu.	Vmax pu.
1	1	1.04	0	55	17	0	0	0	500	0	0.9	1.1
2	2	1.01	0	3	88	0	0	-17	50	0	0.9	1.1
3	2	0.985	0	41	21	40	0	-10	60	0	0.9	1.1
4	0	1	0	0	0	0	0	0	0	0	0.9	1.1
5	0	1	0	13	4	0	0	0	0	0	0.9	1.1
6	2	0.98	0	75	2	0	0	-8	25	0	0.9	1.1
7	0	1	0	0	0	0	0	0	0	0	0.9	1.1
8	2	1.005	0	150	22	450	0	-140	200	0	0.9	1.1
9	2	0.98	0	121	26	0	0	-3	9	0	0.9	1.1
10	0	1	0	5	2	0	0	0	0	0	0.9	1.1
11	0	1	0	0	0	0	0	0	0	0	0.9	1.1
12	2	1.015	0	377	24	310	0	-150	155	0	0.9	1.1
13	0	1	0	18	2.3	0	0	0	0	0	0.9	1.1
14	0	1	0	10.5	5.3	0	0	0	0	0	0.9	1.1
15	0	1	0	22	5	0	0	0	0	0	0.9	1.1
16	0	1	0	43	3	0	0	0	0	0	0.9	1.1
17	0	1	0	42	8	0	0	0	0	0	0.9	1.1
18	0	1	0	27.2	9.8	0	0	0	0	10	0.9	1.1
19	0	1	0	3.3	0.6	0	0	0	0	0	0.9	1.1
20	0	1	0	2.3	1	0	0	0	0	0	0.9	1.1
21	0	1	0	0	0	0	0	0	0	0.9	1.1	0
22	0	1	0	0	0	0	0	0	0	0	0.9	1.1
23	0	1	0	6.3	2.1	0	0	0	0	0	0.9	1.1
24	0	1	0	0	0	0	0	0	0	0	0.9	1.1
25	0	1	0	6.3	3.2	0	0	0	0	5.9	0.9	1.1
26	0	1	0	0	0	0	0	0	0	0	0.9	1.1
27	0	1	0	9.3	0.5	0	0	0	0	0	0.9	1.1
28	0	1	0	4.6	2.3	0	0	0	0	0	0.9	1.1
29	0	1	0	17	2.6	0	0	0	0	0	0.9	1.1
30	0	1	0	3.6	1.8	0	0	0	0	0	0.9	1.1
31	0	1	0	5.8	2.9	0	0	0	0	0	0.9	1.1
32	0	1	0	1.6	0.8	0	0	0	0	0	0.9	1.1
33	0	1	0	3.8	1.9	0	0	0	0	0	0.9	1.1

ตารางที่ ก-8 (ต่อ)

Bus No.	Bus Type	V (pu.)	Angle (Degree)	Pload MW	Qload Mvar	Pgen MW	Qgen Mvar	Qmin Mvar	Qmax Mvar	Inject Mvar	Vmin pu.	Vmax pu.
34	0	1	0	0	0	0	0	0	0	0	0.9	1.1
35	0	1	0	6	3	0	0	0	0	0	0.9	1.1
36	0	1	0	0	0	0	0	0	0	0	0.9	1.1
37	0	1	0	0	0	0	0	0	0	0	0.9	1.1
38	0	1	0	14	7	0	0	0	0	0	0.9	1.1
39	0	1	0	0	0	0	0	0	0	0	0.9	1.1
40	0	1	0	0	0	0	0	0	0	0	0.9	1.1
41	0	1	0	6.3	3	0	0	0	0	0	0.9	1.1
42	0	1	0	7.1	4.4	0	0	0	0	0	0.9	1.1
43	0	1	0	2	1	0	0	0	0	0	0.9	1.1
44	0	1	0	12	1.8	0	0	0	0	0	0.9	1.1
45	0	1	0	0	0	0	0	0	0	0	0.9	1.1
46	0	1	0	0	0	0	0	0	0	0	0.9	1.1
47	0	1	0	29.7	11.6	0	0	0	0	0	0.9	1.1
48	0	1	0	0	0	0	0	0	0	0	0.9	1.1
49	0	1	0	18	8.5	0	0	0	0	0	0.9	1.1
50	0	1	0	21	10.5	0	0	0	0	0	0.9	1.1
51	0	1	0	18	5.3	0	0	0	0	0	0.9	1.1
52	0	1	0	4.9	2.2	0	0	0	0	0	0.9	1.1
53	0	1	0	20	10	0	0	0	6.3	0.9	1.1	
54	0	1	0	4.1	1.4	0	0	0	0	0	0.9	1.1
55	0	1	0	6.8	3.4	0	0	0	0	0	0.9	1.1
56	0	1	0	7.6	2.2	0	0	0	0	0	0.9	1.1
57	0	1	0	6.7	2	0	0	0	0	0	0.9	1.1

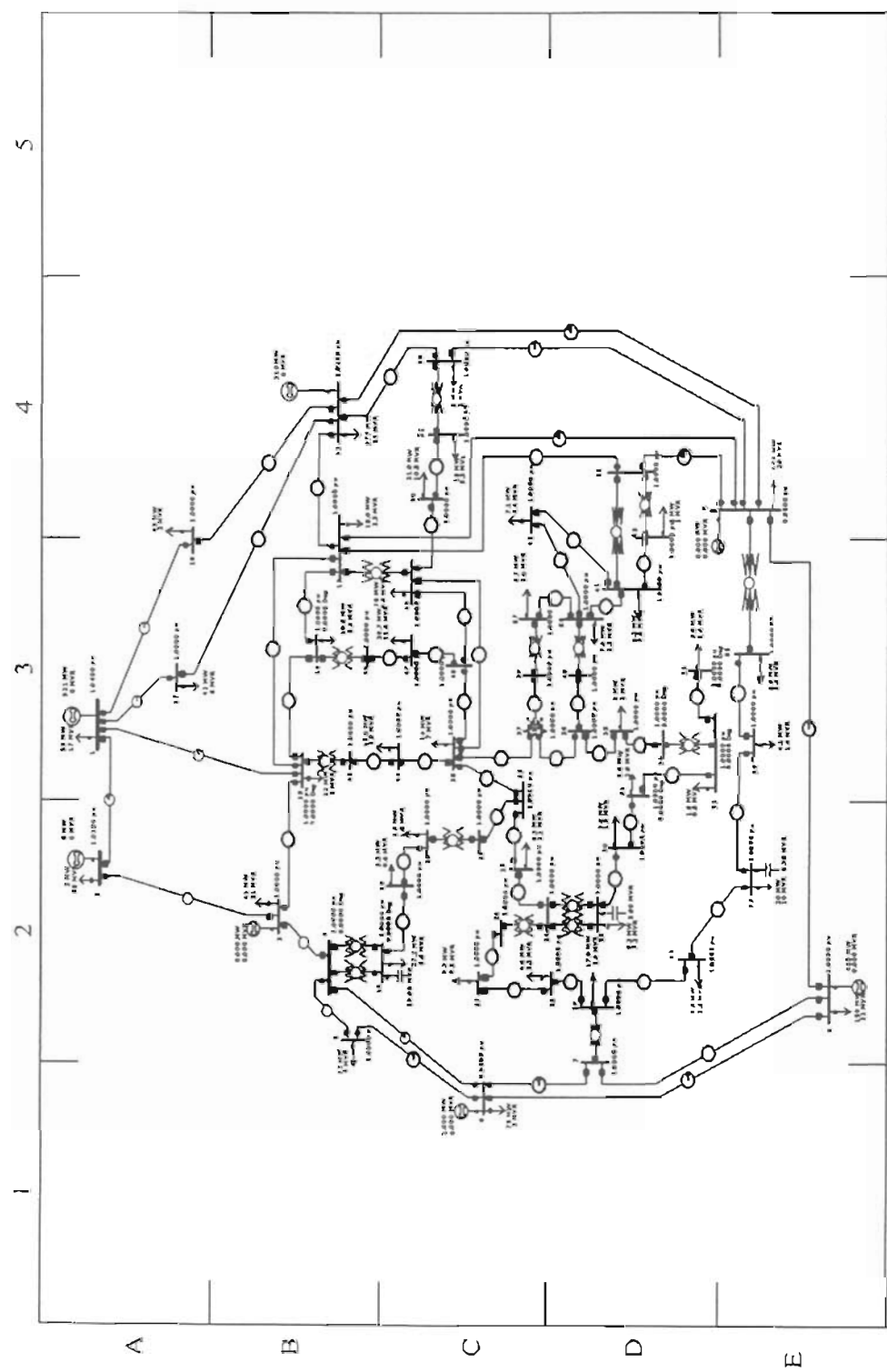
โดยที่ Bus Type คือ ชนิดของบัส (0 = Load Bus, 1 = Slack Bus, 2 = Generator Bus)

ตารางที่ ก-9 ข้อมูลส่วนประกอบลำดับศูนย์ของสายส่งระบบทดสอบไฟฟ้ากำลัง 57 บัส

From bus	To bus	Resistance (pu)	Reactance (pu)	Line Charging (pu)	Tap Change Transformer	Line Limit (pu)
1	2	0.02075	0.07	0.3225	1	2
1	15	0.0445	0.2275	0.247	1	2.2
1	16	0.1135	0.515	0.1365	1	1.6
1	17	0.0595	0.27	0.0715	1	1.6
2	3	0.0745	0.2125	0.2045	1	2
3	4	0.028	0.0915	0.095	1	2
3	15	0.0405	0.1325	0.136	1	0.2
4	5	0.15625	0.33	0.0645	1	0.2
4	6	0.1075	0.37	0.087	1	0.2
4	18	0	0.43	0	0.97	0.6
4	18	0	0.555	0	0.97	0.6
5	6	0.0302	0.0641	0.0124	1	3
6	7	0.05	0.255	0.069	1	0.6
6	8	0.08475	0.4325	0.1175	1	0.8
7	8	0.03475	0.178	0.0485	1	10
7	29	0	0.0648	0	0.967	12
8	9	0.02475	0.12625	0.137	1	2.2
9	10	0.09225	0.41975	0.11	1	0.3
9	11	0.0645	0.212	0.0545	1	0.3
9	12	0.162	0.7375	0.193	1	0.2
9	13	0.12025	0.395	0.1015	1	0.2
9	55	0	0.1205	0	0.94	3
10	12	0.06925	0.3155	0.082	1	2
10	51	0	0.0712	0	0.93	6
11	13	0.05575	0.183	0.047	1	2
11	41	0	0.749	0	0.955	2
11	43	0	0.153	0	0.958	3
12	13	0.0445	0.145	0.151	1	6
12	16	0.045	0.20325	0.054	1	3
12	17	0.09925	0.4475	0.119	1	6
13	14	0.033	0.1085	0.0275	1	0.3
13	15	0.06725	0.21725	0.0575	1	0.7
13	49	0	0.191	0	0.895	7

ตารางที่ ก-๙ (ต่อ)

From bus	To bus	Resistance (pu)	Reactance (pu)	Line Charging (pu)	Tap Change Transformer	Line Limit (pu)
14	15	0.04275	0.13675	0.037	1	10
14	46	0	0.0735	0	0.9	10
15	45	0	0.1042	0	0.955	7
18	19	1.1525	1.7125	0	1	2
19	20	0.7075	1.085	0	1	2
21	20	0	0.7767	0	1.043	2
21	22	0.184	0.2925	0	1	2
22	23	0.02475	0.038	0	1	2
22	38	0.048	0.07375	0	1	2
23	24	0.415	0.64	0.021	1	2
24	25	0	1.182	0	1	2
24	25	0	1.23	0	1	2
24	26	0	0.0473	0	1.043	3
25	30	0.3375	0.505	0	1	2
26	27	0.4125	0.635	0	1	3
27	28	0.1545	0.2385	0	1	6
28	29	0.1045	0.14675	0	1	6
29	52	0.3605	0.4675	0	1	6
30	31	0.815	1.2425	0	1	2
31	32	1.2675	1.8875	0	1	2
32	33	0.098	0.09	0	1	2
34	32	0	0.953	0	0.975	2
34	35	0.13	0.195	0.008	1	2
35	36	0.1075	0.13425	0.004	1	3
36	37	0.0725	0.0915	0	1	3
36	40	0.075	0.1165	0	1	2
37	38	0.16275	0.25225	0.005	1	6
37	39	0.05975	0.09475	0	1	2
38	44	0.07225	0.14625	0.005	1	6
38	48	0.078	0.1205	0	1	3
38	49	0.2875	0.4425	0.015	1	2
39	57	0	1.355	0	0.98	2
41	42	0.5175	0.88	0	1	2



ภาพที่ ๑-๓ ระบบการตัดส่วน IEEE ๕๗ บีต

4. ระบบทดสอบ 118 บัส [18]

ระบบทดสอบ 118 บัส เป็นระบบทดสอบที่มี เครื่องกำเนิดไฟฟ้า 54 เครื่อง สายส่ง 186 เส้น หม้อแปลงไฟฟ้า 9 ตัว และชันต์ค่าปัจจิตร์ 14 ตัว ซึ่งมีข้อมูลสายส่งและข้อมูลบัญชีระบบทดสอบ 118 บัส ดังตารางที่ ก-10 และ ตารางที่ ก-11 ตามลำดับ

ตารางที่ ก-10 ข้อมูลสายส่งระบบทดสอบไฟฟ้ากำลัง 118 บัส

From Bus	To Bus	Resistance (pu)	Reactance (pu)	Line Charging (pu)	Tap Change Transformer	Line Limit (pu)
1	2	0.0303	0.0999	0.0254	1	0.8
1	3	0.0129	0.0424	0.01082	1	0.8
4	5	0.00176	0.00798	0.0021	1	1.5
3	5	0.0241	0.108	0.0284	1	1
5	6	0.0119	0.054	0.01426	1	1.5
6	7	0.00459	0.0208	0.0055	1	0.8
8	9	0.00244	0.0305	1.162	1	6
8	5	0	0.0267	0	0.985	5
9	10	0.00258	0.0322	1.23	1	6
4	11	0.0209	0.0688	0.01748	1	1
5	11	0.0203	0.0682	0.01738	1	1.5
11	12	0.00595	0.0196	0.00502	1	1
2	12	0.0187	0.0616	0.01572	1	0.8
3	12	0.0484	0.16	0.0406	1	0.3
7	12	0.00862	0.034	0.00874	1	0.5
11	13	0.02225	0.0731	0.01876	1	0.5
12	14	0.0215	0.0707	0.01816	1	0.5
13	15	0.0744	0.2444	0.06268	1	0.5
14	15	0.0595	0.195	0.0502	1	0.3
12	16	0.0212	0.0834	0.0214	1	0.5
15	17	0.0132	0.0437	0.0444	1	1.5
16	17	0.0454	0.1801	0.0466	1	0.3
17	18	0.0123	0.0505	0.01298	1	1.5
18	19	0.01119	0.0493	0.01142	1	0.8
19	20	0.0252	0.117	0.0298	1	0.5
15	19	0.012	0.0394	0.0101	1	0.8
20	21	0.0183	0.0849	0.0216	1	0.5

ตารางที่ ก-10 (ต่อ)

From bus	To bus	Resistance (pu)	Reactance (pu)	Line Charging (pu)	Tap Change Transformer	Line Limit (pu)
21	22	0.0209	0.097	0.0246	1	0.8
22	23	0.0342	0.159	0.0404	1	0.8
23	24	0.0135	0.0492	0.0498	1	1
23	25	0.0156	0.08	0.0864	1	2.5
26	25	0	0.0382	0	0.96	1.5
25	27	0.0318	0.163	0.1764	1	2
27	28	0.01913	0.0855	0.0216	1	0.5
28	29	0.0237	0.0943	0.0238	1	0.3
30	17	0	0.0388	0	0.96	4
8	30	0.00431	0.0504	0.514	1	1.5
26	30	0.00799	0.086	0.908	1	3
17	31	0.0474	0.1563	0.0399	1	0.5
29	31	0.0108	0.0331	0.0083	1	0.5
23	32	0.0317	0.1153	0.1173	1	1.5
31	32	0.0298	0.0985	0.0251	1	0.5
27	32	0.0229	0.0755	0.01926	1	0.8
15	33	0.038	0.1244	0.03194	1	0.5
19	34	0.0752	0.247	0.0632	1	0.3
35	36	0.00224	0.0102	0.00268	1	0.3
35	37	0.011	0.0497	0.01318	1	0.5
33	37	0.0415	0.142	0.0366	1	0.5
34	36	0.00871	0.0268	0.00568	1	0.5
34	37	0.00256	0.0094	0.00984	1	1.5
38	37	0	0.0375	0	0.935	4
37	39	0.0321	0.106	0.027	1	0.8
37	40	0.0593	0.168	0.042	1	0.8
30	38	0.00464	0.054	0.422	1	1.5
39	40	0.0184	0.0605	0.01552	1	0.5
40	41	0.0145	0.0487	0.01222	1	0.5
40	42	0.0555	0.183	0.0466	1	0.5
41	42	0.041	0.135	0.0344	1	0.8
43	44	0.0608	0.2454	0.06068	1	0.8
34	43	0.0413	0.1681	0.04226	1	0.3

ตารางที่ ก-10 (ต่อ)

From bus	To bus	Resistance (pu)	Reactance (pu)	Line Charging (pu)	Tap Change Transformer	Line Limit (pu)
44	45	0.0224	0.0901	0.0224	1	0.8
45	46	0.04	0.1356	0.0332	1	0.8
46	47	0.038	0.127	0.0316	1	0.5
46	48	0.0601	0.189	0.0472	1	0.5
47	49	0.0191	0.0625	0.01604	1	0.3
42	49	0.0715	0.323	0.086	1	1.5
42	49	0.0715	0.323	0.086	1	1.5
45	49	0.0684	0.186	0.0444	1	0.8
48	49	0.0179	0.0505	0.01258	1	0.5
49	50	0.0267	0.0752	0.01874	1	0.8
49	51	0.0486	0.137	0.0342	1	1
51	52	0.0203	0.0588	0.01396	1	0.5
52	53	0.0405	0.1635	0.04058	1	0.3
53	54	0.0263	0.122	0.031	1	0.5
49	54	0.073	0.289	0.0738	1	0.5
49	54	0.0869	0.291	0.073	1	0.5
54	55	0.0169	0.0707	0.0202	1	0.3
54	56	0.00275	0.00955	0.00732	1	0.5
55	56	0.00488	0.0151	0.00374	1	0.5
56	57	0.0343	0.0966	0.0242	1	0.5
50	57	0.0474	0.134	0.0332	1	0.5
56	58	0.0343	0.0966	0.0242	1	0.3
51	58	0.0255	0.0719	0.01788	1	0.3
54	59	0.0503	0.2293	0.0598	1	0.5
56	59	0.0825	0.251	0.0569	1	0.5
56	59	0.0803	0.239	0.0536	1	0.5
55	59	0.04739	0.2158	0.05646	1	0.5
59	60	0.0317	0.145	0.0376	1	0.8
59	61	0.0328	0.15	0.0388	1	0.8
60	61	0.00264	0.0135	0.01456	1	1.5
60	62	0.0123	0.0561	0.01468	1	0.3
61	62	0.00824	0.0376	0.0098	1	0.5
63	59	0	0.0386	0	0.96	2.5

ตารางที่ ก-10 (ต่อ)

From Bus	To Bus	Resistance (pu)	Reactance (pu)	Line Charging (pu)	Tap Change Transformer	Line Limit (pu)
64	61	0	0.0268	0	0.985	0.5
38	65	0.00901	0.0986	1.046	1	2.5
64	65	0.00269	0.0302	0.38	1	2.5
49	66	0.018	0.0919	0.0248	1	2.5
49	66	0.018	0.0919	0.0248	1	2.5
62	66	0.0482	0.218	0.0578	1	0.5
62	67	0.0258	0.117	0.031	1	0.5
65	66	0	0.037	0	0.935	0.8
66	67	0.0224	0.1015	0.02682	1	0.8
65	68	0.00138	0.016	0.638	1	0.8
47	69	0.0844	0.2778	0.07092	1	0.8
49	69	0.0985	0.324	0.0828	1	0.8
68	69	0	0.037	0	0.935	2
69	70	0.03	0.127	0.122	1	1.5
24	70	0.00221	0.4115	0.10198	1	0.8
70	71	0.00882	0.0355	0.00878	1	0.5
24	72	0.0488	0.196	0.0488	1	0.8
71	72	0.0446	0.18	0.04444	1	0.3
71	73	0.00866	0.0454	0.01178	1	0.3
70	74	0.0401	0.1323	0.03368	1	0.3
70	75	0.0428	0.141	0.036	1	0.3
69	75	0.0405	0.122	0.124	1	1.5
74	75	0.0123	0.0406	0.01034	1	0.8
76	77	0.0444	0.148	0.0368	1	1
69	77	0.0309	0.101	0.1038	1	0.8
75	77	0.0601	0.1999	0.04978	1	0.5
77	78	0.00376	0.0124	0.01264	1	0.8
78	79	0.00546	0.0244	0.00648	1	0.5
77	80	0.017	0.0485	0.0472	1	1.5
77	80	0.0294	0.105	0.0228	1	0.8
79	80	0.0156	0.0704	0.0187	1	1
68	81	0.00175	0.0202	0.808	1	1
81	80	0	0.037	0	0.935	1

ตารางที่ ก-10 (ต่อ)

From Bus	To Bus	Resistance (pu)	Reactance (pu)	Line Charging (pu)	Tap Change Transformer	Line Limit (pu)
77	82	0.0298	0.0853	0.08174	1	0.3
82	83	0.0112	0.03665	0.03796	1	0.8
83	84	0.0625	0.132	0.0258	1	0.5
83	85	0.043	0.148	0.0348	1	0.8
84	85	0.0302	0.0641	0.01234	1	0.5
85	86	0.035	0.123	0.0276	1	0.3
86	87	0.02828	0.2074	0.0445	1	0.3
85	88	0.02	0.102	0.0276	1	0.8
85	89	0.0239	0.173	0.047	1	1
88	89	0.0139	0.0712	0.01934	1	1.5
89	90	0.0518	0.188	0.0528	1	0.8
89	90	0.0238	0.0997	0.106	1	1.5
90	91	0.0254	0.0836	0.0214	1	0.3
89	92	0.0099	0.0505	0.0548	1	2.5
89	92	0.0393	0.1581	0.0414	1	1
91	92	0.0387	0.1272	0.03268	1	0.3
92	93	0.0258	0.0848	0.0218	1	0.8
92	94	0.0481	0.158	0.0406	1	0.8
93	94	0.0223	0.0732	0.01876	1	0.8
94	95	0.0132	0.0434	0.0111	1	0.8
80	96	0.0356	0.182	0.0494	1	0.5
82	96	0.0162	0.053	0.0544	1	0.3
94	96	0.0269	0.0869	0.023	1	0.3
80	97	0.0183	0.0934	0.0254	1	0.5
80	98	0.0238	0.108	0.0286	1	0.5
80	99	0.0454	0.206	0.0546	1	0.3
92	100	0.0648	0.295	0.0472	1	0.5
94	100	0.0178	0.058	0.0604	1	0.8
95	96	0.0171	0.0547	0.01474	1	0.3
96	97	0.0173	0.0885	0.024	1	0.3
98	100	0.0397	0.179	0.0476	1	0.3
99	100	0.018	0.0813	0.0216	1	0.3

ตารางที่ ก-10 (ต่อ)

From Bus	To Bus	Resistance (pu)	Reactance (pu)	Line Charging (pu)	Tap Change Transformer	Line Limit (pu)
100	101	0.0277	0.1262	0.0328	1	0.5
92	102	0.0123	0.0559	0.01464	1	0.8
101	102	0.0246	0.112	0.0294	1	0.8
100	103	0.016	0.0525	0.0536	1	1.5
100	104	0.0451	0.204	0.0541	1	0.8
103	104	0.0466	0.1584	0.0407	1	0.5
103	105	0.0535	0.1625	0.0408	1	0.8
100	106	0.0605	0.229	0.062	1	0.8
104	105	0.00994	0.0378	0.00986	1	0.8
105	106	0.014	0.0547	0.01434	1	0.3
105	107	0.053	0.183	0.0472	1	0.5
105	108	0.0261	0.0703	0.01844	1	0.8
106	107	0.053	0.183	0.0472	1	0.8
108	109	0.0105	0.0288	0.0076	1	0.5
103	110	0.03906	0.1813	0.0461	1	0.8
109	110	0.0278	0.0762	0.0202	1	0.3
110	111	0.022	0.0755	0.02	1	0.5
110	112	0.0247	0.064	0.062	1	1
17	113	0.00913	0.0301	0.00768	1	0.3
32	113	0.0615	0.203	0.0518	1	0.5
32	114	0.0135	0.0612	0.01628	1	0.5
27	115	0.0164	0.0741	0.01972	1	0.5
114	115	0.0023	0.0104	0.00276	1	0.3
68	116	0.00034	0.00405	0.164	1	2.5
12	117	0.0329	0.14	0.0358	1	0.3

ตารางที่ ก-11 ข้อมูลสของระบบทดสอบไฟฟ้ากำลัง 118 บัส

Bus No.	Bus Type	V pu.	Angle Degree	Pload MW	Qload Mvar	Pgen MW	Qgen Mvar	Qmin Mvar	Qmax Mvar	Inject Mvar	Vmin pu.	Vmax pu.
1	2	0.955	0	51	27	0	0	-5	15	0	0.9	1.1
2	0	1	0	20	9	0	0	0	0	0	0.9	1.1
3	0	1	0	39	10	0	0	0	0	0	0.9	1.1
4	2	0.998	0	30	12	-9	0	-300	300	0	0.9	1.1
5	0	1	0	0	0	0	0	0	0	-40	0.9	1.1
6	2	0.99	0	52	22	0	0	-13	50	0	0.9	1.1
7	0	1	0	19	2	0	0	0	0	0	0.9	1.1
8	2	1.015	0	0	0	-28	0	-300	300	0	0.9	1.1
9	0	1	0	0	0	0	0	0	0	0	0.9	1.1
10	2	1.05	0	0	0	450	0	-147	200	0	0.9	1.1
11	0	1	0	70	23	0	0	0	0	0	0.9	1.1
12	2	0.99	0	47	10	85	0	-35	120	0	0.9	1.1
13	0	1	0	34	16	0	0	0	0	0	0.9	1.1
14	0	1	0	14	1	0	0	0	0	0	0.9	1.1
15	2	0.97	0	90	30	0	0	-10	30	0	0.9	1.1
16	0	1	0	25	10	0	0	0	0	0	0.9	1.1
17	0	1	0	11	3	0	0	0	0	0	0.9	1.1
18	2	0.973	0	60	34	0	0	-16	50	0	0.9	1.1
19	2	0.962	0	45	25	0	0	-8	24	0	0.9	1.1
20	0	1	0	18	3	0	0	0	0	0	0.9	1.1
21	0	1	0	14	8	0	0	0	0	0	0.9	1.1
22	0	1	0	10	5	0	0	0	0	0	0.9	1.1
23	0	1	0	7	3	0	0	0	0	0	0.9	1.1
24	2	0.992	0	0	0	-13	0	-300	300	0	0.9	1.1
25	2	1.05	0	0	0	220	0	-47	140	0	0.9	1.1
26	2	1.015	0	0	0	314	0	-1000	1000	0	0.9	1.1
27	2	0.968	0	62	13	-9	0	-300	300	0	0.9	1.1
28	0	1	0	17	7	0	0	0	0	0	0.9	1.1
29	0	1	0	24	4	0	0	0	0	0	0.9	1.1
30	0	1	0	0	0	0	0	0	0	0	0.9	1.1
31	2	0.967	0	43	27	7	0	-300	300	0	0.9	1.1
32	2	0.963	0	59	23	0	0	-14	42	0	0.9	1.1
33	0	1	0	23	9	0	0	0	0	0	0.9	1.1

ตารางที่ ก-11 (ก่อ)

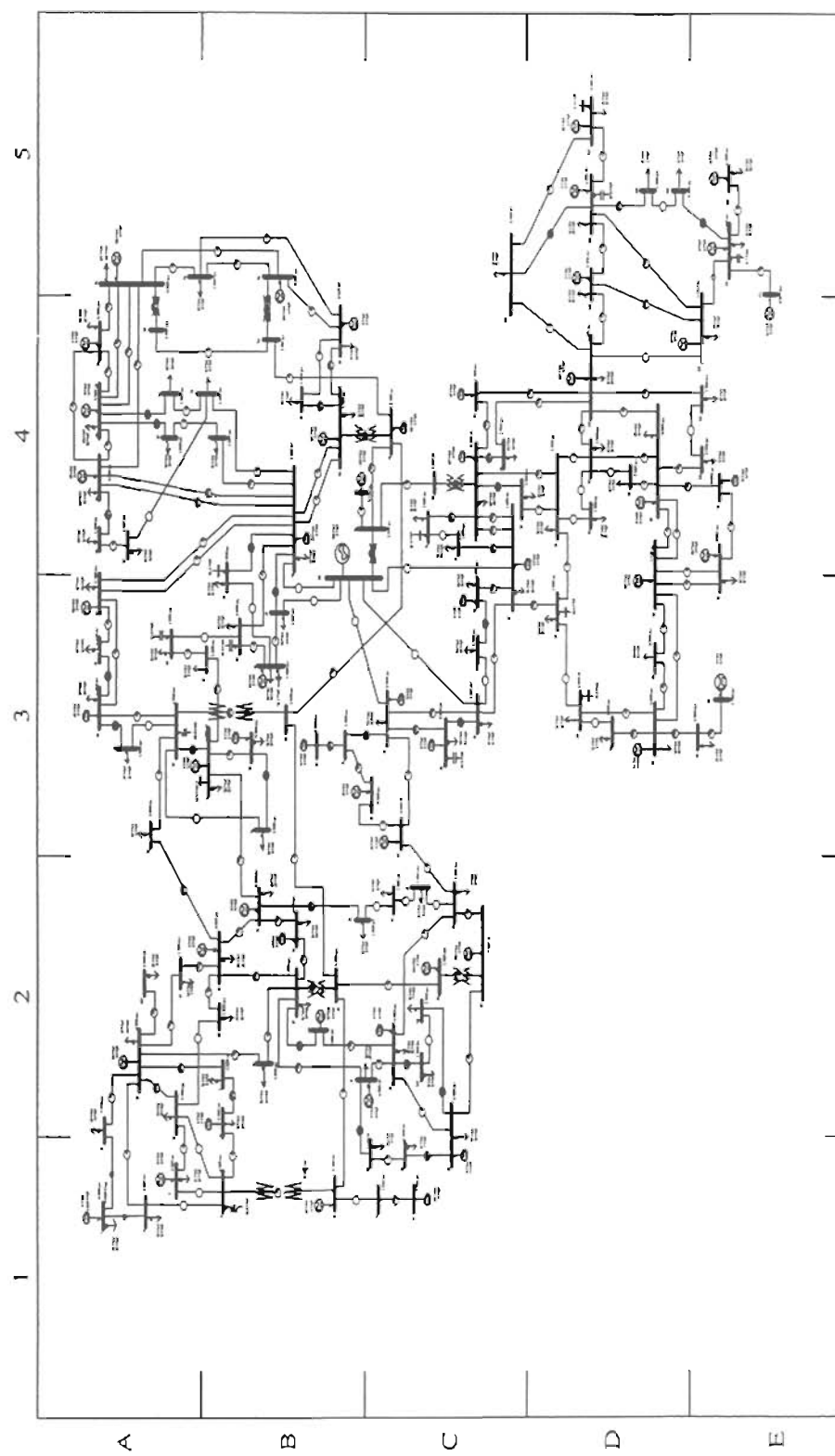
ตารางที่ ก-11 (ต่อ)

Bus No.	Bus Type	V pu.	Angle Degree	Pload MW	Qload Mvar	Pgen MW	Qgen Mvar	Qmin Mvar	Qmax Mvar	Inject Mvar	Vmin pu.	Vmax pu.
64	0	1	0	0	0	0	0	0	0	0	0.9	1.1
65	2	1.005	0	0	0	391	0	-67	200	0	0.9	1.1
66	2	1.05	0	39	18	392	0	-67	200	0	0.9	1.1
67	0	1	0	28	7	0	0	0	0	0	0.9	1.1
68	0	1	0	0	0	0	0	0	0	0	0.9	1.1
69	1	1.035	30	0	0	0	0	-300	300	0	0.9	1.1
70	2	0.984	0	66	20	0	0	-10	32	0	0.9	1.1
71	0	1	0	0	0	0	0	0	0	0	0.9	1.1
72	2	0.98	0	0	0	-12	0	-100	100	0	0.9	1.1
73	2	0.991	0	0	0	-6	0	-100	100	0	0.9	1.1
74	2	0.958	0	68	27	0	0	-6	9	12	0.9	1.1
75	0	1	0	47	11	0	0	0	0	0	0.9	1.1
76	2	0.943	0	68	36	0	0	-8	23	0	0.9	1.1
77	2	1.006	0	61	28	0	0	-20	70	0	0.9	1.1
78	0	1	0	71	26	0	0	0	0	0	0.9	1.1
79	0	1	0	39	32	0	0	0	0	20	0.9	1.1
80	2	1.04	0	130	26	477	0	-165	280	0	0.9	1.1
81	0	1	0	0	0	0	0	0	0	0	0.9	1.1
82	0	1	0	54	27	0	0	0	0	20	0.9	1.1
83	0	1	0	20	10	0	0	0	0	10	0.9	1.1
84	0	1	0	11	7	0	0	0	0	0	0.9	1.1
85	2	0.985	0	24	15	0	0	-8	23	0	0.9	1.1
86	0	1	0	21	10	0	0	0	0	0	0.9	1.1
87	2	1.015	0	0	0	4	0	-100	1000	0	0.9	1.1
88	0	1	0	48	10	0	0	0	0	0	0.9	1.1
89	2	1.005	0	0	0	607	0	-210	300	0	0.9	1.1
90	2	0.985	0	78	42	-85	0	-300	300	0	0.9	1.1
91	2	0.98	0	0	0	-10	0	-100	100	0	0.9	1.1
92	2	0.99	0	65	10	0	0	-3	9	0	0.9	1.1
93	0	1	0	12	7	0	0	0	0	0	0.9	1.1
94	0	1	0	30	16	0	0	0	0	0	0.9	1.1
95	0	1	0	42	31	0	0	0	0	0	0.9	1.1
96	0	1	0	38	15	0	0	0	0	0	0.9	1.1

ตารางที่ ก-11 (ต่อ)

Bus No.	Bus Type	V pu.	Angle Degree	Pload MW	Qload Mvar	Pgen MW	Qgen Mvar	Qmin Mvar	Qmax Mvar	Inject Mvar	Vmin pu.	Vmax pu.
97	0	1	0	15	9	0	0	0	0	0	0.9	1.1
98	0	1	0	34	8	0	0	0	0	0	0.9	1.1
99	2	1.01	0	0	0	-42	0	-100	100	0	0.9	1.1
100	2	1.017	0	37	18	252	0	-50	155	0	0.9	1.1
101	0	1	0	22	15	0	0	0	0	0	0.9	1.1
102	0	1	0	5	3	0	0	0	0	0	0.9	1.1
103	2	1.01	0	23	16	40	0	-15	40	0	0.9	1.1
104	2	0.971	0	38	25	0	0	-8	23	0	0.9	1.1
105	2	0.965	0	31	26	0	0	-8	23	20	0.9	1.1
106	0	1	0	43	16	0	0	0	0	0	0.9	1.1
107	2	0.952	0	28	12	-22	0	-200	200	6	0.9	1.1
108	0	1	0	2	1	0	0	0	0	0	0.9	1.1
109	0	1	0	8	3	0	0	0	0	0	0.9	1.1
110	2	0.973	0	39	30	0	0	-8	23	6	0.9	1.1
111	2	0.98	0	0	0	36	0	-100	1000	0	0.9	1.1
112	2	0.975	0	25	13	-43	0	-100	1000	0	0.9	1.1
113	2	0.993	0	0	0	-6	0	-100	200	0	0.9	1.1
114	0	1	0	8	3	0	0	0	0	0	0.9	1.1
115	0	1	0	22	7	0	0	0	0	0	0.9	1.1
116	2	1.005	0	0	0	-184	0	-1000	1000	0	0.9	1.1
117	0	1	0	20	8	0	0	0	0	0	0.9	1.1
118	0	1	0	33	15	0	0	0	0	0	0.9	1.1

โดยที่ Bus Type คือ ชนิดของบัส (0 = Load Bus, 1 = Slack Bus, 2 = Generator Bus)



រូមភី ៩-៤ របៀបរចនាសម្រាប់ IEEE 118 ប្រព័ន្ធដែល

ภาคผนวกฯ

รูปแบบข้อมูลของระบบทดสอบ

1. รูปแบบของข้อมูลระบบท่อสูบน้ำ

- คอลัมน์ที่ 1 คือ จำนวนบัส (Bus Number)
- คอลัมน์ที่ 2 คือ ชนิดบัส (Bus Type)
- คอลัมน์ที่ 3 คือ ขนาดแรงดันบัส (Amplitude Bus Voltage)
- คอลัมน์ที่ 4 คือ มุมแรงดันบัส (Angle Bus Voltage)
- คอลัมน์ที่ 5 คือ โหลดกำลังไฟฟ้าจริงทิพ (Load Real Power)
- คอลัมน์ที่ 6 คือ โหลดกำลังไฟฟ้าเรียกทิพ (Load Reactive Power)
- คอลัมน์ที่ 7 คือ กำลังไฟฟ้าเรียกทิพของเครื่องกำเนิดไฟฟ้า (Generate Real Power)
- คอลัมน์ที่ 8 คือ กำลังไฟฟ้าเรียกทิพของเครื่องกำเนิดไฟฟ้า (Generate Reactive Power)
- คอลัมน์ที่ 9 คือ พิกัดกำลังไฟฟ้าเรียกทิพของเครื่องกำเนิดไฟฟ้าน้อยที่สุด
(Minimum Reactive Power)
- คอลัมน์ที่ 10 คือ พิกัดกำลังไฟฟ้าเรียกทิพของเครื่องกำเนิดไฟฟ้านากที่สุด
(Maximum Reactive Power)
- คอลัมน์ที่ 11 คือ อุปกรณ์กำลังไฟฟ้าเรียกทิพ (Inject Reactive Power)
- คอลัมน์ที่ 12 คือ พิกัดขนาดแรงดันบัสน้อยที่สุด (Minimum Bus Voltage)
- คอลัมน์ที่ 13 คือ พิกัดขนาดแรงดันบัสมากที่สุด (Maximum Bus Voltage)
- คอลัมน์ที่ 14 คือ ขนาดแรงดันบัสที่ควบคุม (Regulate Bus Voltage)

เมื่อ ชนิดของบัส

0 = Load Bus

1 = Slack Bus

2 = Generator Bus

2. รูปแบบของข้อมูลสายส่งและข้อมูลสายส่งของส่วนประกอบลำดับศูนย์บนระบบทดสอบ

คอลัมน์ที่ 1 คือ บัสต้น (Form Bus Number)

คอลัมน์ที่ 2 คือ บัสปลาย (To Bus Number)

คอลัมน์ที่ 3 คือ ความต้านทานของสายส่ง (Resistance)

คอลัมน์ที่ 4 คือ อินดักทีฟรีแอคเคนซ์ของสายส่ง (Inductive Reactance)

คอลัมน์ที่ 5 คือ ไลน์ชาร์จิ้งแอดมิตtanซ์ของสายส่ง (Line Charging Admittance)

คอลัมน์ที่ 6 คือ แทปหน้อเปลงไฟฟ้า (Tap Change Transformer)

คอลัมน์ที่ 7 คือ ชนิดของหน้อเปลงไฟฟ้า (Auto Tap Change Transformer)

คอลัมน์ที่ 8 คือ พิกัดกำลังไฟฟ้าของสายส่งที่รับได้สูงสุด (Power Line Limit)

เมื่อ ชนิดของหน้อเปลงไฟฟ้า (Auto Tap Change Transformer)

0 = Tap Change Transformer

1 = Auto Tap Change Transformer

ประวัติผู้วิจัย

ชื่อ : นายเจดพล อังกิตานนท์

ชื่อวิทยานิพนธ์ : การวิเคราะห์ความผิดพร่องในระบบไฟฟ้ากำลังแบบไม่สมมาตรโดยใช้
โปรแกรมภาษาฟอร์มัล 77

สาขาวิชา : วิศวกรรมไฟฟ้า

ประวัติ

ข้าพเจ้าชื่อ นายเจดพล อังกิตานนท์ เป็นคนจังหวัดลำปาง โดยคำนิค ข้าพเจ้าเกิดเมื่อวันที่ 13 มกราคม 2523 ได้ศึกษาในระดับปริญญาตรีตั้งแต่ปี พ.ศ. 2544 ที่สถาบันเทคโนโลยีปทุมธานี คณะ
กรุศศาสตร์อุตสาหกรรม สาขาไฟฟ้ากำลัง และได้สำเร็จการศึกษาในระดับปริญญาตรีในปี พ.ศ.
2546

ปัจจุบันข้าพเจ้าทำงานในตำแหน่งวิศวกรซ่อมบำรุง บริษัท ชีเมนส์ ประเทศไทย จำกัด แผนก
ระบบเก็บค่าโดยสาร ในส่วนของระบบรถไฟฟ้าใต้ดิน (ศูนย์ซ่อมบำรุงรถไฟฟ้าใต้ดิน พระราม 9)
โดยทำงานมาเป็นระยะเวลา 3 ปี ตั้งแต่ปี พ.ศ. 2546

สถานที่ที่สามารถติดต่อข้าพเจ้า บริษัท บริษัท ชีเมนส์ ประเทศไทย จำกัด แผนกระบบเก็บค่า
โดยสารระบบรถไฟฟ้าใต้ดิน (ศูนย์ซ่อมบำรุงรถไฟฟ้าใต้ดิน พระราม 9) 181 ถ.พระราม 9 แขวง
ห้วยขวาง เขตห้วยขวาง กรุงเทพฯ 10301